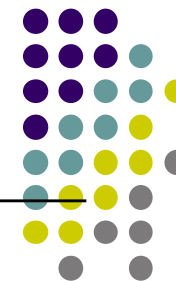


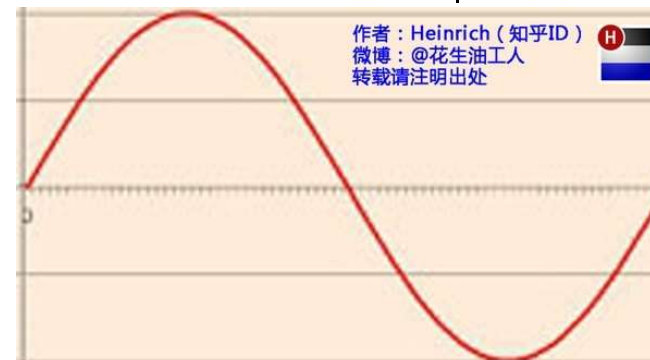


第三章

连续时间信号与系统的频域分析



作者：Heinrich (知乎ID)
微博：@花生油工人
转载请注明出处

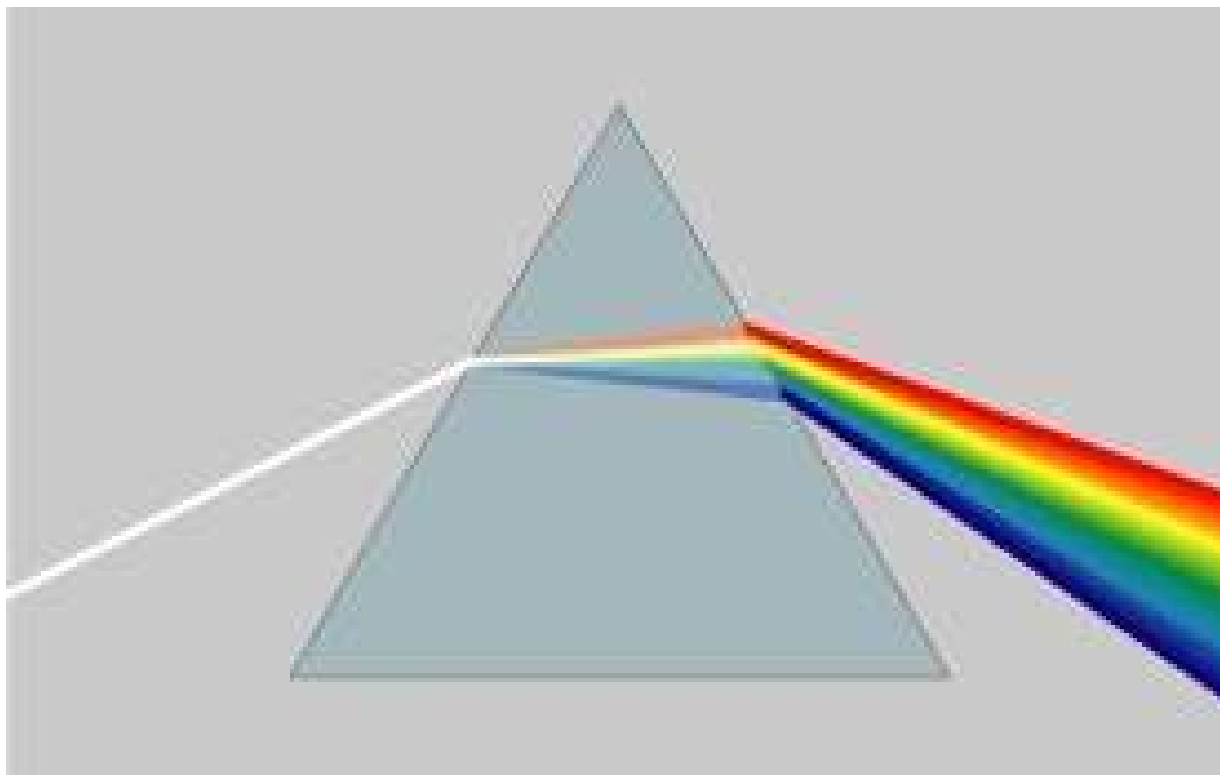
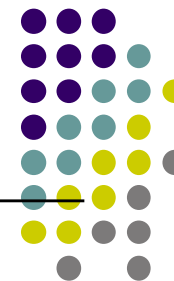


作者：Heinrich (知乎ID)
微博：@花生油工人
转载请注明出处



作者：Heinrich (知乎ID)
微博：@花生油工人
转载请注明出处







§ 3.0 引言

§ 3.1 连续时间**LTI**系统的特征函数

§ 3.2 连续时间傅里叶级数

§ 3.3 连续时间傅里叶变换

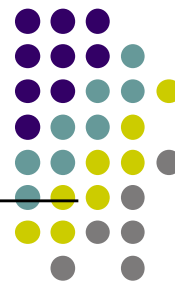
§ 3.4 连续时间周期信号的傅里叶变换

§ 3.5 连续时间傅里叶变换的性质

§ 3.6 连续时间**LTI**系统的频域分析



3.0 引言



- 复指数信号作为一类基本信号来表示一般任意信号，建立变换域分析法。
- 提供了一种非常方便的信号和LTI系统的分析方法：傅里叶分析或频域分析法。



§ 3.0 引言

§ 3.1 连续时间LTI系统的特征函数

§ 3.2 连续时间傅里叶级数

§ 3.3 连续时间傅里叶变换

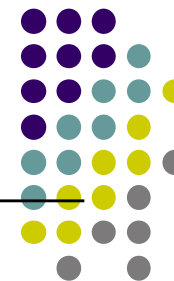
§ 3.4 连续时间周期信号的傅里叶变换

§ 3.5 连续时间傅里叶变换的性质

§ 3.6 连续时间LTI系统的频域分析



3.1 连续时间LTI系统的特征函数



$$s = \sigma + j\omega$$

$$y(t) = e^{st} * h(t) = \int_{-\infty}^{\infty} h(\tau) e^{s(t-\tau)} \cdot d\tau = e^{st} \int_{-\infty}^{\infty} h(\tau) e^{-s\tau} \cdot d\tau$$

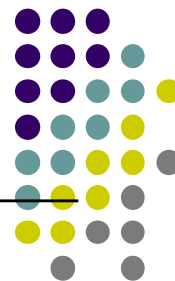
假定积分 $H(s) = \int_{-\infty}^{\infty} h(\tau) \cdot e^{-s\tau} \cdot d\tau$ 收敛,

于是LTI系统对 e^{st} 的响应就为 $y(t) = H(s) \cdot e^{st}$

故复指数信号是LTI系统的特征函数。



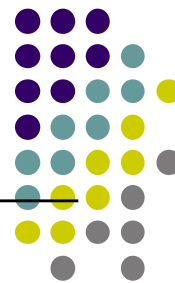
3.1 连续时间LTI系统的特征函数



- 复指数信号 $e^{j\omega t}$ 可作为基本信号用来表示一般的输入信号。
 - 能够表示相当广泛的一类有用信号，特别是实际应用中常碰到的一些信号。
 - 对这些基本信号的响应十分简单，以便使系统的响应有一个简单的数学表示形式。



例3.1



【例3.1】令某一个LTI系统 $h(t)$ 的输入信号 $x(t)$ 是三个复指数信号的线性组合

$$x(t) = a_1 e^{s_1 t} + a_2 e^{s_2 t} + a_3 e^{s_3 t}$$

求其输出 $y(t)$ 。

解：根据LTI系统特征函数的性质，有

$$a_1 e^{s_1 t} \rightarrow a_1 H(s_1) e^{s_1 t}$$

$$a_2 e^{s_2 t} \rightarrow a_2 H(s_2) e^{s_2 t}$$

$$a_3 e^{s_3 t} \rightarrow a_3 H(s_3) e^{s_3 t}$$

由叠加性原理，有

$$y(t) = a_1 H(s_1) e^{s_1 t} + a_2 H(s_2) e^{s_2 t} + a_3 H(s_3) e^{s_3 t}$$



例3.1



若某一类输入信号可以表示成复指数信号的线性组合，即

$$x(t) = \sum_k a_k e^{s_k t}$$

根据叠加性，其输出一定是

$$y(t) = \sum_k a_k H(s_k) e^{s_k t}$$



§ 3.0 引言

§ 3.1 连续时间LTI系统的特征函数

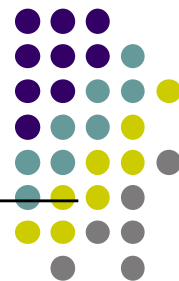
§ 3.2 连续时间傅里叶级数

§ 3.3 连续时间傅里叶变换

§ 3.4 连续时间周期信号的傅里叶变换

§ 3.5 连续时间傅里叶变换的性质

§ 3.6 连续时间LTI系统的频域分析



3.2.1 连续时间傅里叶级数

- 如果某一连续时间信号 $x(t)$ 是周期的，则存在着一个非零的正实数，对任何 t 都满足 $x(t) = x(t \pm T)$ 。式中 T 的最小值 T_0 称为该信号的基波周期， $\omega_0 = 2\pi / T_0$ 称为该信号的基波频率。

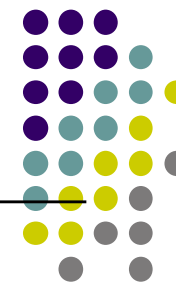
- 成谐波关系的复指数信号的集合为

$$\Phi_k(t) = \{ e^{jk\omega_0 t} \}, k = 0, \pm 1, \pm 2, \dots$$

T_0 是 $\Phi_k(t)$ 中每个信号的周期，它们的基波频率都是的 ω_0 整数倍。

- 对应的三角函数形式的谐波信号集：

$$\Phi_k(t) = \{ \cos k\omega_0 t, \sin k\omega_0 t \}, k = 0, \pm 1, \pm 2, \dots$$



3.2.1 连续时间傅里叶级数

一个基波频率为 ω_0 的周期信号 $x(t)$ ，可以表示成与其成谐波关系的复指数信号的线性组合，即

$$x(t) = \sum_{k=-\infty}^{\infty} a_k \phi_k(t)$$

其中 a_k 称为傅里叶级数系数。

傅里叶级数的复指数形式为 $x(t) = \sum_{k=-\infty}^{\infty} a_k e^{jk\omega_0 t}$

$$\begin{aligned} \text{三角函数形式为 } x(t) &= \sum_{k=0}^{\infty} (B_k \cos k\omega_0 t + C_k \sin k\omega_0 t) \\ &= B_0 + \sum_{k=1}^{\infty} (B_k \cos k\omega_0 t + C_k \sin k\omega_0 t) \end{aligned}$$



3.2.1 连续时间傅里叶级数

两种表达式中系数的相互推算

$$e^{jk\omega_0 t} = \cos k\omega_0 t + j \sin k\omega_0 t$$

$$x(t) = \sum_{k=-\infty}^{\infty} a_k (\cos k\omega_0 t + j \sin k\omega_0 t)$$

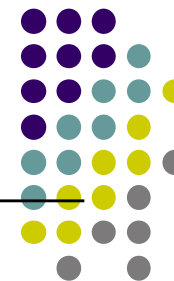
$$= a_0 + \sum_{k=-\infty}^{-1} a_k (\cos k\omega_0 t + j \sin k\omega_0 t) + \sum_{k=1}^{\infty} a_k (\cos k\omega_0 t + j \sin k\omega_0 t)$$

$$= a_0 + \sum_{k=1}^{\infty} a_{-k} (\cos k\omega_0 t - j \sin k\omega_0 t) + \sum_{k=1}^{\infty} a_k (\cos k\omega_0 t + j \sin k\omega_0 t)$$

$$= a_0 + \sum_{k=1}^{\infty} (a_{-k} + a_k) \cos k\omega_0 t + j(a_k - a_{-k}) \sin k\omega_0 t$$



3.2.1 连续时间傅里叶级数



$$\begin{cases} B_0 = a_0 \\ B_k = a_{-k} + a_k, & k \neq 0 \\ C_k = j(a_k - a_{-k}), & k \neq 0 \end{cases}$$

显然，从上式中，我们也可以反推到 a_k 用 B_k 和 C_k 来表示的关系

$$\begin{cases} a_0 = B_0 \\ a_k = \frac{1}{2}(B_k - jC_k) & k \geq 1 \\ a_{-k} = \frac{1}{2}(B_k + jC_k) & k \geq 1 \end{cases}$$



3.2.1 连续时间傅里叶级数



系数 a_k 的确定:

$$x(t)e^{-jn\omega_0 t} = \sum_{k=-\infty}^{\infty} a_k e^{jk\omega_0 t} \cdot e^{-jn\omega_0 t}$$

将上式两边从0到 $T_0 = 2\pi / \omega_0$ 对 t 积分, 有

$$\int_0^{T_0} x(t) \cdot e^{-jn\omega_0 t} \cdot dt = \int_0^{T_0} \left(\sum_{k=-\infty}^{\infty} a_k e^{jk\omega_0 t} \cdot e^{-jn\omega_0 t} \right) \cdot dt$$

$$\int_0^{T_0} x(t) e^{-jn\omega_0 t} \cdot dt = \sum_{k=-\infty}^{\infty} a_k \left(\int_0^{T_0} e^{(k-n)\omega_0 t} \cdot dt \right)$$



3.2.1 连续时间傅里叶级数



- 当 $k \neq n$ 时, 有

$$\begin{aligned}\int_0^{T_0} e^{j(k-n)\omega_0 t} \cdot dt &= \frac{1}{j(k-n)\omega_0} e^{j(k-n)\omega_0 T_0} \Big|_0^{T_0} \\ &= \frac{1}{j(k-n)\omega_0} \left[e^{j(k-n)\omega_0 T_0} - 1 \right] = \frac{e^{j(k-n)2\pi} - 1}{j(k-n)\omega_0} \\ &= 0\end{aligned}$$

- 当 $n = k$ 时, 有

$$\int_0^{T_0} e^{j(k-n)\omega_0 t} \cdot dt = \int_0^{T_0} e^{j(k-k)\omega_0 t} \cdot dt = T_0$$



3.2.1 连续时间傅里叶级数

$$\text{于是有 } \int_0^{T_0} e^{j(k-n)\omega_0 t} \cdot dt = \begin{cases} 0, & k \neq n \\ 1, & k = n \end{cases}$$

$$\text{因此, 有 } \int_0^{T_0} x(t) e^{-jn\omega_0 t} \cdot dt = a_n T_0$$

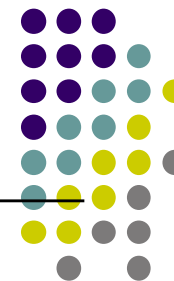
$$\text{或者 } a_n = \frac{1}{T_0} \int_0^{T_0} x(t) e^{-jn\omega_0 t} \cdot dt$$

$$a_k \text{ 的计算公式可表示为 } a_k = \frac{1}{T_0} \int_{T_0} x(t) \cdot e^{-jk\omega_0 t} \cdot dt$$

其中 \int_{T_0} 表示在任何一个 T_0 间隔内的积分。



3.2.1 连续时间傅里叶级数



连续时间信号的傅里叶级数：

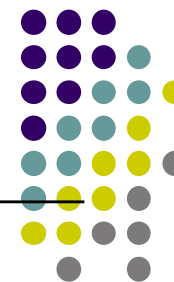
$$\begin{cases} x(t) = \sum_{k=-\infty}^{\infty} a_k e^{jk\omega_0 t}, & \omega_0 = \frac{2\pi}{T_0} \\ a_k = \frac{1}{T_0} \int_{T_0} x(t) e^{-jk\omega_0 t} \cdot dt \end{cases}$$

其中系数 $\{a_k\}$ 往往又称为 $x(t)$ 的频谱系数，它对信号 $x(t)$ 中的每一个谐波分量的大小和初始相位作出度量。系数 a_0 就是 $x(t)$ 中的直流或常数分量，也称为平均分量：

$$a_0 = \frac{1}{T_0} \int_{T_0} x(t) \cdot dt$$



3.2.1 连续时间傅里叶级数



通常周期信号与其频谱系数间关系用以下符号形式表示：

$$x(t) \xrightarrow{F_s} a_k$$

三角函数形式的傅里叶级数可定义为：

$$x(t) = B_0 + \sum_{k=1}^{\infty} (B_k \cos k\omega_0 t + C_k \sin k\omega_0 t) \quad (3.28 - a)$$

$$B_0 = \frac{1}{T_0} \int_{T_0} x(t) \cdot dt \quad (3.28 - b)$$

$$B_k = \frac{2}{T_0} \int_{T_0} x(t) \cos k\omega_0 t \cdot dt \quad (3.28 - c)$$

$$C_k = \frac{2}{T_0} \int_{T_0} x(t) \sin k\omega_0 t \cdot dt, \quad \omega_0 = 2\pi / T_0 \quad (3.28 - d)$$



3.2.2 典型周期信号的傅里叶级数展开

1. 正弦信号

$$x(t) = \sin \omega_0 t$$

$$\sin \omega_0 t = \frac{e^{j\omega_0 t} - e^{-j\omega_0 t}}{2j} = \sum_{k=0}^{\infty} a_k e^{jk\omega_0 t}$$

可得频谱系数

$$a_{-1} = -\frac{1}{2j} \quad a_1 = \frac{1}{2j}$$

$$a_k = 0, |k| \neq 1$$

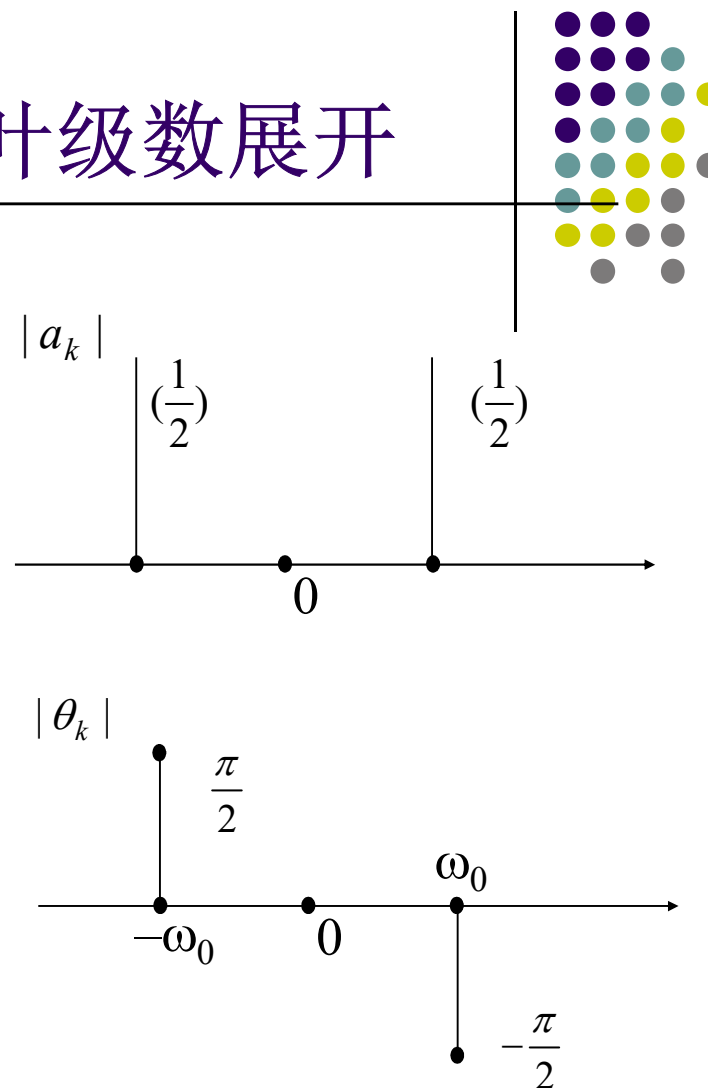


图 3-1 $\sin \omega_0 t$ 信号傅里叶级数系数的幅度和相位



3.2.2 典型周期信号的傅里叶级数展开



2. 周期方波信号

在一个周期内该信号定义为：
$$x(t) = \begin{cases} 1, & |t| < T_1 \\ 0, & T_1 < |t| < T/2 \end{cases}$$

基波频率为 $\omega_0 = 2\pi / T$ 。

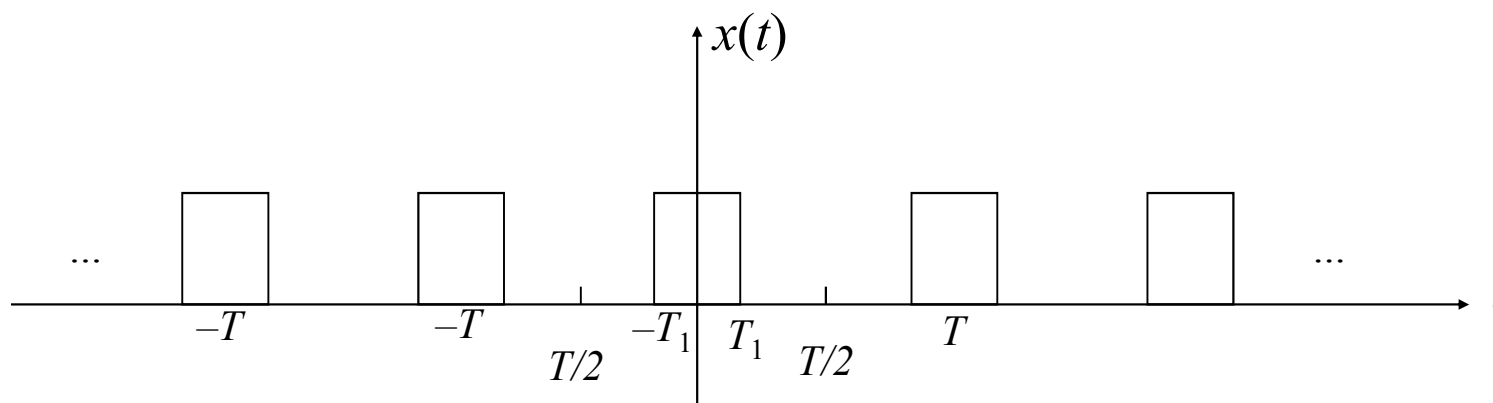
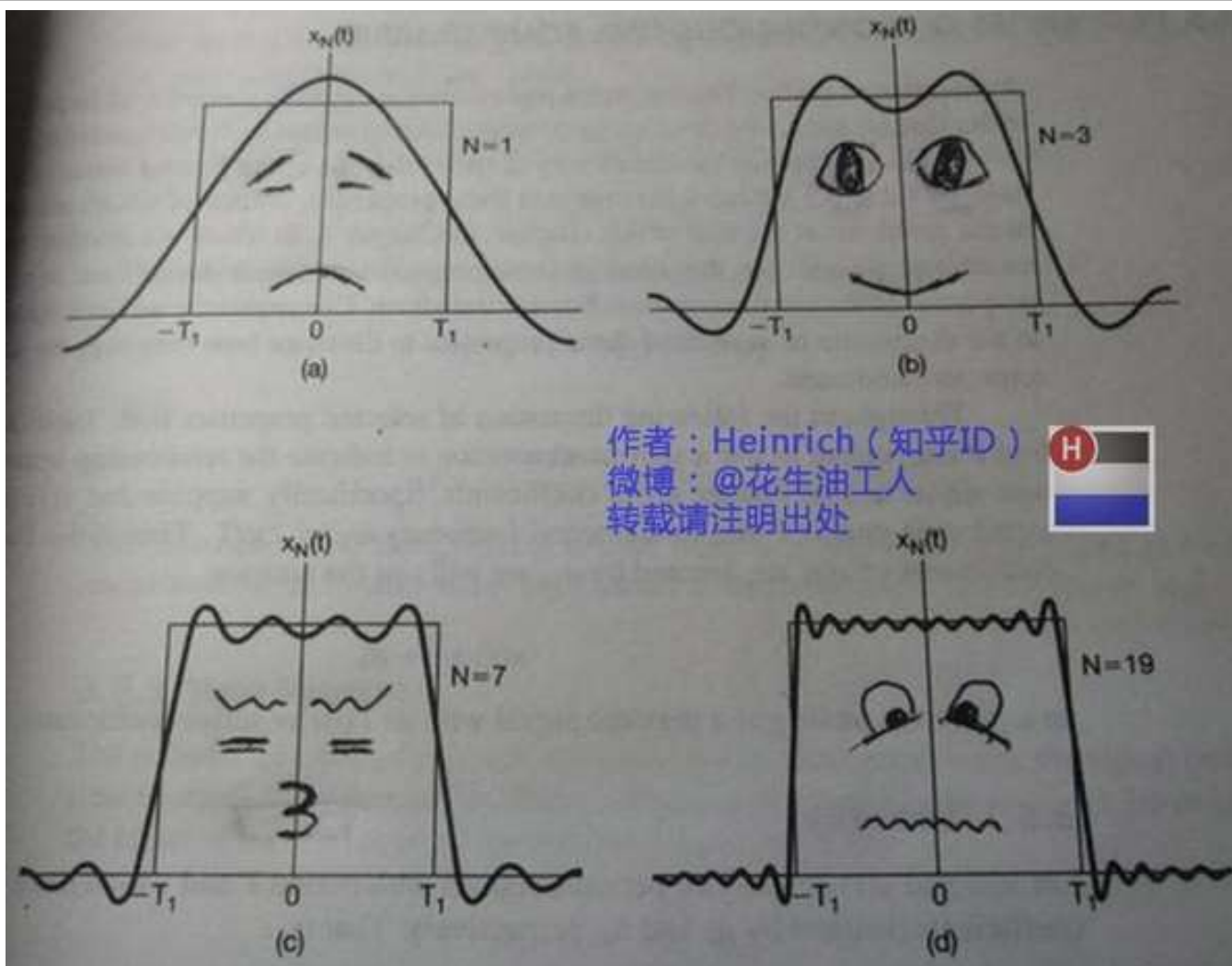
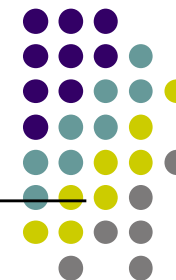


图3-2 周期方波

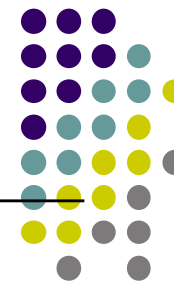


3.2.2 典型周期信号的傅里叶级数展开





3.2.2 典型周期信号的傅里叶级数展开



2. 周期方波信号

- $k=0$ 时, 有 $a_0 = \frac{1}{T} \int_{-T/2}^{T/2} x(t) dt = \frac{1}{T} \int_{-T_1}^{T_1} dt = \frac{2T_1}{T}$

- $k \neq 0$ 时, 有 $a_k = \frac{1}{T} \int_{-T/2}^{T/2} x(t) \cdot e^{-jk\omega_0 t} dt = \frac{1}{T} \int_{-T_1}^{T_1} e^{-jk\omega_0 t} \cdot dt$

$$= -\frac{1}{jk\omega_0 T} e^{-jk\omega_0 t} \Big|_{-T_1}^{T_1} = \frac{1}{jk\omega_0 T} [e^{jk\omega_0 T} - e^{-jk\omega_0 T}]$$

或重写为 $a_k = \frac{2}{k\omega_0 T} \left[\frac{e^{jk\omega_0 T} - e^{-jk\omega_0 T}}{2j} \right] = \frac{2 \sin(k\omega_0 T_1)}{k\omega_0 T}$



3.2.2 典型周期信号的傅里叶级数展开



2. 周期方波信号

注意 $\omega_0 T = 2\pi$, 即 $\omega_0 = \frac{2\pi}{T}$, 上式可写为

$$a_k = \frac{\sin(k\omega_0 T_1)}{k\pi} = \frac{\omega_0 T_1}{\pi} \text{Sa}(k\omega_0 T_1) = \frac{\omega_0 T_1}{\pi} \text{Sa}(\omega T_1) \Big|_{\omega=k\omega_0}$$

周期方波的傅里叶级数的系数是 $\frac{1}{n}$ 的规律收敛（衰减），

且 $\lim_{n \rightarrow \infty} a_k = 0$ 。

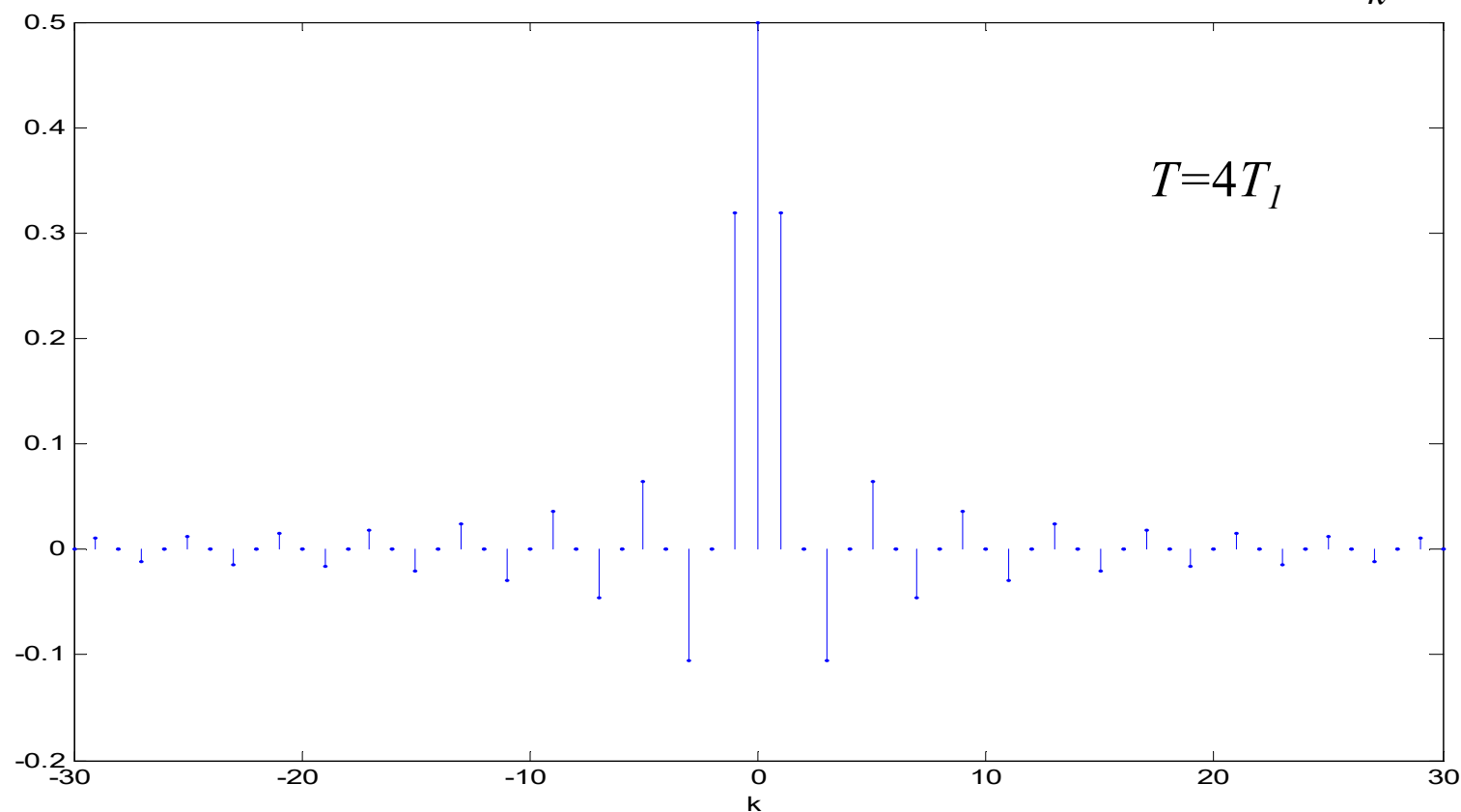


3.2.2 典型周期信号的傅里叶级数展开



2. 周期方波信号

T_1 固定, T 取不同值时的周期方波傅里叶级数系数 a_k 。



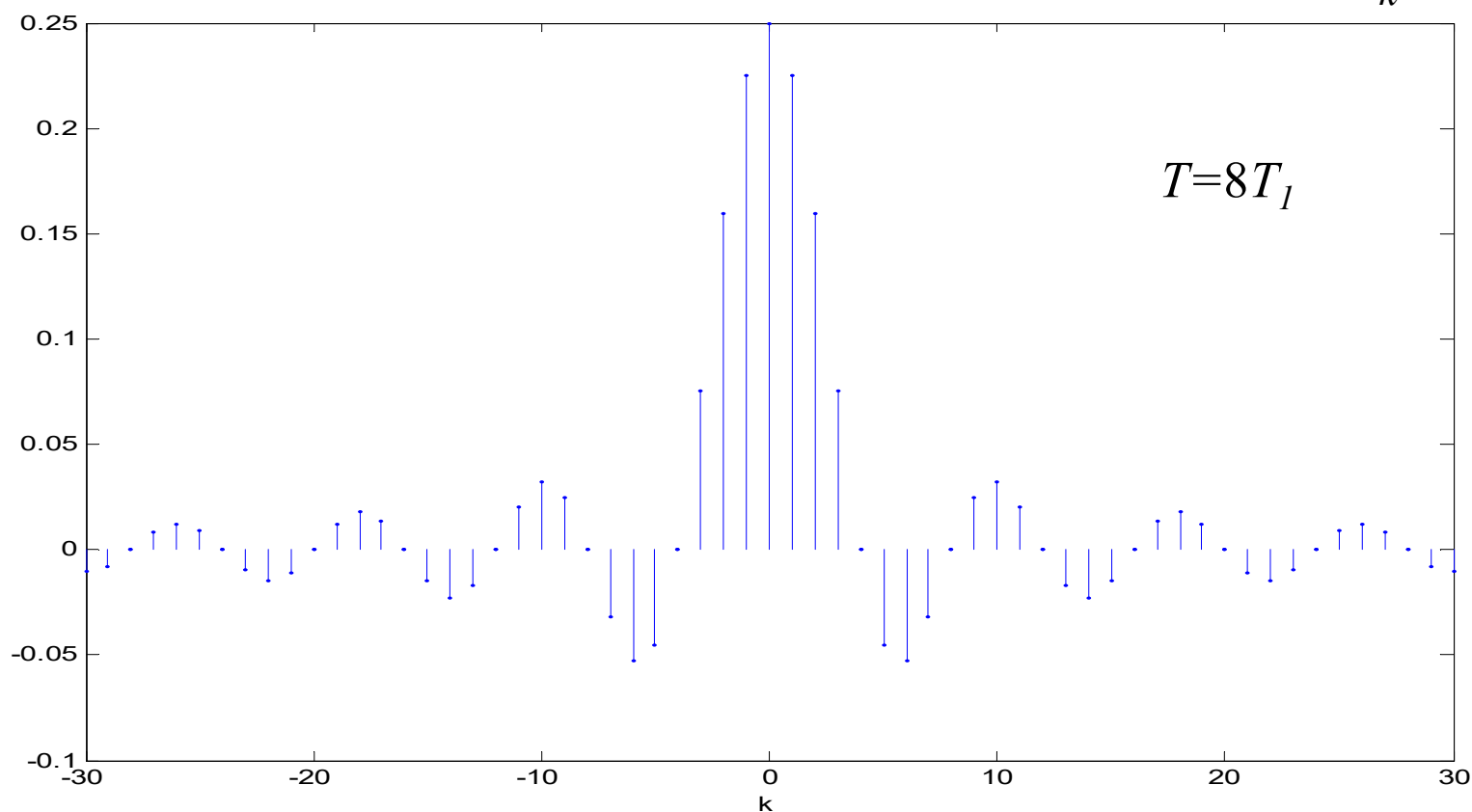


3.2.2 典型周期信号的傅里叶级数展开



2. 周期方波信号

T_1 固定, T 取不同值时的周期方波傅里叶级数系数 a_k 。



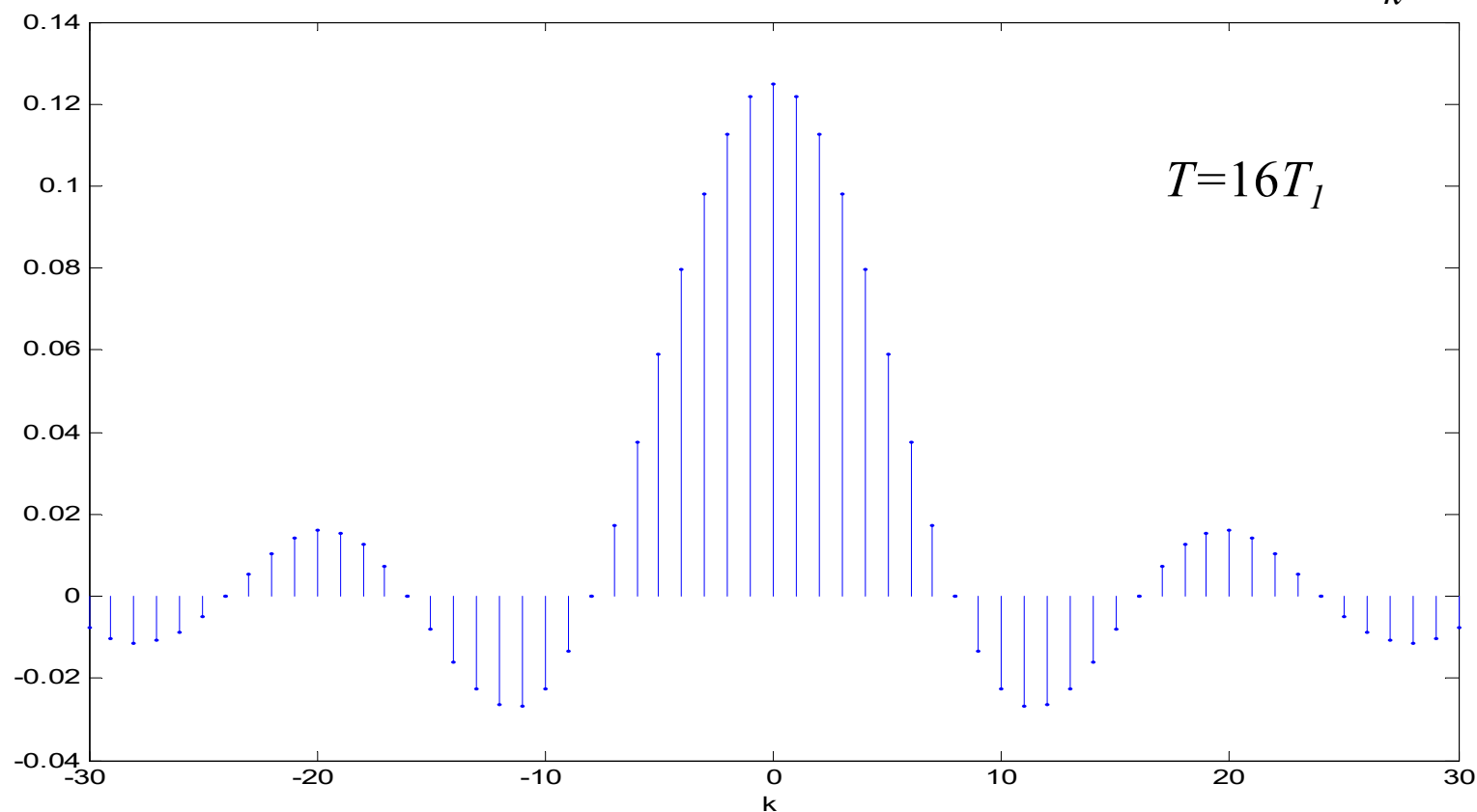


3.2.2 典型周期信号的傅里叶级数展开



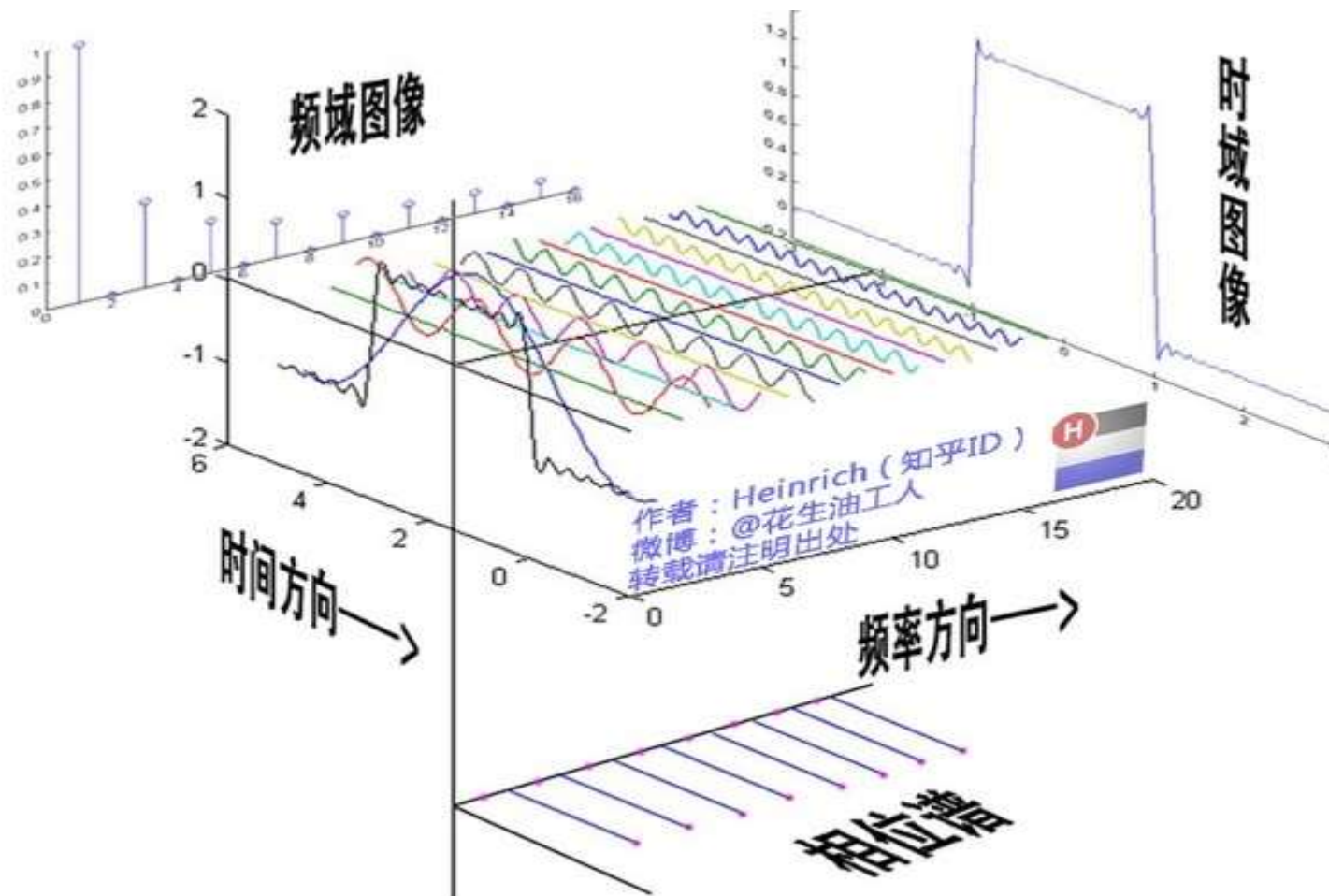
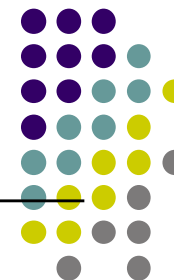
2. 周期方波信号

T_1 固定, T 取不同值时的周期方波傅里叶级数系数 a_k 。



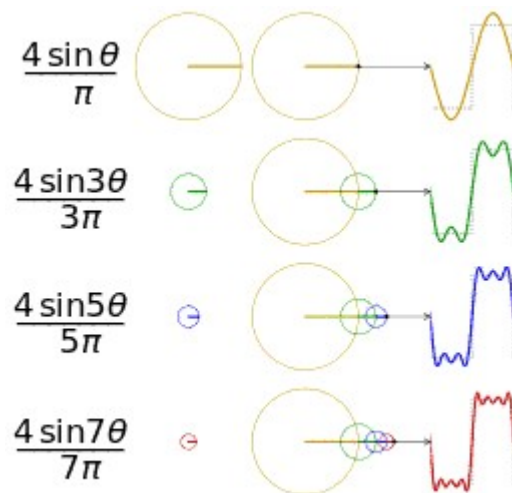
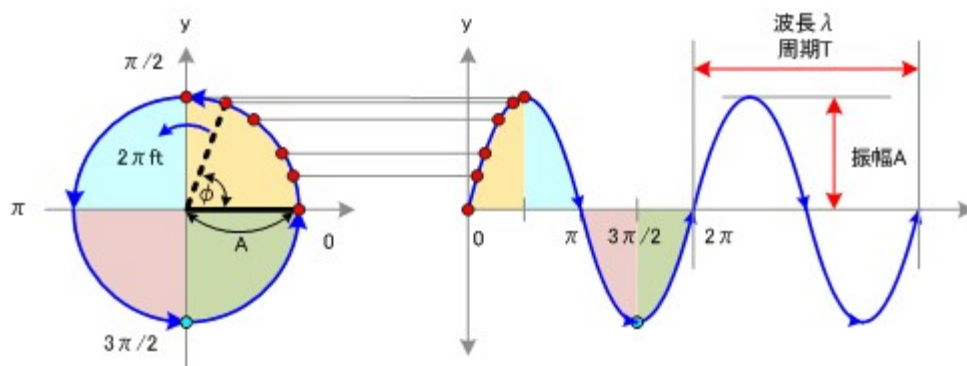
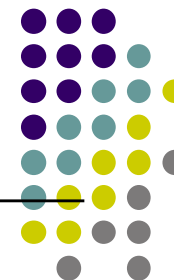


3.2.2 典型周期信号的傅里叶级数展开





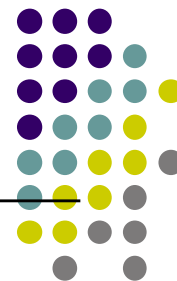
3.2.2 典型周期信号的傅里叶级数展开



$$x(t) = B_0 + \sum_{k=1}^{\infty} (B_k \cos k\omega_0 t + C_k \sin k\omega_0 t)$$



3.2.2 典型周期信号的傅里叶级数展开



3. 周期锯齿脉冲信号

- 该信号的傅里叶级数系数:

$$a_k = \frac{j}{2}(-1)^k \frac{E}{k\pi} \quad k \neq 0$$

$$a_0 = 0$$

- 其傅里叶级数为:

$$x(t) = \sum_{k=-\infty}^{\infty} \frac{j}{2}(-1)^k \frac{E}{k\pi} e^{jk\omega_0 t} = \frac{E}{2\pi} \sum_{k=-\infty}^{\infty} j(-1)^k \frac{1}{k} e^{jk\omega_0 t}$$

周期锯齿脉冲的傅里叶级数的系数以 $\frac{1}{k}$ 的规律收敛: $\lim_{n \rightarrow \infty} a_k = 0$

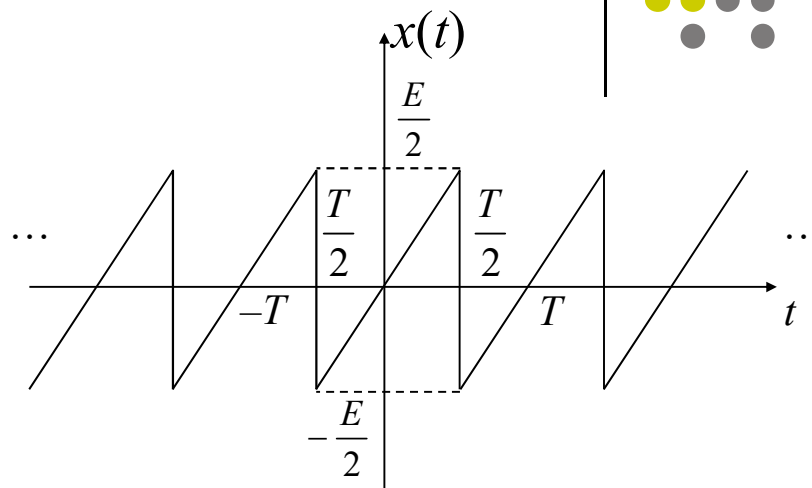
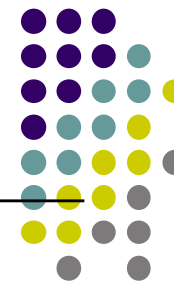


图3-4 周期锯齿脉冲信号的波形



3.2.2 典型周期信号的傅里叶级数展开



4. 周期三角脉冲信号

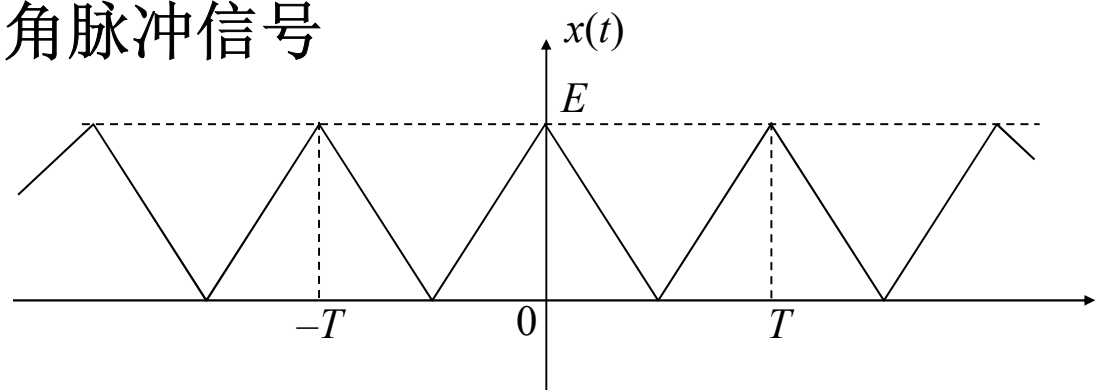


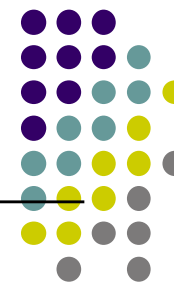
图3-5 周期三角脉冲信号的波形

- 傅里叶级数的系数 a_k 为: $a_k = \frac{E}{2} Sa^2\left(\frac{\pi}{2}k\right)$
- 该信号的傅里叶级数为 $x(t) = \frac{E}{2} \sum_{k=-\infty}^{\infty} Sa^2\left(\frac{\pi}{2}k\right) e^{jk\omega_0 t}$, $\omega_0 = \frac{2\pi}{T}$

其傅里叶级系数是以 $\frac{1}{k^2}$ 的规律收敛。



3.2.2 典型周期信号的傅里叶级数展开



5. 周期半波余弦信号

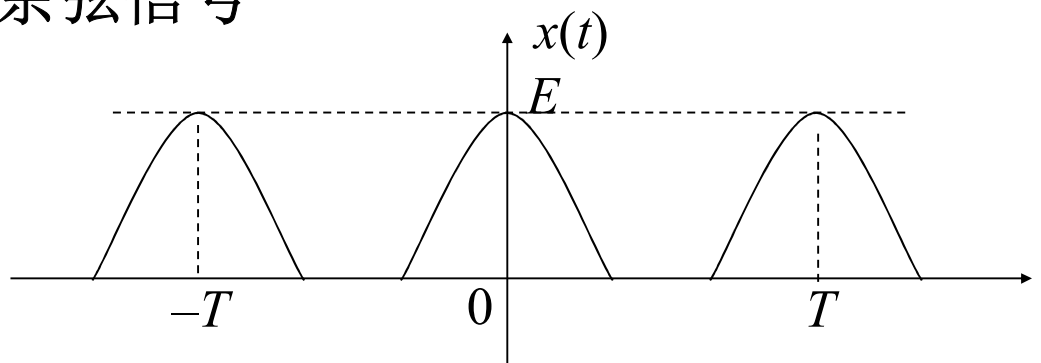


图3-6 周期半波余弦信号波形

周期半波余弦信号的傅里叶级数系数 $a_k = \frac{E}{(1-k^2)\pi} \cos\left(\frac{k\pi}{2}\right)$

周期半波余弦信号的傅里叶级数为 $x(t) = \frac{E}{\pi} \sum_{k=-\infty}^{\infty} \frac{\cos(\frac{k\pi}{2})}{1-k^2} e^{jk\omega_0 t}$

该傅里叶级数系数是以 $\frac{1}{k^2}$ 的规律收敛

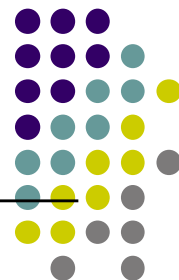


MATLAB: 计算傅里叶级数的系数



```
% 程序 signal0.m: 定义求傅里叶级数系数的被积函数:  $y=(1/T)*x(t).*exp(-j*(2*pi/T)*k*t)$ 
function y=signal0(t,k,T)           %T 为信号周期, t 为时间变量, k 为 k 次谐波
x=(t>=T/4).*1.0;                    % 定义占空比为 25%的非对称周期方波 for one period=T
                                     % 对称周期三角形可定义:  $x=(abs(t)<=T/4).*(1-abs(t));$ 
                                     % 占空比为 50%的对称周期方波可定义:  $x=(abs(t)<=T/4).*1.0;$ 

y=((1/T)*x).*exp(-j*(2*pi/T)*k*t);
```



MATLAB: 计算傅里叶级数的系数

```
%程序 spectrum0.m: 计算傅里叶级数的系数 a(n)
T=0.5;
N=20; %最大谐波
k=-N:N;
N1=length(k);a=zeros(1,N1);
for n=1:N1
    a(n)=quadl(@signal0,-T/2,T/2,[],[],k(n),T); %计算傅里叶级数的系数 a(n)
end
A=abs(a);%计算傅立叶级数系数幅值
subplot(3,1,1);stem(k,A);ylabel('a(k)幅值');
axis([k(1) k(N1) min(A)-0.05 max(A)+0.05]);
subplot(3,1,2);stem(k,real(a));ylabel('a(k)实部');
axis([k(1) k(N1) min(real(a))-0.05 max(real(a))+0.05]);
subplot(3,1,3);stem(k,imag(a));ylabel('a(k)虚部');xlabel('k');
axis([k(1) k(N1) min(imag(a))-0.05 max(imag(a))+0.05]);
```



MATLAB: 计算傅里叶级数的系数

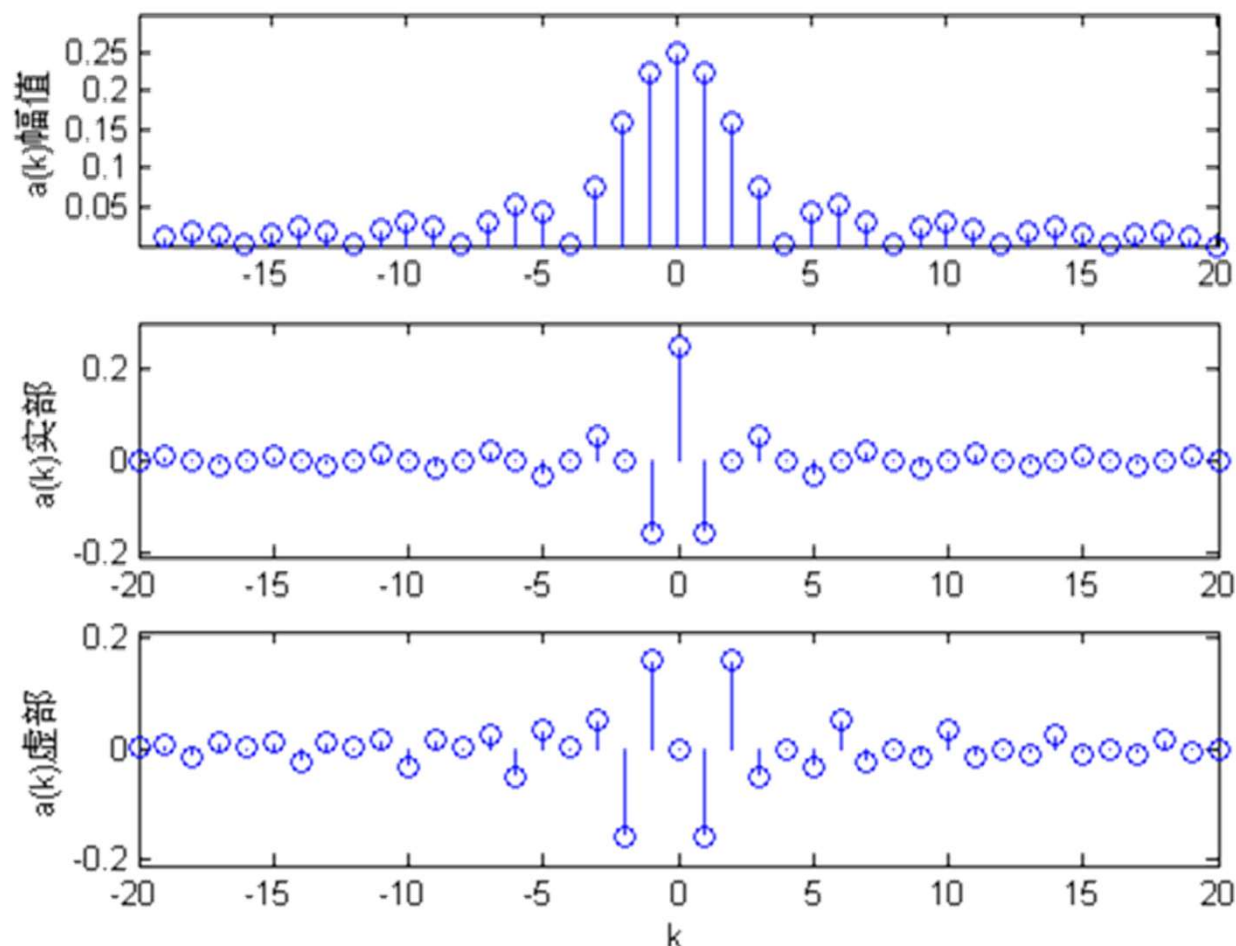


图 3.7 占空比为25%的非对称周期方波的傅里叶级数的系数



3.2.3 连续时间傅里叶级数的收敛



傅里叶级数与原周期信号的等效

- 用下列有限项级数来近似 $x(t)$

$$x_N(t) = \sum_{k=-N}^N a_k e^{jk\omega_0 t}, \quad \omega_0 = \frac{2\pi}{T_0}$$

- 令 $e_N(t)$ 为近似误差

$$e_N(t) = x(t) - x_N(t) = x(t) - \sum_{k=-N}^N a_k e^{jk\omega_0 t}$$

- 用一个周期内的误差能量 E_N 度量近似程度

$$E_N = \int_{T_0} |e_N(t)|^2 dt$$



3.2.3 连续时间傅里叶级数的收敛



- 可以证明，使 E_N 最小的系数 a_k 的取值为

$$a_k = \frac{1}{T_0} \int_{T_0} x(t) e^{-jk\omega_0 t} dt$$

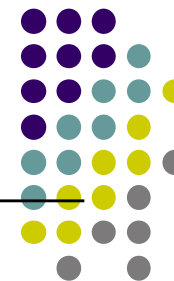
并有

$$\lim_{N \rightarrow \infty} E_N = 0$$

- 傅里叶级数是在 $E_N = 0$ 的意义上，为其所对应的原周期信号的最佳表示。两者没有任何能量上的差别，但并不能保证它们在每个时刻上一定处处相等。



3.2.3 连续时间傅里叶级数的收敛



两类稍微有些不同的收敛条件

- 1.根据信号功率
- 2.狄里赫利收敛条件



3.2.3 连续时间傅里叶级数的收敛



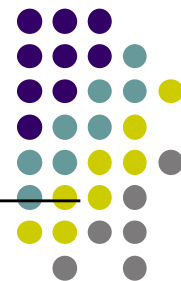
1. 根据功率的收敛条件

可以用傅里叶级数来表示 $x(t)$ 的一类周期信号是在一个周期内能量有限的信号，即

$$\int_T |x(t)|^2 \cdot dt < \infty$$

- 该收敛条件仅保证求得 a_k 是有限值。
- 满足使 $\lim_{N \rightarrow \infty} E_N = 0$ 。

$x(t)$ 与它的傅里叶级数两者没有任何能量上的差别；但不能保证它们在每一个 t 值上都相等。



3.2.3 连续时间傅里叶级数的收敛

2. 狄里赫利收敛条件

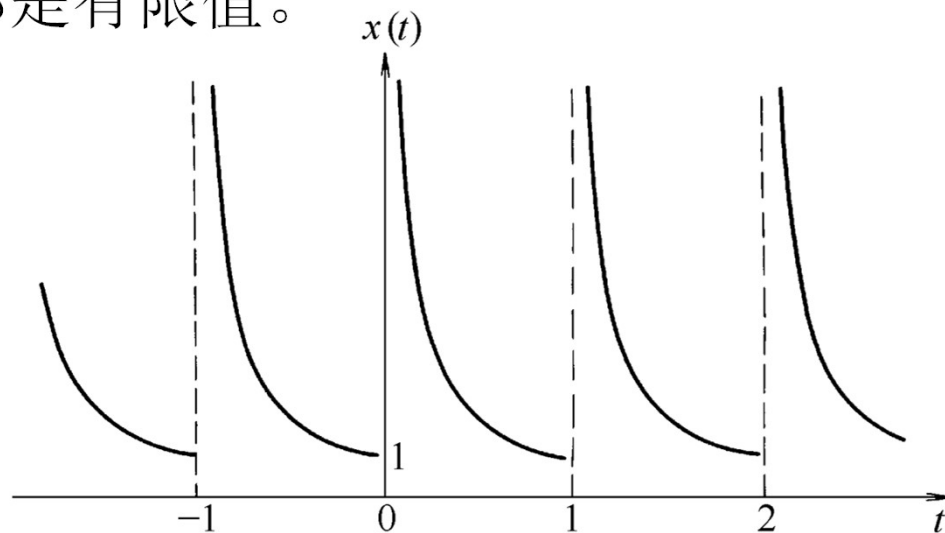
- 条件1：在任何周期内， $x(t)$ 必须绝对可积，即

$$\int_T |x(t)| dt < \infty$$

这一条件保证了每一系数 a_k 都是有限值。

不满足狄里赫利第一条件的周期信号可以举例如下：

$$x(t) = \frac{1}{t}, 0 < t \leq 1, \text{ 周期}=1$$





3.2.3 连续时间傅里叶级数的收敛

2. 狄里赫利收敛条件

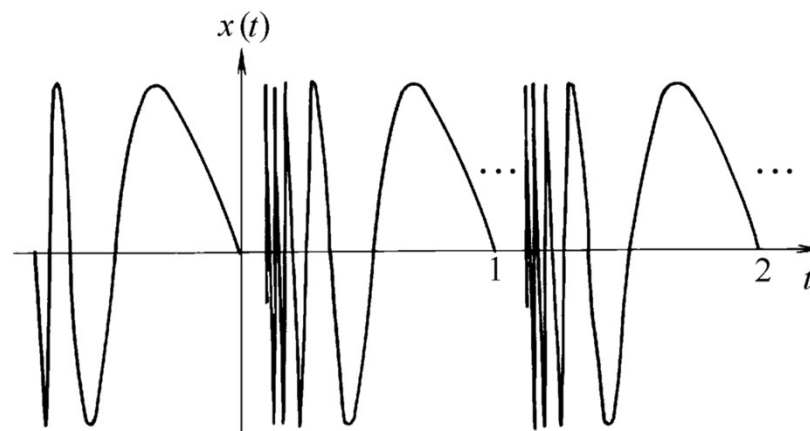
- 条件2: 在任意单个周期间隔内, $x(t)$ 的最大值和最小值的数目有限。

满足条件1而不满足条件2的一个函数是

$$x(t) = \sin\left(\frac{2\pi}{t}\right), \quad 0 < t \leq 1, \quad \text{周期}=1$$

该函数满足

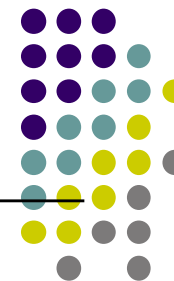
$$\int_0^1 |x(t)| \cdot dt < 1$$



然而, 它在一个周期内有无限多的最大点和最小点。



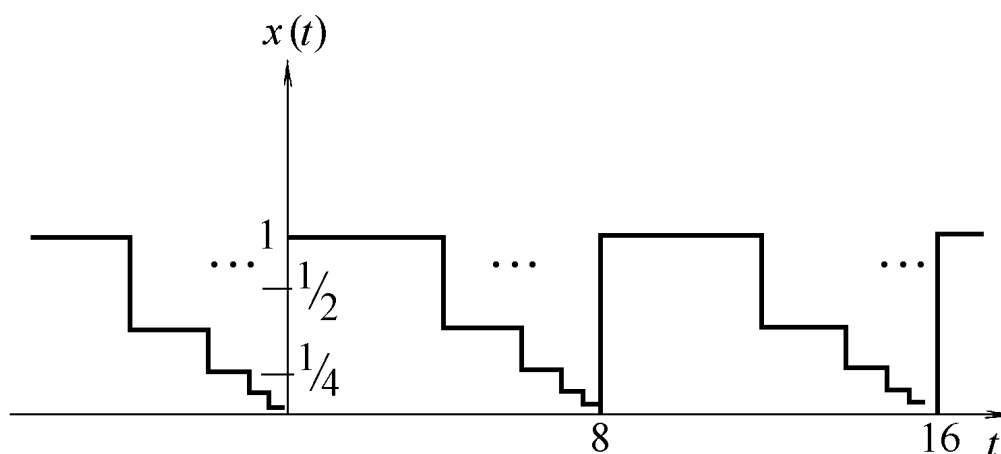
3.2.3 连续时间傅里叶级数的收敛



2. 狄里赫利收敛条件

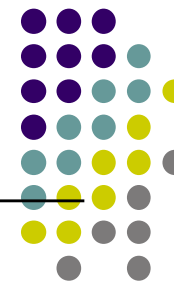
- **条件3:** 在 $x(t)$ 的任何有限区间内，只有有限个不连续点，而且在这些不连续点上，函数是有限值。

不满足条件的信号：





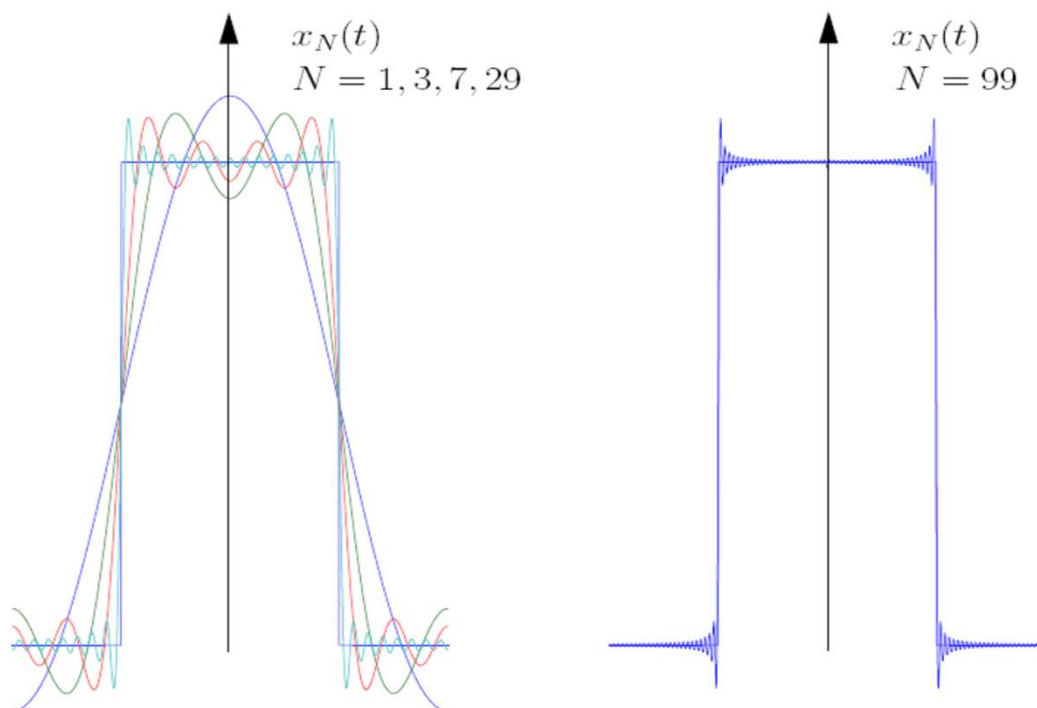
3.2.3 连续时间傅里叶级数的收敛



吉布斯现象

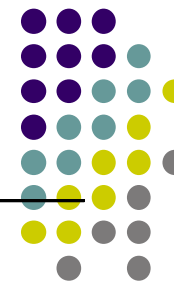
$$x_N(t) = \sum_{k=-N}^N a_k e^{jk\omega_0 t}, \quad \omega_0 = \frac{2\pi}{T_0}$$

Discontinuity of unit height \Rightarrow overshoot of 9%





3.2.3 连续时间傅里叶级数的收敛

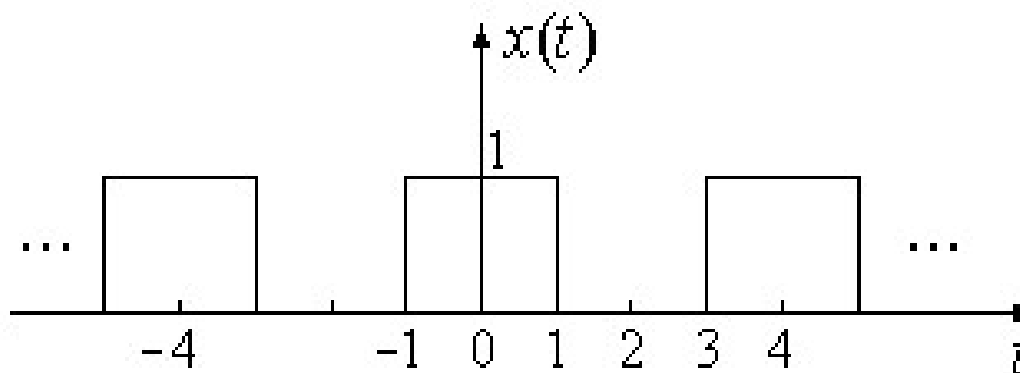


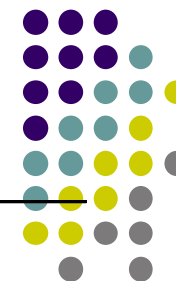
收敛的含义与吉布斯现象

(1)处处收敛: $\forall t, \lim_{N \rightarrow \infty} x_N(t) = x(t)$

(2)均方收敛: $\lim_{N \rightarrow \infty} \int_T |x_N(t) - x(t)|^2 dt = 0$

考察图示的周期
方波信号 $x(t)$





3.2.3 连续时间傅里叶级数的收敛

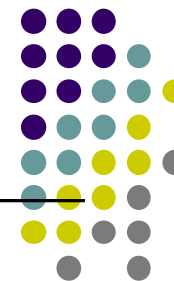
$$x(t) = \sum_{k=-\infty}^{\infty} a_k e^{jk\omega_0 t} \quad T = 4, \quad \omega_0 = \frac{\pi}{2}$$

$$a_0 = \frac{2T_1}{T} = \frac{1}{2} \quad a_k = \frac{\sin(k\omega_0 T_1)}{k\pi} = \frac{\sin(k\pi/2)}{k\pi}$$

$$a_{\pm 1} = \frac{1}{\pi} \quad a_{\pm 3} = -\frac{1}{3\pi} \quad a_{\pm 5} = \frac{1}{5\pi}$$

有限项FS: $x_N(t) = \sum_{k=-N}^N a_k e^{jk\omega_0 t}$

$$x_0(t) = \frac{1}{2} \quad x_1(t) = \frac{1}{\pi} e^{-j\frac{\pi}{2}t} + \frac{1}{2} + \frac{1}{\pi} e^{j\frac{\pi}{2}t} = \frac{1}{2} + \frac{2}{\pi} \cos\left(\frac{\pi}{2}t\right)$$

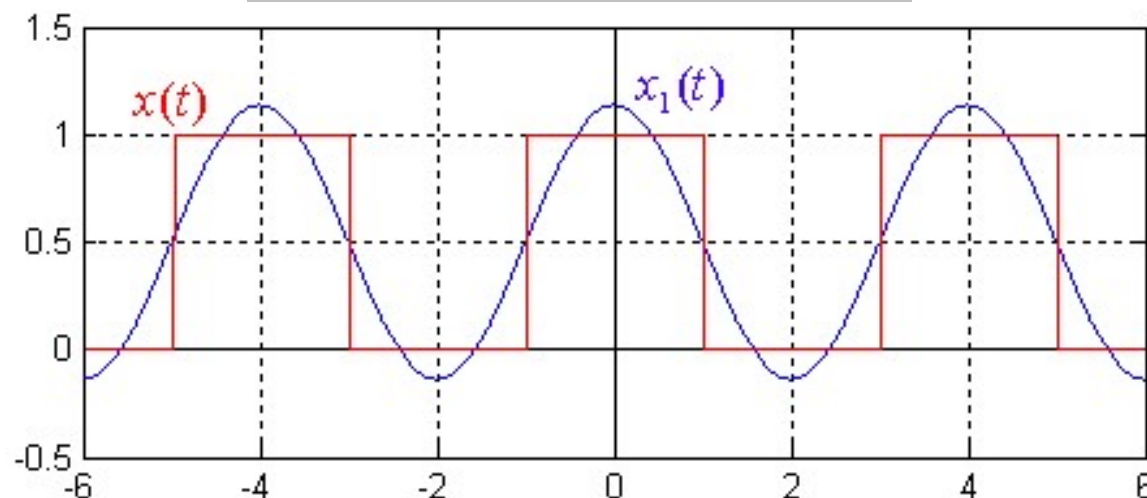


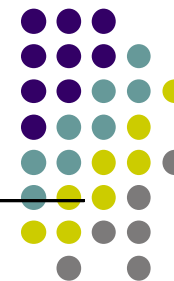
3.2.3 连续时间傅里叶级数的收敛

$$x_3(t) = \frac{1}{2} + \frac{2}{\pi} \cos\left(\frac{\pi}{2}t\right) - \frac{2}{3\pi} \cos\left(\frac{3\pi}{2}t\right)$$

$$x_5(t) = \frac{1}{2} + \frac{2}{\pi} \cos\left(\frac{\pi}{2}t\right) - \frac{2}{3\pi} \cos\left(\frac{3\pi}{2}t\right) + \frac{2}{5\pi} \cos\left(\frac{5\pi}{2}t\right)$$

$$\lim_{N \rightarrow \infty} \int_T |x_N(t) - x(t)|^2 dt = 0$$



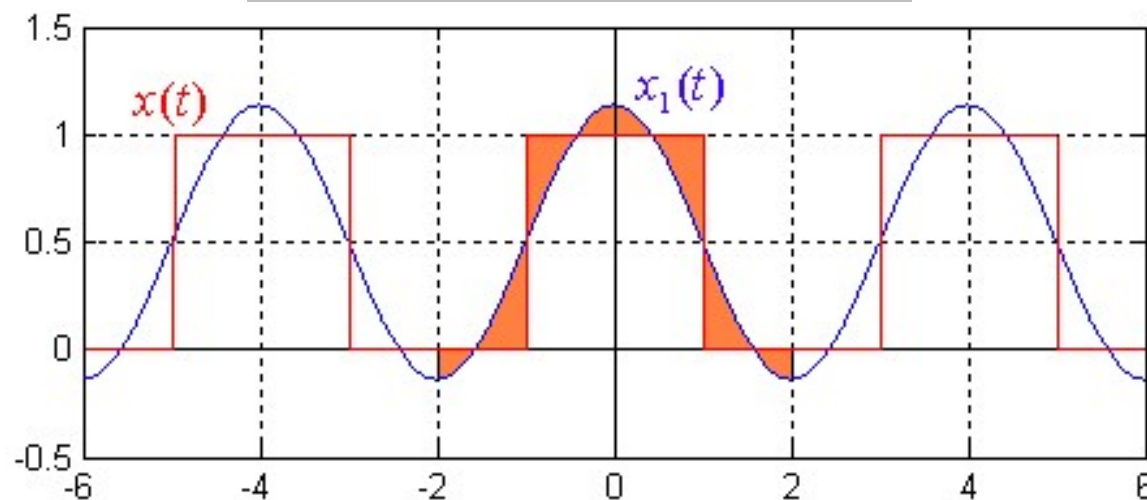


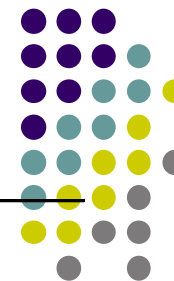
3.2.3 连续时间傅里叶级数的收敛

$$x_3(t) = \frac{1}{2} + \frac{2}{\pi} \cos\left(\frac{\pi}{2}t\right) - \frac{2}{3\pi} \cos\left(\frac{3\pi}{2}t\right)$$

$$x_5(t) = \frac{1}{2} + \frac{2}{\pi} \cos\left(\frac{\pi}{2}t\right) - \frac{2}{3\pi} \cos\left(\frac{3\pi}{2}t\right) + \frac{2}{5\pi} \cos\left(\frac{5\pi}{2}t\right)$$

$$\lim_{N \rightarrow \infty} \int_T |x_N(t) - x(t)|^2 dt = 0$$



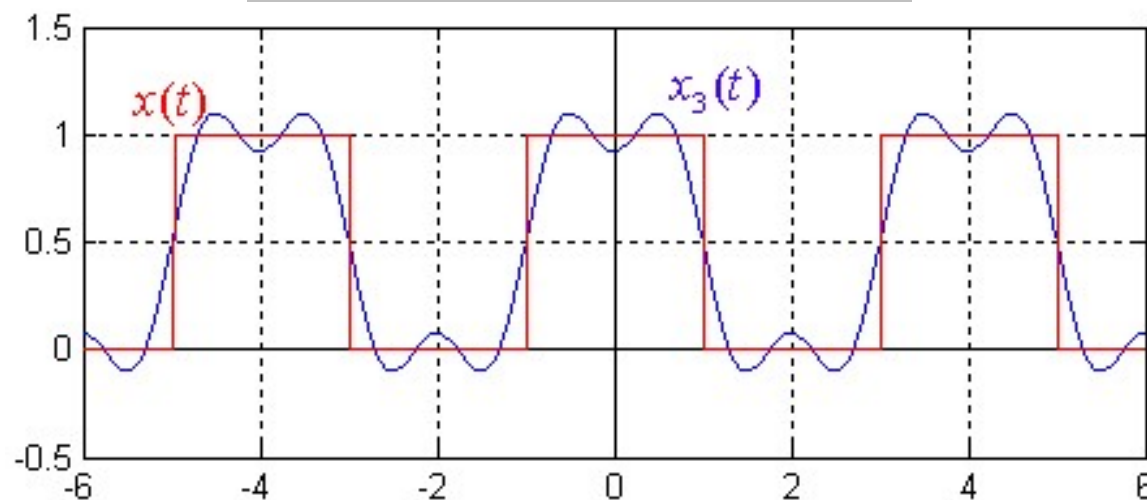


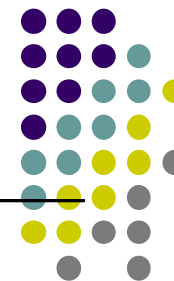
3.2.3 连续时间傅里叶级数的收敛

$$x_3(t) = \frac{1}{2} + \frac{2}{\pi} \cos\left(\frac{\pi}{2}t\right) - \frac{2}{3\pi} \cos\left(\frac{3\pi}{2}t\right)$$

$$x_5(t) = \frac{1}{2} + \frac{2}{\pi} \cos\left(\frac{\pi}{2}t\right) - \frac{2}{3\pi} \cos\left(\frac{3\pi}{2}t\right) + \frac{2}{5\pi} \cos\left(\frac{5\pi}{2}t\right)$$

$$\lim_{N \rightarrow \infty} \int_T |x_N(t) - x(t)|^2 dt = 0$$



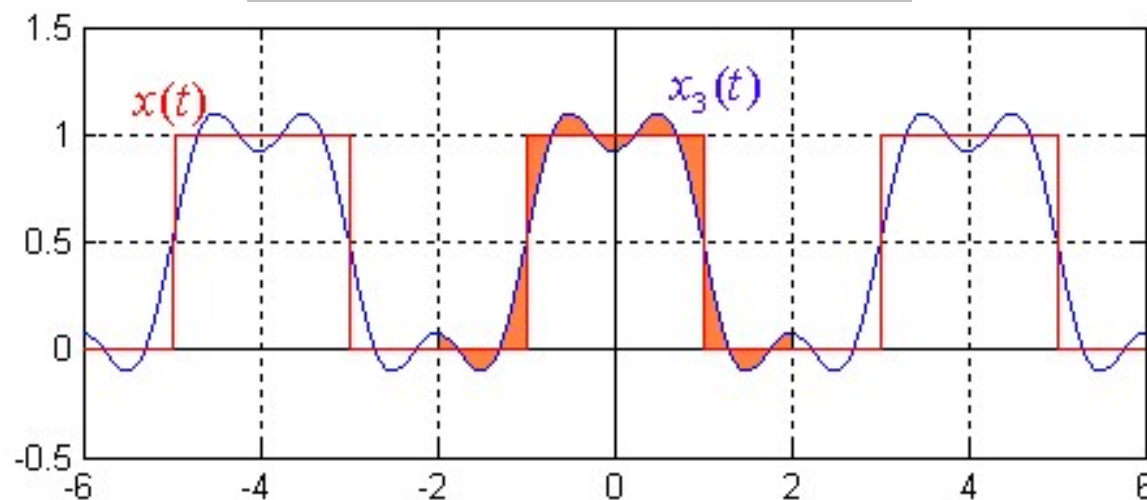


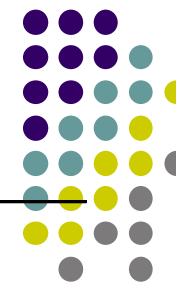
3.2.3 连续时间傅里叶级数的收敛

$$x_3(t) = \frac{1}{2} + \frac{2}{\pi} \cos\left(\frac{\pi}{2}t\right) - \frac{2}{3\pi} \cos\left(\frac{3\pi}{2}t\right)$$

$$x_5(t) = \frac{1}{2} + \frac{2}{\pi} \cos\left(\frac{\pi}{2}t\right) - \frac{2}{3\pi} \cos\left(\frac{3\pi}{2}t\right) + \frac{2}{5\pi} \cos\left(\frac{5\pi}{2}t\right)$$

$$\lim_{N \rightarrow \infty} \int_T |x_N(t) - x(t)|^2 dt = 0$$



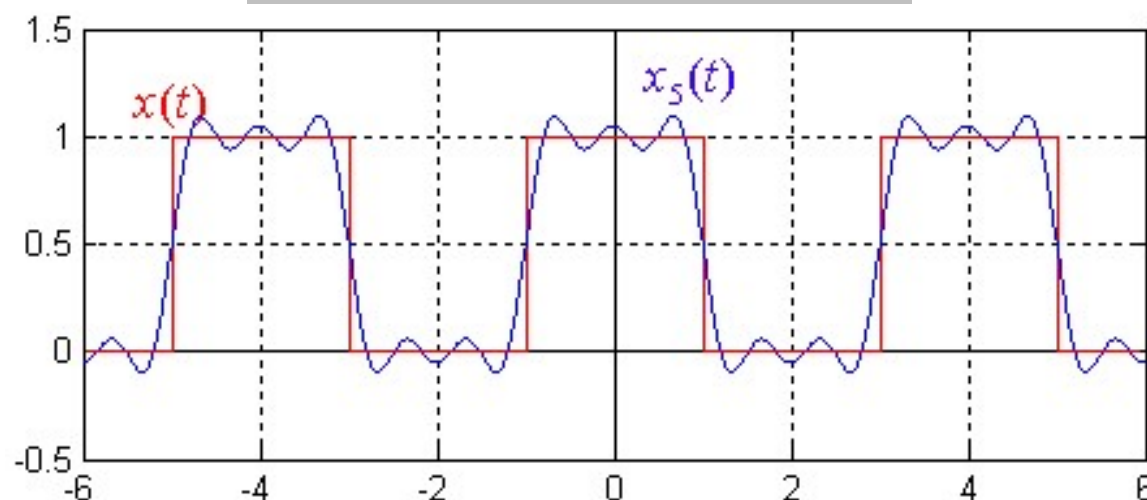


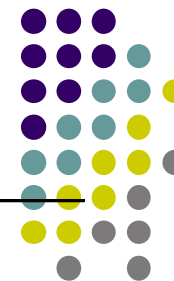
3.2.3 连续时间傅里叶级数的收敛

$$x_3(t) = \frac{1}{2} + \frac{2}{\pi} \cos\left(\frac{\pi}{2}t\right) - \frac{2}{3\pi} \cos\left(\frac{3\pi}{2}t\right)$$

$$x_5(t) = \frac{1}{2} + \frac{2}{\pi} \cos\left(\frac{\pi}{2}t\right) - \frac{2}{3\pi} \cos\left(\frac{3\pi}{2}t\right) + \frac{2}{5\pi} \cos\left(\frac{5\pi}{2}t\right)$$

$$\lim_{N \rightarrow \infty} \int_T |x_N(t) - x(t)|^2 dt = 0$$



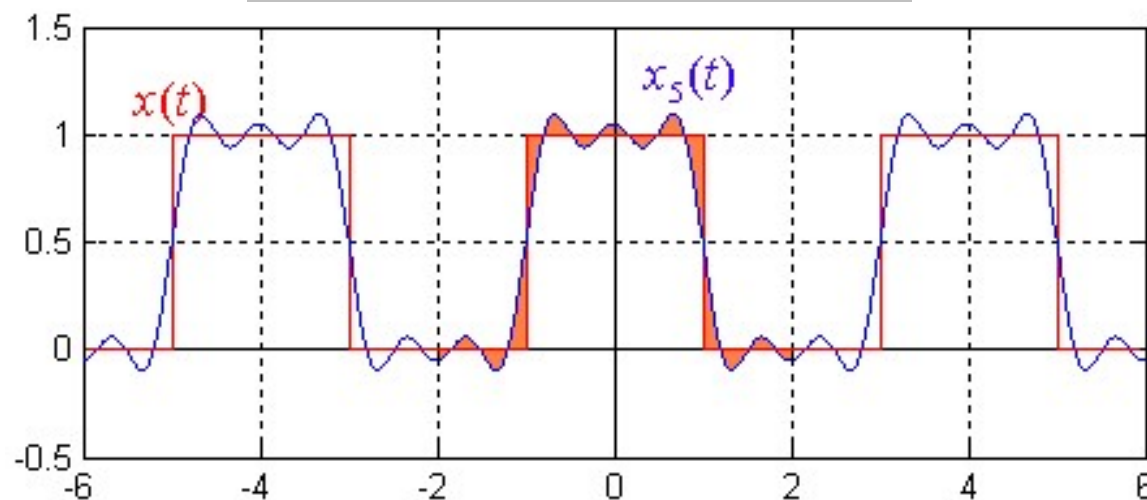


3.2.3 连续时间傅里叶级数的收敛

$$x_3(t) = \frac{1}{2} + \frac{2}{\pi} \cos\left(\frac{\pi}{2}t\right) - \frac{2}{3\pi} \cos\left(\frac{3\pi}{2}t\right)$$

$$x_5(t) = \frac{1}{2} + \frac{2}{\pi} \cos\left(\frac{\pi}{2}t\right) - \frac{2}{3\pi} \cos\left(\frac{3\pi}{2}t\right) + \frac{2}{5\pi} \cos\left(\frac{5\pi}{2}t\right)$$

$$\lim_{N \rightarrow \infty} \int_T |x_N(t) - x(t)|^2 dt = 0$$





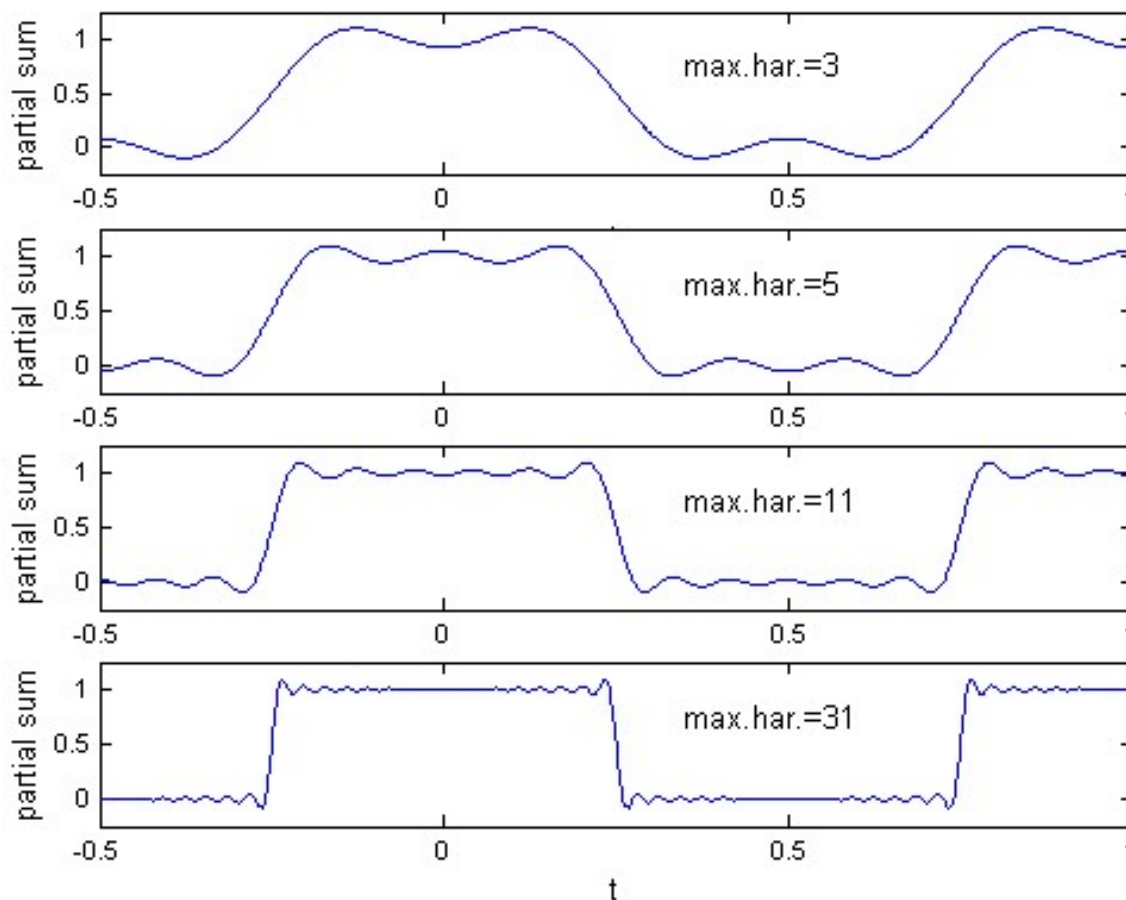
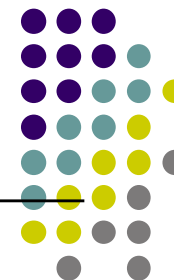
MATLAB: 吉布斯现象



```
% Program: 用有限项谐波叠加成占空比为 0.5 的方波
n_max=[3 5 11 31];    %最高谐波分量分别为 3、5、11 和 31。
N=length(n_max);
t=-0.5:0.001:1;
w=2*pi;               % 周期为 1
for k=1:N
    x=0.5; % 直流项
    for n=1:2:n_max(k);
        bn=2.*sin(pi*n/2)/(pi*n) % 求系数。该方波表示为三角函数形式的傅里叶级数时，其傅里
        %叶级数系数为  $2.0 \times \sin(\pi \cdot n/2)/(n \cdot \pi)$ 。
        x=x+bn*cos(w*n*t); %用有限项谐波叠加近似表示占空比为 0.5 的方波 x(t)
    end
    subplot(N,1,k);plot(t,x);xlabel('t');ylabel('partial sum');
    axis([min(t) max(t) -0.5 1.25]);text(-0.2,0.4,['max.har.=',num2str(n_max(k))]);
end
```



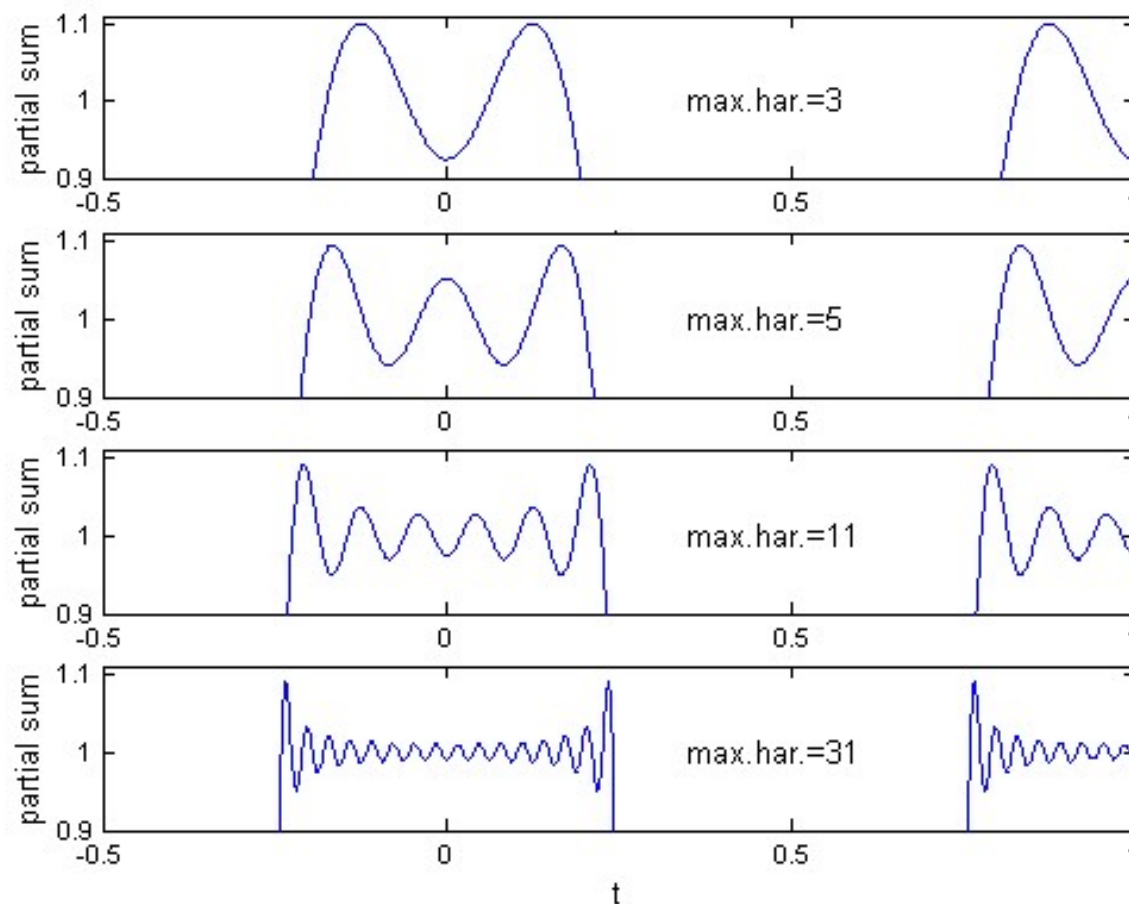
MATLAB: 吉布斯现象



(a) 用有限项谐波叠加近似表示占空比为0.5的方波



MATLAB: 吉布斯现象



(b) 局部放大图

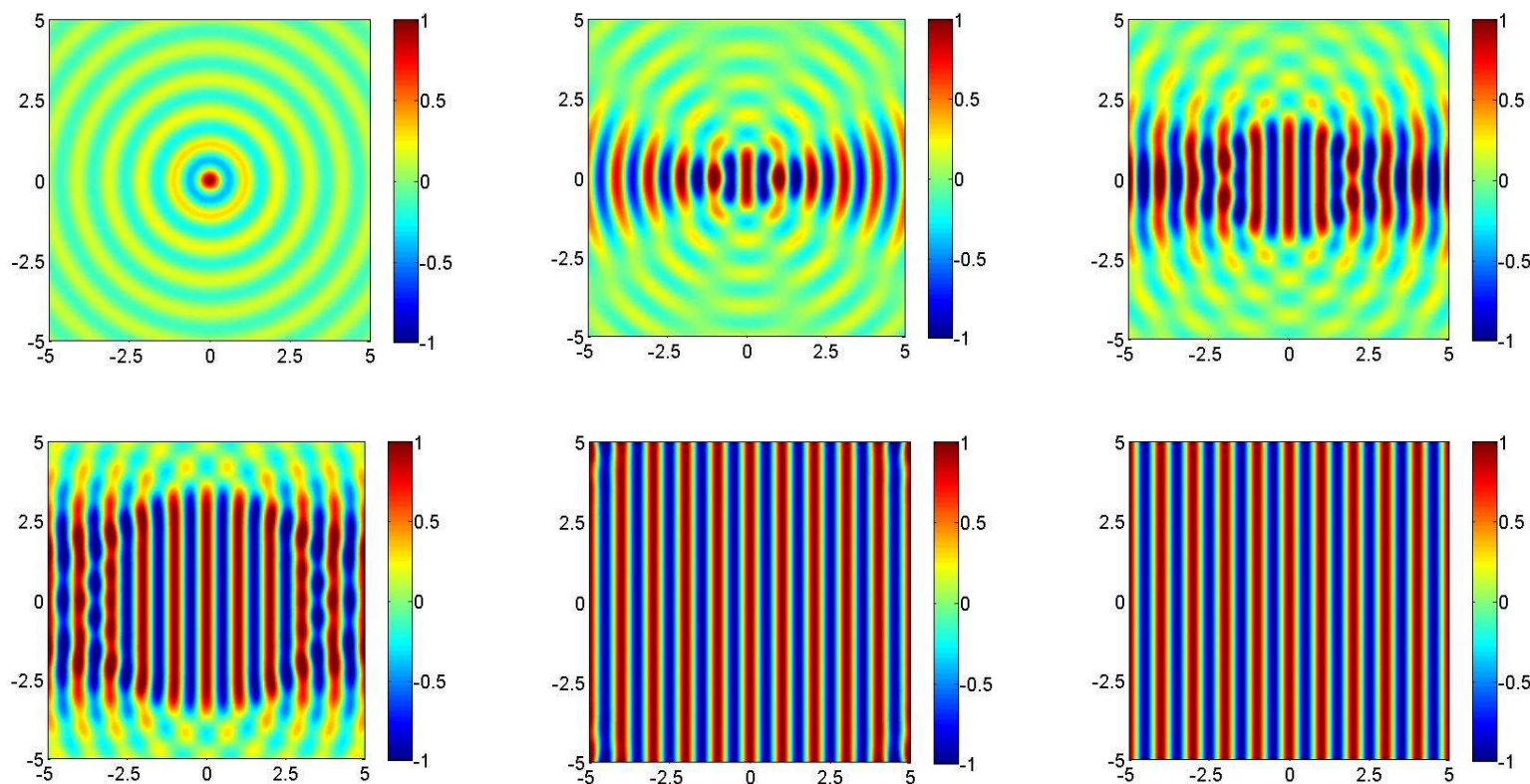


MATLAB: 计算傅里叶级数的系数



平面波的柱面波展开

$$e^{-j k x} = e^{-j k \rho \cos \phi} = \sum_{n=-\infty}^{\infty} a_n e^{j n \phi}$$





§ 3.0 引言

§ 3.1 连续时间LTI系统的特征函数

§ 3.2 连续时间傅里叶级数

§ 3.3 连续时间傅里叶变换

§ 3.4 连续时间周期信号的傅里叶变换

§ 3.5 连续时间傅里叶变换的性质

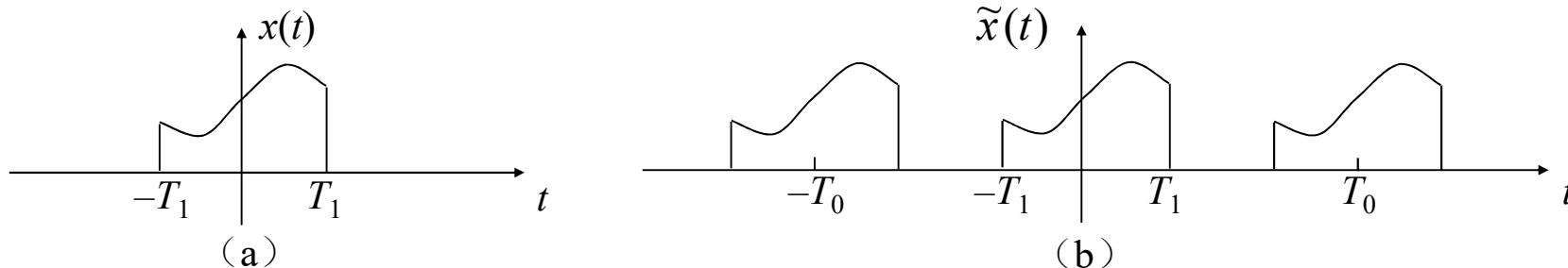
§ 3.6 连续时间LTI系统的频域分析



3.3.1 非周期信号的傅里叶变换的导出



考虑一个信号 $x(t)$ ，它具有有限时宽： $x(t) = 0$ ，当 $|t| > T_1$



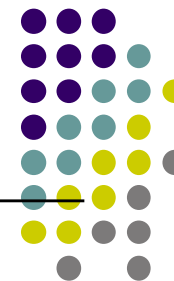
(a) 非周期信号 $x(t)$; (b) 由 $x(t)$ 构成的周期信号

$x(t)$ 进行周期延拓： $\tilde{x}(t) = x(t) \quad |t| \leq T_1 \quad \text{且} \quad T_0 > 2T_1$

$$x(t) = \lim_{T_0 \rightarrow \infty} \tilde{x}(t)$$



3.3.1 非周期信号的傅里叶变换的导出



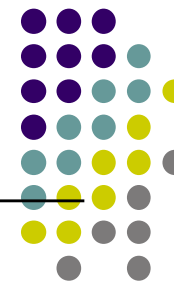
将 $\tilde{x}(t)$ 展开成傅里叶级数有

$$\tilde{x}(t) = \sum_{k=-\infty}^{\infty} a_k e^{jk\omega_0 t} \quad \omega_0 = \frac{2\pi}{T_0}$$

$$\begin{aligned} a_k &= \frac{1}{T_0} \int_{-T_0/2}^{T_0/2} \tilde{x}(t) e^{-jk\omega_0 t} \cdot dt \\ &= \frac{1}{T_0} \int_{-T_0/2}^{T_0/2} x(t) e^{-jk\omega_0 t} dt \\ &= \frac{1}{T_0} \int_{-\infty}^{\infty} x(t) e^{-jk\omega_0 t} dt \end{aligned}$$



3.3.1 非周期信号的傅里叶变换的导出



定义包络 $T_0 a_k$ 为：

$$X(j\omega) = \int_{-\infty}^{\infty} x(t) e^{-j\omega t} \cdot dt$$

有

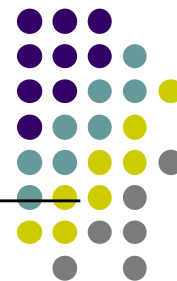
$$a_k = \frac{1}{T_0} X(j\omega) \Big|_{\omega=k\omega_0} = \frac{1}{T_0} X(jk\omega_0)$$

代入傅里叶级数，有

$$\tilde{x}(t) = \sum_{k=-\infty}^{\infty} \frac{1}{T_0} X(jk\omega_0) e^{jk\omega_0 t} = \frac{1}{2\pi} \sum_{k=-\infty}^{\infty} X(jk\omega_0) e^{jk\omega_0 t} \cdot \omega_0$$



3.3.1 非周期信号的傅里叶变换的导出



随着 $T_0 \rightarrow \infty$ 或者 $\omega_0 = \frac{2\pi}{T_0} \rightarrow 0$, $\tilde{x}(t)$ 趋近于 $x(t)$:

$$x(t) = \lim_{T_0 \rightarrow \infty} \tilde{x}(t) = \lim_{\omega_0 \rightarrow 0} \tilde{x}(t) = \lim_{\omega_0 \rightarrow 0} \frac{1}{2\pi} \sum_{k=-\infty}^{\infty} X(jk\omega_0) e^{jk\omega_0 t} \cdot \omega_0$$

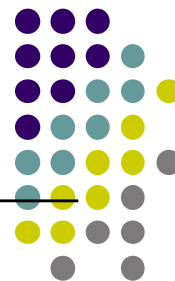
$$x(t) = \frac{1}{2\pi} \int_{-\infty}^{\infty} X(j\omega) e^{j\omega t} \cdot d\omega$$

$x(t)$ 表示成了复指数信号的线性组合形式。

$X(j\omega)$ 用来表示信号所包含不同频率复指数信号组成成份的度量, 通常称为 $x(t)$ 的频谱。



3.3.1 非周期信号的傅里叶变换的导出



$$x(t) \xleftrightarrow{F} X(j\omega)$$

其中 $x(t)$ 和 $X(j\omega)$ 表示一傅里叶变换对，它们间关系为

$$X(j\omega) = \int_{-\infty}^{\infty} x(t) e^{-j\omega t} dt$$

和

$$x(t) = \frac{1}{2\pi} \int_{-\infty}^{\infty} X(j\omega) e^{j\omega t} \cdot d\omega$$

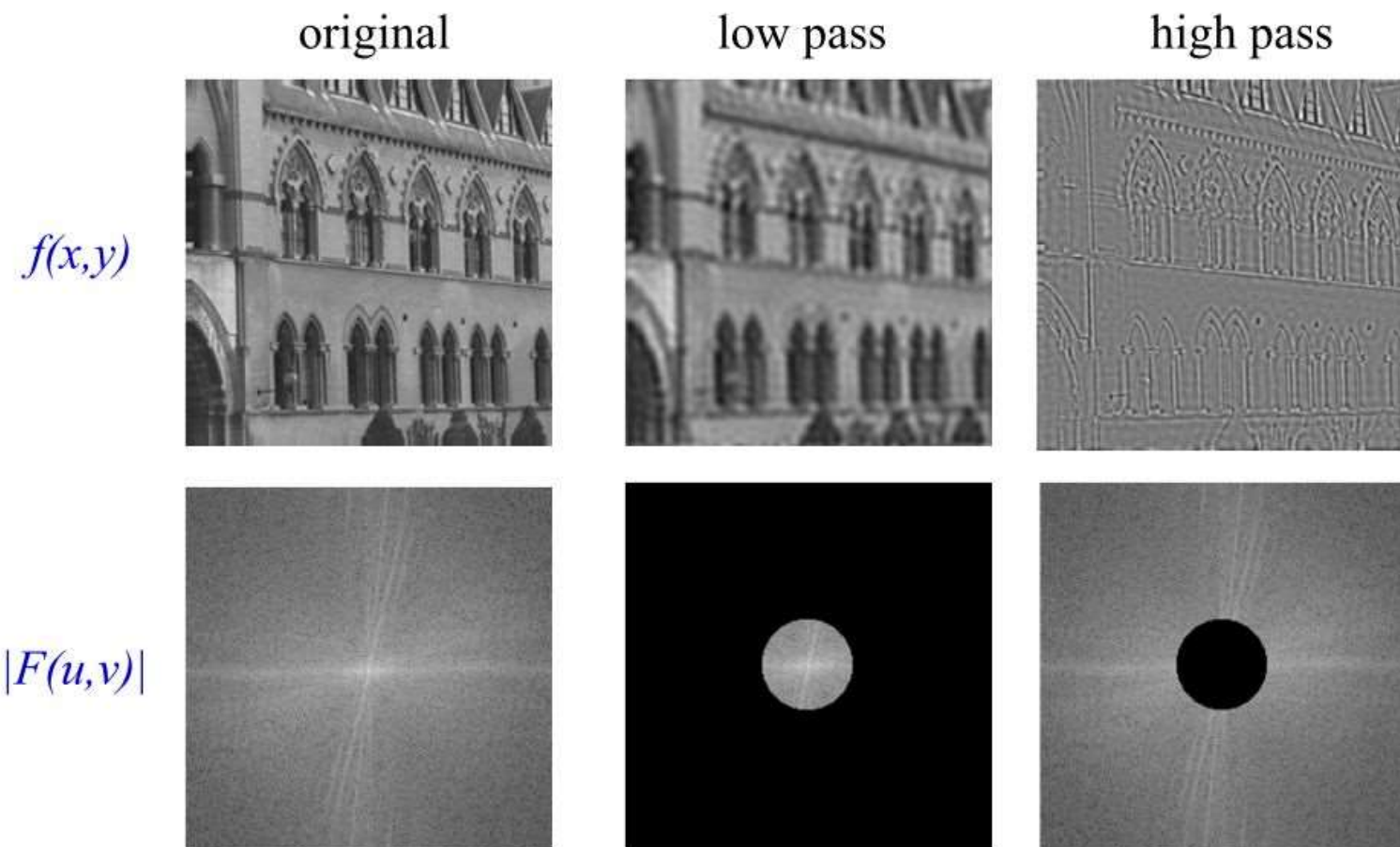
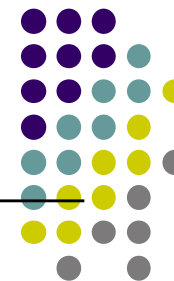
频谱 $X(j\omega)$ 极坐标形式：

$$X(j\omega) = |X(j\omega)| \cdot e^{j\theta(j\omega)}$$

其模 $|X(j\omega)|$ 称为信号幅度谱，其相位 $\theta(\omega)$ 称为信号的相位谱。



3.3.1 非周期信号的傅里叶变换的导出





3.3.2 连续时间傅里叶变换的收敛



傅里叶变换对相当广泛的一类信号是适用的，特别是对一些实际有用的信号。但并不是对所有信号都是适用的，傅里叶变换也存在着收敛条件。

令 $\hat{x}(t)$ 表示傅里叶反变换

$$\hat{x}(t) = \frac{1}{2\pi} \int_{-\infty}^{\infty} X(j\omega) e^{j\omega t} \cdot d\omega$$

$\hat{x}(t)$ 和 $x(t)$ 之间的误差： $e(t) = \hat{x}(t) - x(t)$

均方误差定义为 $E(t) = \int_{-\infty}^{\infty} |e(t)|^2 \cdot dt$



3.3.2 连续时间傅里叶变换的收敛



与周期信号的傅里叶级数相类似，傅里叶变换通常有两个收敛条件。

- 条件1 若 $x(t)$ 能量有限，也即 $x(t)$ 平方可积：
$$\int_{-\infty}^{\infty} |x(t)|^2 \cdot dt < \infty$$

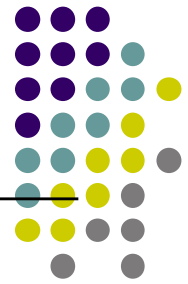
那么 $X(j\omega)$ 就保证是有限的，且有 $E(t) = 0$ 。

- 条件2 狄里赫利条件：

该条件保证了傅里叶反变换除了那些不连续点外，在任何其他的值上都等于原信号，而在不连续点处，它等于原信号在不连续点两侧值的平均值。



3.3.2 连续时间傅里叶变换的收敛

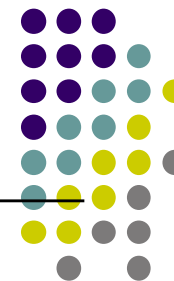


- 狄里赫利条件:

1. $x(t)$ 绝对可积, 即 $\int_{-\infty}^{\infty} |x(t)| \cdot dt < \infty$
2. 在任何有限区间内, $x(t)$ 只有有限个最大值和最小值。
3. 在任何有限区间内, $x(t)$ 只有有限个不连续点, 并且在每个不连续点上信号都必须是有限值。



3.3.2 连续时间傅里叶变换的收敛



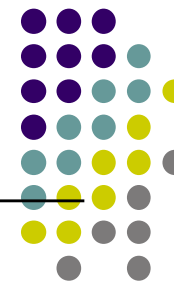
吉布斯现象：当傅里叶变换综合公式（反变换）用有限频宽来近似表示原信号，即

$$\hat{x}(t) = \frac{1}{2\pi} \int_{-w}^w X(j\omega) e^{j\omega t} \cdot d\omega$$

在不连续点处同样存在吉布斯现象。



3.3.3 典型连续时间信号的傅里叶变换对



单边指数信号: $x(t) = e^{-at}u(t)$, $a > 0$

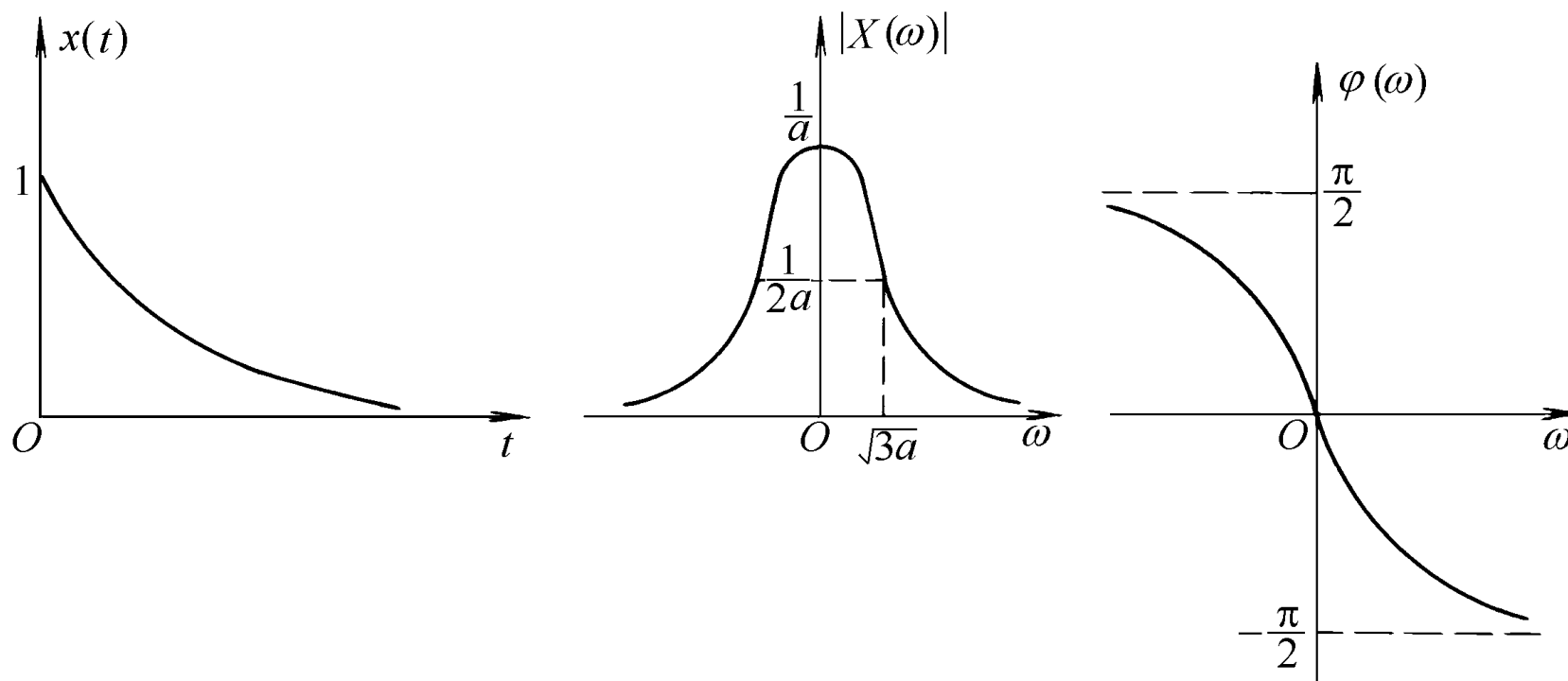
$$\begin{aligned} X(j\omega) &= \int_{-\infty}^{\infty} x(t) \cdot e^{-j\omega t} \cdot dt = \int_0^{\infty} e^{-at} \cdot e^{-j\omega t} \cdot dt \\ &= -\frac{1}{a + j\omega} e^{-(a+j\omega)t} \Big|_0^{\infty} \end{aligned}$$

得

$$e^{-at} \cdot u(t) \xleftrightarrow{F} X(j\omega) = \frac{1}{a + j\omega}, a > 0$$



3.3.3 典型连续时间信号的傅里叶变换对



$$e^{-at} \cdot u(t) \xleftrightarrow{F} X(j\omega) = \frac{1}{a + j\omega}, a > 0$$



3.3.3 典型连续时间信号的傅里叶变换对



双边指数信号: $x(t) = e^{-a|t|}, a > 0$

该信号可表示为 $x(t) = e^{at} \cdot u(-t) + e^{-at} \cdot u(t)$

其傅里叶变换

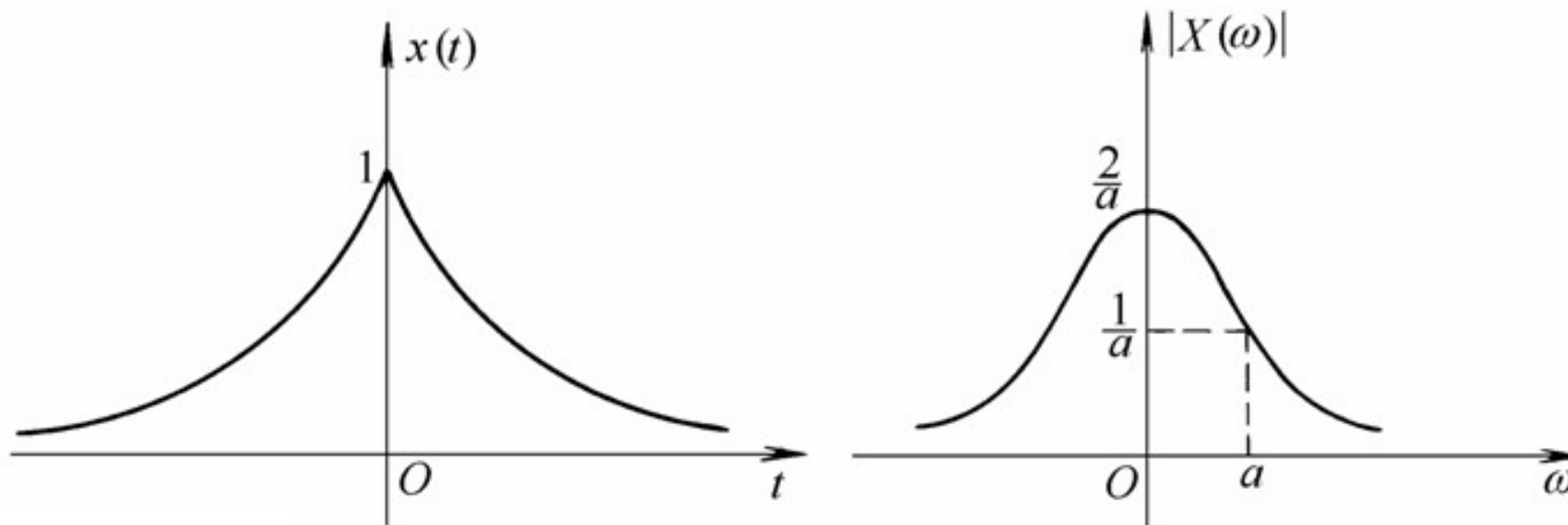
$$\begin{aligned} X(j\omega) &= \int_{-\infty}^{\infty} e^{-a|t|} \cdot e^{-j\omega t} \cdot dt = \int_{-\infty}^0 e^{at} e^{-j\omega t} \cdot dt + \int_0^{\infty} e^{-at} \cdot e^{-j\omega t} \cdot dt \\ &= \frac{1}{a - j\omega} + \frac{1}{a + j\omega} = \frac{2a}{a^2 + \omega^2} \end{aligned}$$

得

$$e^{-a|t|} \xleftrightarrow{F} \frac{2a}{a^2 + \omega^2}$$



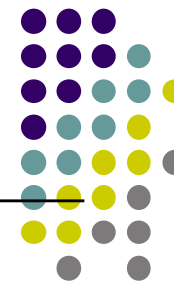
3.3.3 典型连续时间信号的傅里叶变换对



$$e^{-a|t|} \xleftrightarrow{F} \frac{2a}{a^2 + \omega^2}$$



3.3.3 典型连续时间信号的傅里叶变换对



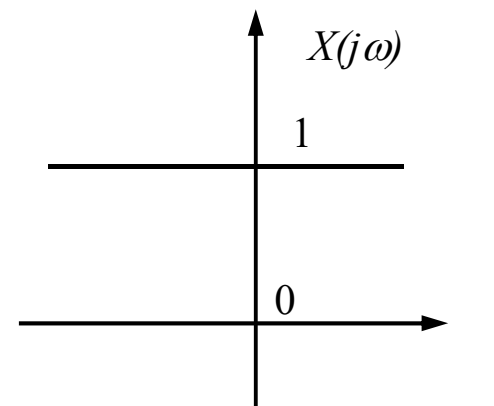
单位冲激信号

单位冲激信号 $\delta(t)$ 的傅里叶变换是

$$X(j\omega) = \int_{-\infty}^{\infty} \delta(t) e^{-j\omega t} \cdot dt = 1$$

得

$$\delta(t) \xleftrightarrow{F} 1$$



单位冲激信号的频谱

$\delta(t)$ 所包含各种频率分量是相等的。



3.3.3 典型连续时间信号的傅里叶变换对



冲激偶信号

因为 $\delta(t) \xleftrightarrow{F} 1$

可得 $\delta(t) = \frac{1}{2\pi} \int_{-\infty}^{\infty} e^{j\omega t} \cdot d\omega$

上式两边对 t 求微分，得

$$\delta'(t) = \frac{d\delta(t)}{dt} = \frac{1}{2\pi} \int_{-\infty}^{\infty} j\omega \cdot e^{j\omega t} \cdot d\omega$$

上式表示为 $\delta'(t)$ 的傅里叶反变换，所以得

$$\delta'(t) \xleftrightarrow{F} j\omega$$



3.3.3 典型连续时间信号的傅里叶变换对



抽样函数

考虑一信号，其傅里叶变换 $X(j\omega)$ 为 $X(j\omega) = \begin{cases} 1, & |\omega| < \omega_c \\ 0, & \text{其它} \end{cases}$

傅里叶反变换

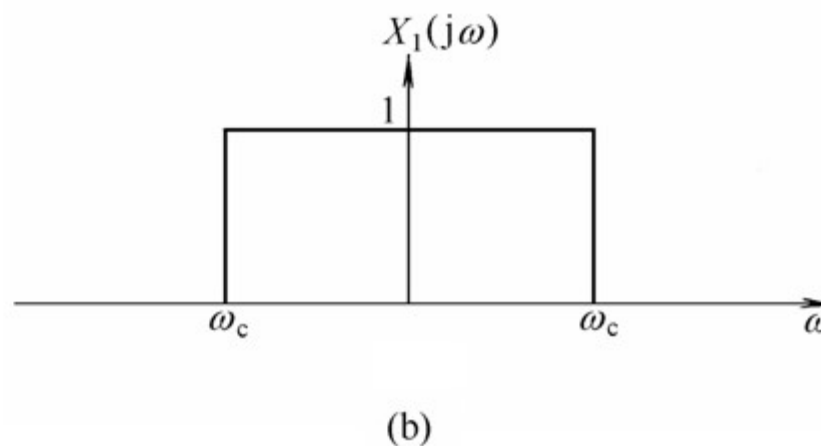
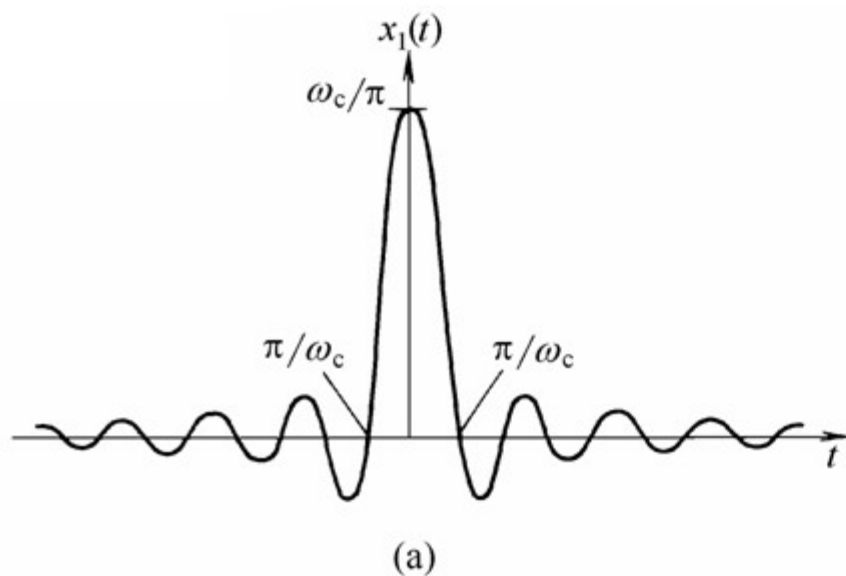
$$\begin{aligned} x(t) &= \frac{1}{2\pi} \int_{-\omega_c}^{\omega_c} e^{j\omega t} \cdot d\omega = \frac{1}{2\pi} \int_{-\omega_c}^{\omega_c} (\cos \omega t + j \sin \omega t) \cdot d\omega \\ &= \frac{1}{\pi} \int_0^{\omega_c} \cos \omega t \cdot d\omega = \frac{\sin \omega_c t}{\pi t} = \frac{\omega_c}{\pi} \operatorname{sinc} \left(\frac{\omega_c t}{\pi} \right) \end{aligned}$$

得

$$\frac{\omega_c}{\pi} \operatorname{sinc} \left(\frac{\omega_c t}{\pi} \right) \xleftrightarrow{F} \begin{cases} 1, & |\omega| < \omega_c \\ 0, & \text{其它} \end{cases}$$



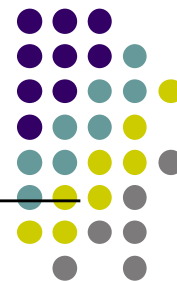
3.3.3 典型连续时间信号的傅里叶变换对



$$\frac{\omega_c}{\pi} \operatorname{sinc}\left(\frac{\omega_c t}{\pi}\right) \xleftrightarrow{F} \begin{cases} 1, & |\omega| < \omega_c \\ 0, & \text{其它} \end{cases}$$



3.3.3 典型连续时间信号的傅里叶变换对



当 $\omega_c \rightarrow \infty$, $X(j\omega)$ 的极限为

$$\lim_{\omega_c \rightarrow \infty} X(j\omega) = 1$$

$$\lim_{\omega_c \rightarrow \infty} \frac{\omega_c}{\pi} \sin c\left(\frac{\omega_c t}{\pi}\right) \xleftrightarrow{F} 1$$

因为

$$\delta(t) \xleftrightarrow{F} 1$$

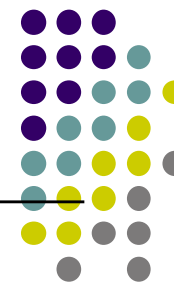
所以

$$\lim_{\omega_c \rightarrow \infty} \frac{\omega_c}{\pi} \sin c\left(\frac{\omega_c t}{\pi}\right) = \delta(t)$$

可看作是 $\delta(t)$ 的另一种数学模型形式。



3.3.3 典型连续时间信号的傅里叶变换对



矩形窗函数:

$$x(t) = \begin{cases} 1, & |t| < T_1 \\ 0, & \text{其它} \end{cases}$$

其傅里叶变换为

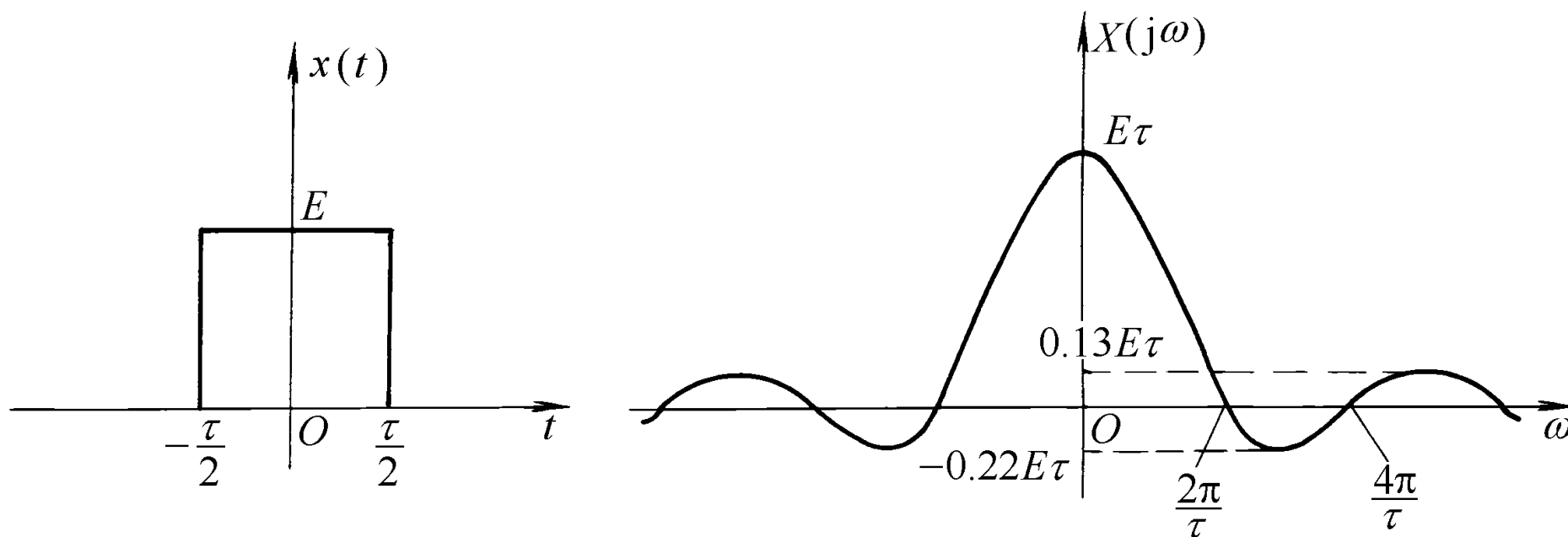
$$\begin{aligned} X(j\omega) &= \int_{-T_1}^{T_1} e^{-j\omega t} \cdot dt = \int_{-T_1}^{T_1} (\cos \omega t - j \sin \omega t) \cdot dt \\ &= 2 \int_0^{T_1} \cos \omega t \cdot dt = \frac{2 \sin \omega T_1}{\omega} = 2T_1 \operatorname{sinc} \left(\frac{\omega T_1}{\pi} \right) \end{aligned}$$

得

$$x(t) = \begin{cases} 1, & |t| < T_1 \\ 0, & \text{其它} \end{cases} \xleftrightarrow{F} 2T_1 \operatorname{sinc} \left(\frac{\omega T_1}{\pi} \right) = 2T_1 \operatorname{sinc}(\omega T_1)$$



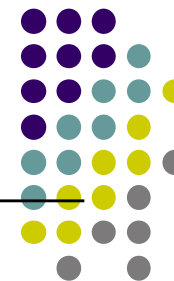
3.3.3 典型连续时间信号的傅里叶变换对



$$x(t) = \begin{cases} 1, & |t| < T_1 \\ 0, & \text{其它} \end{cases} \xleftrightarrow{F} 2T_1 \operatorname{sinc}\left(\frac{\omega T_1}{\pi}\right) = 2T_1 \operatorname{sa}(\omega T_1)$$



3.3.3 典型连续时间信号的傅里叶变换对



当 $T_1 \rightarrow \infty$ 时, 信号 $x(t)$ 为一常数:

$$\lim_{T_1 \rightarrow \infty} x(t) = 1$$

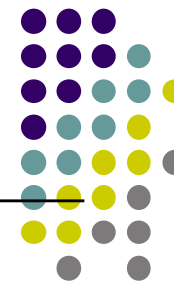
$$1 \xleftrightarrow{F} \lim_{T_1 \rightarrow \infty} 2T_1 \sin c\left(\frac{\omega T_1}{\pi}\right) = 2\pi \lim_{T_1 \rightarrow \infty} \frac{T_1}{\pi} \sin c\left(\frac{\omega \pi}{\pi}\right)$$

$$\text{因为 } \lim_{\omega_c \rightarrow \infty} \frac{\omega_c}{\pi} \sin c\left(\frac{\omega_c t}{\pi}\right) = \delta(t)$$

$$\text{可得傅里叶变换对 } 1 \xleftrightarrow{F} 2\pi\delta(\omega)$$



3.3.3 典型连续时间信号的傅里叶变换对



高斯脉冲:

$$x(t) = E \cdot e^{-\left(\frac{t}{\tau}\right)^2}$$

其傅里叶变换为

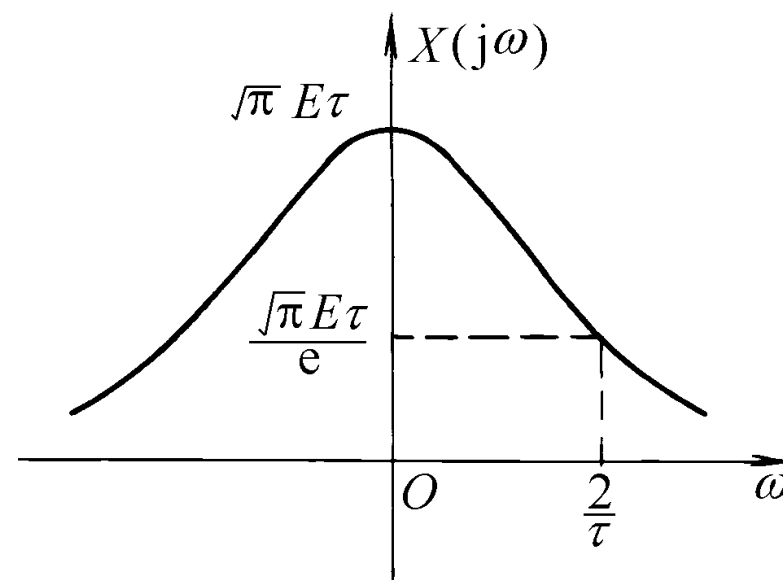
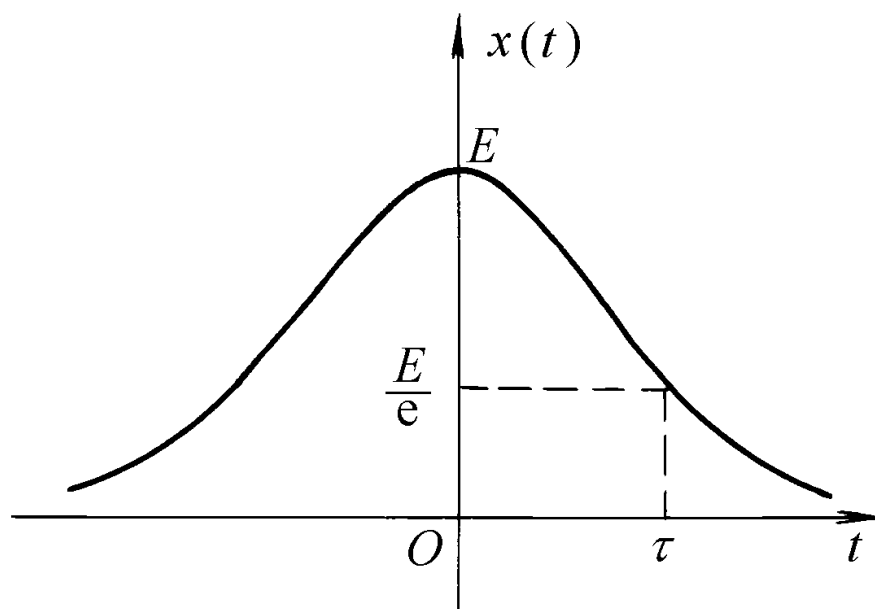
$$\begin{aligned} X(j\omega) &= \int_{-\infty}^{\infty} x(t) \cdot e^{-j\omega t} \cdot dt = \int_{-\infty}^{\infty} E e^{-\left(\frac{t}{\tau}\right)^2} [\cos \omega t - j \sin \omega t] \cdot dt \\ &= 2E \int_0^{\infty} e^{-\left(\frac{t}{\tau}\right)^2} \cos \omega t \cdot dt \end{aligned}$$

积分后得

$$E e^{-\left(\frac{t}{\tau}\right)^2} \xleftrightarrow{\text{F}} \sqrt{\pi} E \tau \cdot e^{-\left(\frac{\omega \tau}{2}\right)^2}$$



3.3.3 典型连续时间信号的傅里叶变换对



$$E e^{-\left(\frac{t}{\tau}\right)^2} \xleftrightarrow{F} \sqrt{\pi} E \tau \cdot e^{-\left(\frac{\omega \tau}{2}\right)^2}$$



MATLAB: 计算信号的傅里叶变换



%程序 signal.m: 定义求傅里叶变换的被积函数: $y=x(t) \cdot \exp(-j \cdot w \cdot t)$

function y=signal(t,w,T) %[-T,T]为信号时宽, t为时间变量, w 为频域变量

x=(t>=0).*1.0; %[0,T]方波

%对称三角形可定义为: $x=(\text{abs}(t) \leq T) \cdot (1-\text{abs}(t))$;

%对称斜波可定义为: $x=(\text{abs}(t) \leq T) \cdot t$;

%斜波可定义为: $x=(t \geq 0) \cdot t$;

%对称方波可定义为: $x=(\text{abs}(t) \leq T) \cdot 1.0$;

y=x.*exp(-j*w*t);



MATLAB: 计算信号的傅里叶变换



```
%程序 spectrum.m: 求信号的傅里叶变换
T=1; %设置信号时宽
w=linspace(-10*pi,10*pi,1024);%设置频域变量取值范围
N=length(w);F=zeros(1,N);
for k=1:N
    F(k)=quadl(@signal,-T,T,[],[],w(k),T);
end
A=abs(F);%计算傅立叶变换的幅值
subplot(3,1,1);plot(w,A);ylabel('幅频特性');
axis([w(1) w(N) min(A)-0.05 max(real(A))+0.05]);
subplot(3,1,2);plot(w,real(F));ylabel('实部');
axis([w(1) w(N) min(real(F))-0.05 max(real(F))+0.05]);
subplot(3,1,3);plot(w,imag(F));xlabel('\omega'),ylabel('虚部');
axis([w(1) w(N) min(imag(F))-0.05 max(imag(F))+0.05]);
```



MATLAB: 计算信号的傅里叶变换

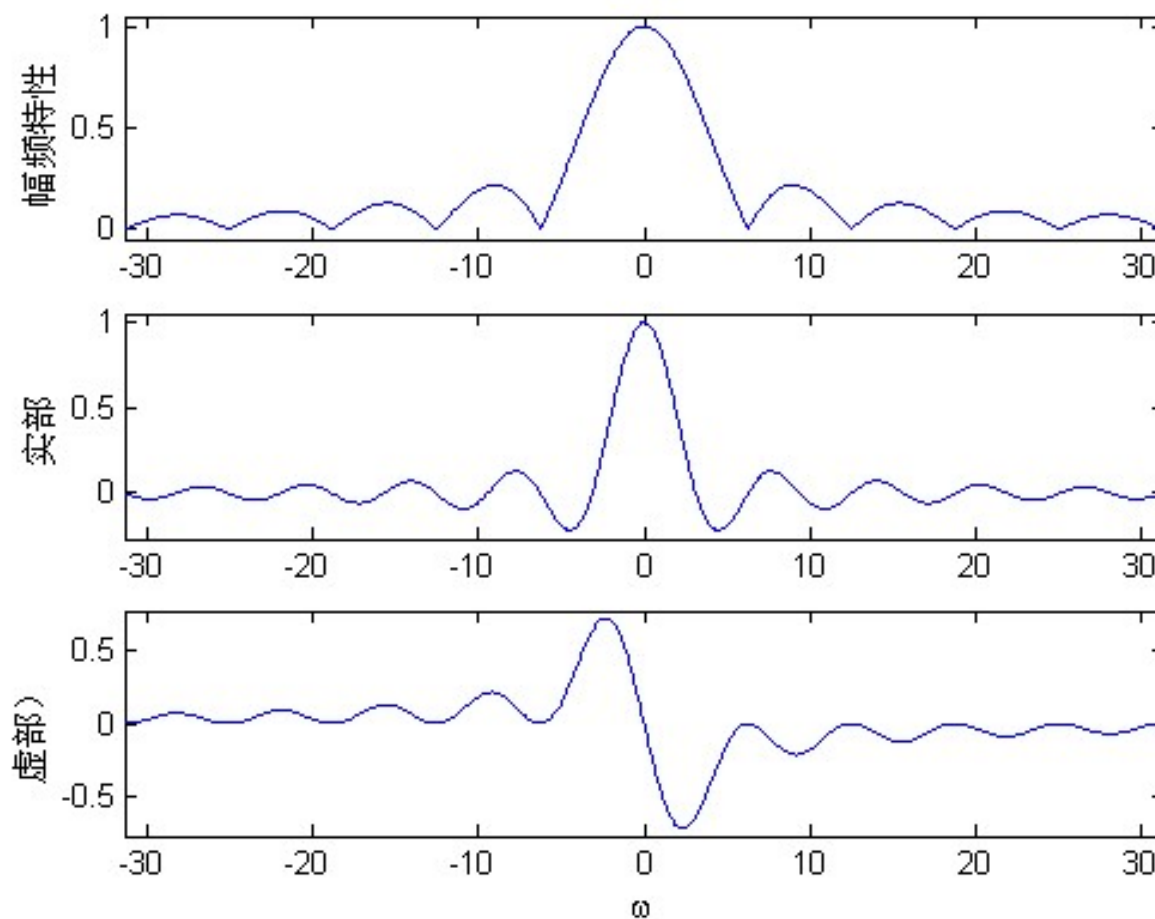


图 3-17 方波的频谱



§ 3.0 引言

§ 3.1 连续时间LTI系统的特征函数

§ 3.2 连续时间傅里叶级数

§ 3.3 连续时间傅里叶变换

§ 3.4 连续时间周期信号的傅里叶变换

§ 3.5 连续时间傅里叶变换的性质

§ 3.6 连续时间LTI系统的频域分析



3.4 连续时间周期信号的傅里叶变换

- 周期信号能够表示成傅里叶级数形式的复指数信号的表示式，因此，周期信号存在着某种形式的傅里叶变换——用冲激串信号来表示，并使傅里叶反变换收敛。

考虑一个信号 $x(t)$ ，其傅里叶变换为 $X(j\omega)$

$$X(j\omega) = 2\pi\delta(\omega - \omega_0)$$

应用反变换公式得

$$x(t) = \frac{1}{2\pi} \int_{-\infty}^{\infty} 2\pi\delta(\omega - \omega_0) e^{j\omega t} \cdot d\omega = e^{j\omega_0 t}$$

即

$$e^{j\omega_0 t} \xleftrightarrow{F} 2\pi\delta(\omega - \omega_0)$$



3.4 连续时间周期信号的傅里叶变换

如某一周期信号的傅里叶级数为

$$x(t) = \sum_{k=-\infty}^{\infty} a_k e^{jk\omega_0 t}, \quad \omega_0 = \frac{2\pi}{T_0}$$

可得周期信号 $x(t)$ 的傅里叶变换为

$$x(t) \xleftrightarrow{F} \sum_{k=-\infty}^{\infty} 2\pi a_k \delta(\omega - k\omega_0) = X(j\omega)$$

其傅里叶反变换:

$$x(t) = \frac{1}{2\pi} \int_{-\infty}^{\infty} \left(\sum_{k=-\infty}^{\infty} 2\pi a_k \delta(\omega - k\omega_0) \right) e^{j\omega t} \cdot d\omega$$

$$= \sum_{k=-\infty}^{\infty} \left(\int_{-\infty}^{\infty} a_k \delta(\omega - k\omega_0) e^{j\omega t} \cdot d\omega \right)$$

$$= \sum_{k=-\infty}^{\infty} a_k \cdot e^{jk\omega_0 t}$$

周期信号反变换，就是其傅里叶级数。



例3.2

【例3.2】考虑图3.18的周期方波，其傅里叶级数系数为

$$a_k = \frac{\sin(k\omega_0 T_1)}{\pi k}, \quad \omega_0 = \frac{2\pi}{T_0}$$

因此，该信号的傅里叶变换 $X(j\omega)$ 是

$$X(j\omega) = \sum_{k=-\infty}^{\infty} \frac{2 \sin k\omega_0 T_1}{k} \cdot \delta(\omega - k\omega_0)$$

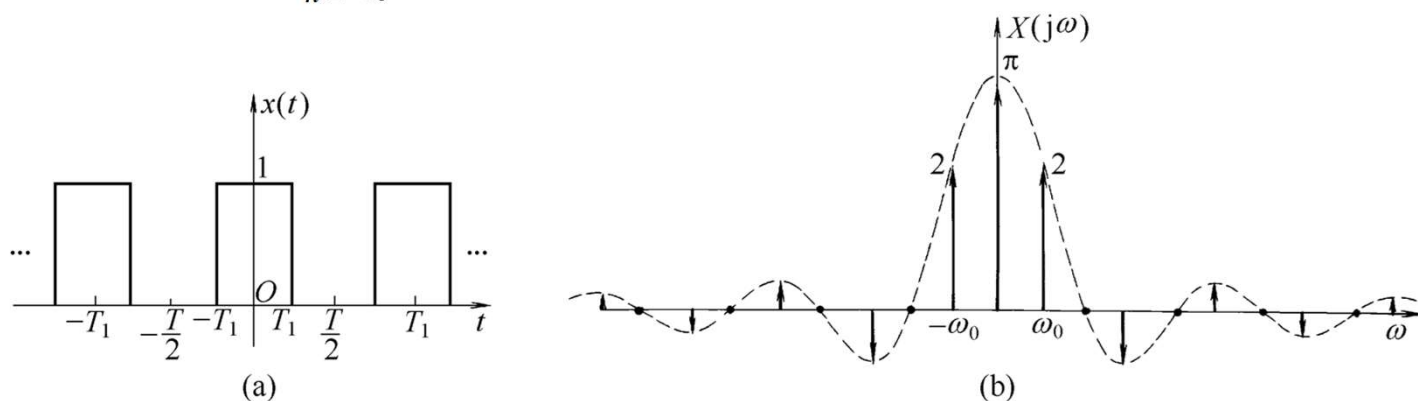
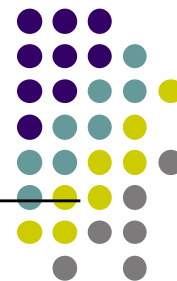


图3-18 周期对称方波的傅里叶变换 ($T=4T_1$)



例3.3



【例3.3】 正弦和余弦信号的频谱

余弦信号 $x(t) = \cos \omega_0 t$

正弦信号 $x(t) = \sin \omega_0 t$

展开为傅里叶级数形式

$$x(t) = \cos \omega_0 t = \frac{e^{j\omega_0 t} + e^{-j\omega_0 t}}{2}$$

$$x(t) = \sin \omega_0 t = \frac{e^{j\omega_0 t} - e^{-j\omega_0 t}}{2j}$$

因此,有

$$\cos \omega_0 t \xleftrightarrow{F} \pi(\delta(\omega - \omega_0) + \delta(\omega + \omega_0))$$

$$\sin \omega_0 t \xleftrightarrow{F} \frac{\pi}{j}(\delta(\omega - \omega_0) - \delta(\omega + \omega_0))$$



例3.3

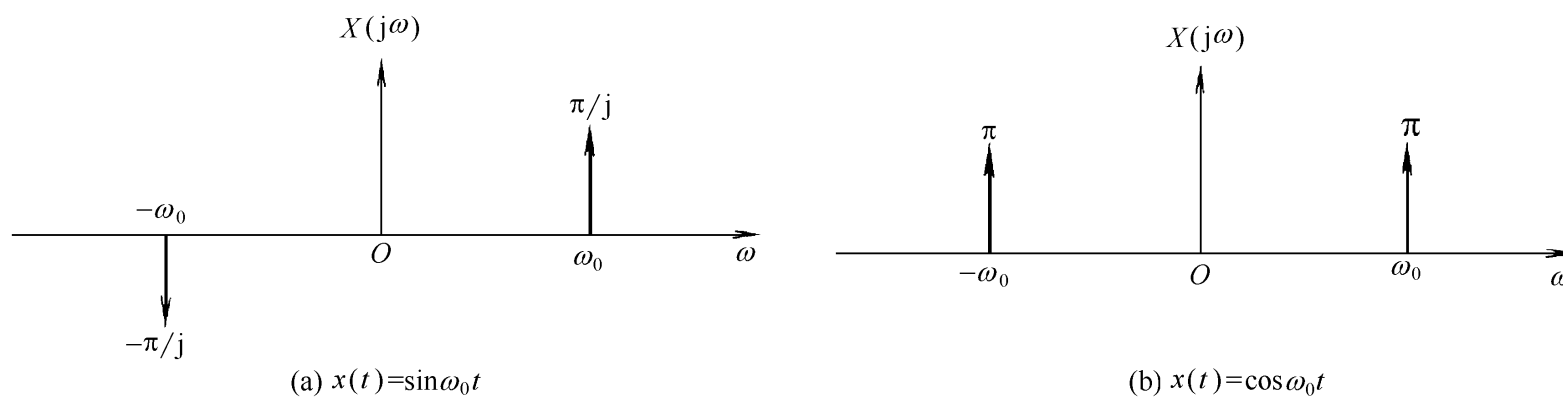
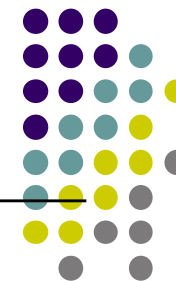


图3-19 正弦和余弦信号的频谱



例3.4



【例3.4】 周期冲激串

周期冲激串定义为 $\delta_T(t) = \sum_{k=-\infty}^{\infty} \delta(t - kT)$

该信号的傅里叶级数系数

$$a_k = \frac{1}{T} \int_{-T/2}^{T/2} \delta(t) \cdot e^{-jk\omega_0 t} \cdot dt = \frac{1}{T}, \quad \omega_0 = \frac{2\pi}{T}$$

因此，可得冲激串的傅里叶变换。

$$\begin{aligned} \delta_T(t) &= \sum_{k=-\infty}^{\infty} \delta(t - kT) \xleftrightarrow{F} \frac{2\pi}{T} \sum_{k=-\infty}^{\infty} \delta(\omega - \frac{2\pi}{T}k) \\ &= \omega_0 \sum_{k=-\infty}^{\infty} \delta(\omega - k\omega_0) = \omega_0 \delta_{\omega_0}(\omega) \end{aligned}$$



例3.4

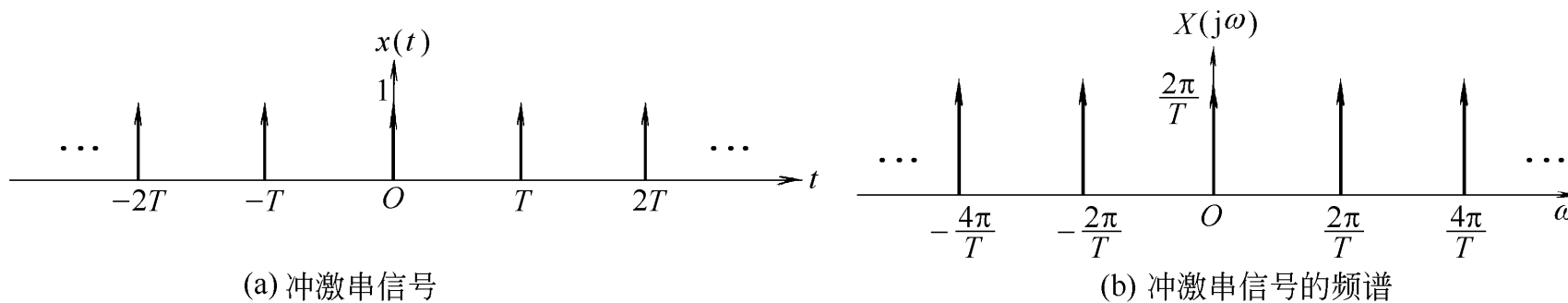
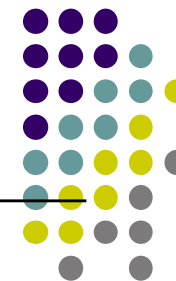


图3-20 冲激串频谱



§ 3.0 引言

§ 3.1 连续时间LTI系统的特征函数

§ 3.2 连续时间傅里叶级数

§ 3.3 连续时间傅里叶变换

§ 3.4 连续时间周期信号的傅里叶变换

§ 3.5 连续时间傅里叶变换的性质

§ 3.6 连续时间LTI系统的频域分析



3.5.1 线性性质



若 $x_1(t) \xleftrightarrow{F} X_1(j\omega)$

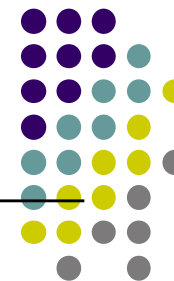
和 $x_2(t) \xleftrightarrow{F} X_2(j\omega)$

则 $ax_1(t) + bx_2(t) \xleftrightarrow{F} aX_1(j\omega) + bX_2(j\omega)$

其中 a 、 b 为任意常数。



3.5.2 时移性质



若 $x(t) \xleftrightarrow{F} X(j\omega)$

则 $x(t - t_0) \xleftrightarrow{F} e^{-j\omega t_0} X(j\omega)$

根据傅里叶反变换，有

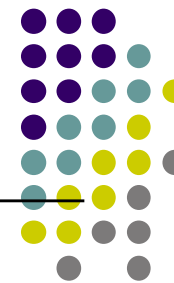
$$x(t) = \frac{1}{2\pi} \int_{-\infty}^{\infty} X(j\omega) e^{j\omega t} \cdot d\omega$$

在上式中以 $t - t_0$ 取代 t ，可得

$$\begin{aligned} x(t - t_0) &= \frac{1}{2\pi} \int_{-\infty}^{\infty} X(j\omega) e^{j\omega(t-t_0)} \cdot d\omega \\ &= \frac{1}{2\pi} \int_{-\infty}^{\infty} (e^{-j\omega t_0} X(j\omega)) \cdot e^{j\omega t} \cdot d\omega \end{aligned}$$



3.5.2 时移性质



显然，上式是 $x(t - t_0)$ 的傅里叶反变换式，所以得

$$x(t - t_0) \xleftrightarrow{F} e^{-j\omega t_0} X(j\omega)$$

将信号的频谱用极坐标形式表示时

$$x(t) \xleftrightarrow{F} X(j\omega) = |X(j\omega)| e^{j\theta(\omega)}$$

那么

$$x(t - t_0) \xleftrightarrow{F} |X(j\omega)| e^{j[\theta(\omega) - \omega t_0]}$$

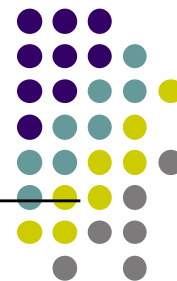
对于傅里叶级数，有：

$$\text{若 } x(t) \xleftrightarrow{F} a_k$$

$$\text{则 } x(t - t_0) \xleftrightarrow{F} e^{-j\left(\frac{2\pi}{T_0}\right)kt_0} \cdot a_k$$



例3.5



【例3.5】 信号 $x(t) = \cos(\omega_0 t + \theta)$ 的频谱

将信号 $x(t)$ 改写为

$$x(t) = \cos \omega_0 (t + \theta / \omega_0) = \cos \omega_0 (t + t_0) , \quad t_0 = \theta / \omega_0$$

已知 $\cos \omega_0 t \xleftrightarrow{F} \pi [\delta(\omega - \omega_0) + \delta(\omega + \omega_0)]$

根据延时性质，有

$$\begin{aligned} \cos \omega_0 (t + t_0) &\xleftrightarrow{F} e^{j\omega t_0} \cdot \pi [\delta(\omega - \omega_0) + \delta(\omega + \omega_0)] \\ &= \pi [e^{j\omega_0 t_0} \cdot \delta(\omega - \omega_0) + e^{-j\omega_0 t_0} \delta(\omega + \omega_0)] \\ &= \pi [e^{j\theta} \cdot \delta(\omega - \omega_0) + e^{-j\theta} \delta(\omega + \omega_0)] \end{aligned}$$



3.5.3 频移特性



若 $x(t) \xleftrightarrow{F} X(j\omega)$

则 $x(t) \cdot e^{j\omega_0 t} \xleftrightarrow{F} X(j(\omega - \omega_0))$

利用傅里叶变换公式，有

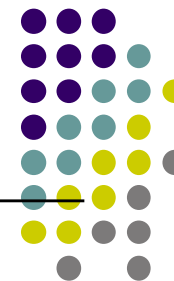
$$\begin{aligned} [x(t) \cdot e^{j\omega_0 t}] &= \int_{-\infty}^{\infty} f(t) e^{j\omega_0 t} \cdot e^{-j\omega t} \cdot dt \\ &= \int_{-\infty}^{\infty} f(t) \cdot e^{-j(\omega - \omega_0)t} \cdot dt \end{aligned}$$

所以 $x(t) \cdot e^{j\omega_0 t} \xleftrightarrow{F} X(j(\omega - \omega_0))$

同理 $x(t) \cdot e^{-j\omega_0 t} \xleftrightarrow{F} X(j(\omega + \omega_0))$



3.5.3 频移特性



如 $\cos \omega_0 t = \frac{1}{2} (e^{j\omega_0 t} + e^{-j\omega_0 t})$ $\sin \omega_0 t = \frac{1}{2j} (e^{j\omega_0 t} - e^{-j\omega_0 t})$

$$x(t) \xleftrightarrow{F} X(j\omega)$$

那么，可以导出：

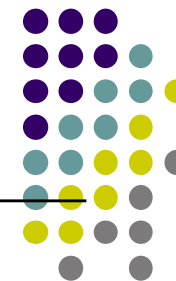
$$x(t) \cos \omega_0 t \xleftrightarrow{F} \frac{1}{2} [X(j(\omega - \omega_0)) + X(j(\omega + \omega_0))]$$

$$x(t) \sin \omega_0 t \xleftrightarrow{F} \frac{j}{2} [X(j(\omega + \omega_0)) - X(j(\omega - \omega_0))]$$

该性质也适用于傅里叶级数。



3.5.4 共轭及共轭对称性



若 $x(t) \xleftrightarrow{F} X(j\omega)$

则 $x^*(t) \xleftrightarrow{F} X^*(-j\omega)$

因为 $X(j\omega) = \int_{-\infty}^{\infty} x(t) \cdot e^{-j\omega t} \cdot dt$

$$X^*(j\omega) = \left[\int_{-\infty}^{\infty} x(t) e^{-j\omega t} \cdot dt \right]^* = \int_{-\infty}^{\infty} x^*(t) e^{j\omega t} \cdot dt$$

以 $-\omega$ 替代 ω ，得 $X^*(-j\omega) = \int_{-\infty}^{\infty} x^*(t) e^{-j\omega t} \cdot dt$

若 $x(t)$ 为实数，即有 $x(t) = x^*(t)$

那么 $X(j\omega)$ 就具有共轭对称性，即

$$X(j\omega) = X^*(-j\omega), x(t) \text{ 为实数}$$



3.5.4 共轭及共轭对称性

1. $x(t)$ 为实信号

若将 $X(j\omega)$ 用直角坐标表为

$$X(j\omega) = \text{Re}\{X(j\omega)\} + j \text{Im}\{X(j\omega)\}$$

若 $x(t)$ 为实数，则有

$$\text{Re}\{X(j\omega)\} = \text{Re}\{X(-j\omega)\}$$

$$\text{Im}\{X(j\omega)\} = -\text{Im}\{X(-j\omega)\}$$

即实数信号傅里叶变换的实部是偶函数，虚部是奇函数。

类似地，若 $X(j\omega)$ 用极坐标表示为 $X(j\omega) = |X(j\omega)| e^{j\theta(\omega)}$

信号的幅度谱 $|X(j\omega)|$ 是偶函数，相位谱 $\theta(\omega)$ 是奇函数。



3.5.4 共轭及共轭对称性



2. $x(t)$ 为实且偶函数

根据信号傅里叶变换，可以写出 $X(-j\omega) = \int_{-\infty}^{\infty} x(t)e^{j\omega t} \cdot dt$

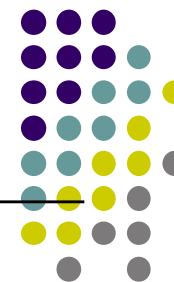
用 $\tau = -t$ 替换，可得 $X(-j\omega) = \int_{-\infty}^{\infty} x(-\tau)e^{-j\omega\tau} \cdot d\tau$

因为 $x(-\tau) = x(\tau)$ ，所以有 $X(-j\omega) = \int_{-\infty}^{\infty} x(\tau)e^{-j\omega\tau} d\tau = X(j\omega)$

又由 $X^*(j\omega) = X(-j\omega)$ 可得 $X(j\omega) = X^*(-j\omega)$

故有 $X^*(j\omega) = X(j\omega)$ ，所以 $X(j\omega)$ 只能是实值函数，

因此，当 $x(t)$ 为实且偶函数时，其频谱为实值偶函数。



3.5.4 共轭及共轭对称性

3. $x(t)$ 为实且奇函数

同样可以证明，此时， $x(t)$ 的频谱是纯虚且为奇函数。

4. 若一个实函数用其偶部和奇部表示，即

$$x(t) = x_e(t) + x_o(t)$$

$$\text{其中 } x_o(t) = \theta_d \{x(t)\} = \frac{x(t) - x(-t)}{2}$$

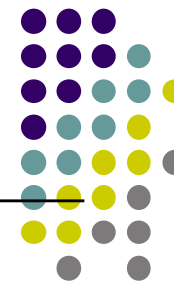
$$x_e(t) = \varepsilon_v \{x(t)\} = \frac{x(t) + x(-t)}{2}$$

根据傅里叶变换的线性，有

$$F\{x(t)\} = F\{x_e(t)\} + F\{x_o(t)\} = \text{Re}\{X(j\omega)\} + j\text{Im}\{X(j\omega)\}$$



3.5.4 共轭及共轭对称性



根据上面的讨论, $F\{x_e(t)\}$ 是一实值偶函数, $F\{x_o(t)\}$ 是一个纯虚数且为奇函数, 于是可得出以下结论。

$$x(t) \xleftrightarrow{F} X(j\omega) = X(j\omega) = \operatorname{Re}\{X(j\omega)\} + j \operatorname{Im}\{X(j\omega)\}$$

其中, $x(t)$ 为实值函数

$$\varepsilon_v\{x(t)\} \xleftrightarrow{F} \operatorname{Re}\{X(j\omega)\}$$

$$\theta_d\{x(t)\} \xleftrightarrow{F} j \operatorname{Im}\{X(j\omega)\}$$

上述结果, 完全适用于周期信号的傅里叶级数。



3.5.5 微分与积分



若 $x(t)$ 的傅里叶变换是 $X(j\omega)$ ，可得

$$\frac{dx(t)}{dt} = \frac{1}{2\pi} \int_{-\infty}^{\infty} j\omega X(j\omega) e^{j\omega t} \cdot d\omega$$

也就是
$$\frac{dx(t)}{dt} \xleftrightarrow{F} j\omega X(j\omega)$$

将微分性质进一步推广，有
$$\frac{d^n x(t)}{dt^n} \xleftrightarrow{F} (j\omega)^n X(j\omega)$$

时域内的积分有

$$\int_{-\infty}^t x(\tau) d\tau \xleftrightarrow{F} \frac{1}{j\omega} X(j\omega) + \pi X(0) \delta(\omega)$$



例3.6



【例3.6】 求单位阶跃信号 $x(t) = u(t)$ 的傅里叶变换。

我们已得到 $\delta(t) \xrightarrow{F} 1$

因为 $u(t) = \int_{-\infty}^t \delta(t) \cdot dt$

利用时域积分特性，有 $u(t) \xrightarrow{F} \frac{1}{j\omega} + \pi\delta(\omega)$

若 $j\omega Y(j\omega) = X(j\omega)$

则 $Y(j\omega) = \frac{X(j\omega)}{j\omega} + \pi X(0)\delta(\omega)$



例3.7

【例3.7】求三角脉冲的傅里叶变换。

三角脉冲信号的表达式

$$x(t) = \begin{cases} E(1 - \frac{2}{\tau}|t|), & |t| < \frac{\tau}{2} \\ 0, & \text{其它} \end{cases}$$

将 $x(t)$ 取一阶和二阶导数，得

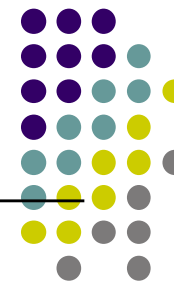
$$\frac{d^2 x(t)}{dt^2} = \frac{2E}{\tau} \left[\delta(t + \frac{\tau}{2}) + \delta(t - \frac{\tau}{2}) - 2\delta(t) \right]$$

令 $X(j\omega)$ 、 $X_1(j\omega)$ 和 $X_2(j\omega)$ 分别表示 $x(t)$ 及其一、二阶导数的傅里叶变换，则它们有以下关系

$$X_1(j\omega) = j\omega X(j\omega) \quad X_2(j\omega) = (j\omega)^2 X(j\omega)$$



例3.7



$$\begin{aligned} X_2(j\omega) &= \mathcal{F} \left\{ \frac{d^2 x(t)}{dt^2} \right\} = \frac{2E}{\tau} (e^{-j\omega \frac{\tau}{2}} + e^{j\omega \frac{\tau}{2}} - 2) \\ &= \frac{2E}{\tau} [2 \cos(\omega \frac{\tau}{2}) - 2] \\ &= -\frac{8E}{\tau} \sin^2(\frac{\omega\tau}{4}) \end{aligned}$$

因此，有 $(j\omega^2)X(j\omega) = -\frac{8E}{\tau} \sin^2(\frac{\omega\tau}{4})$

$$\text{所以 } (j\omega)X(j\omega) = -\frac{8E}{\tau} \frac{\sin^2(\frac{\omega\tau}{4})}{j\omega} + \pi X_2(0)\delta(\omega) = -\frac{8E}{\tau} \frac{\sin^2(\frac{\omega\tau}{4})}{j\omega} = X_1(j\omega)$$

$$\text{故可得 } X(j\omega) = \frac{E \cdot \tau}{2} \text{sinc}^2(\frac{\omega\tau}{4})$$



例3.7

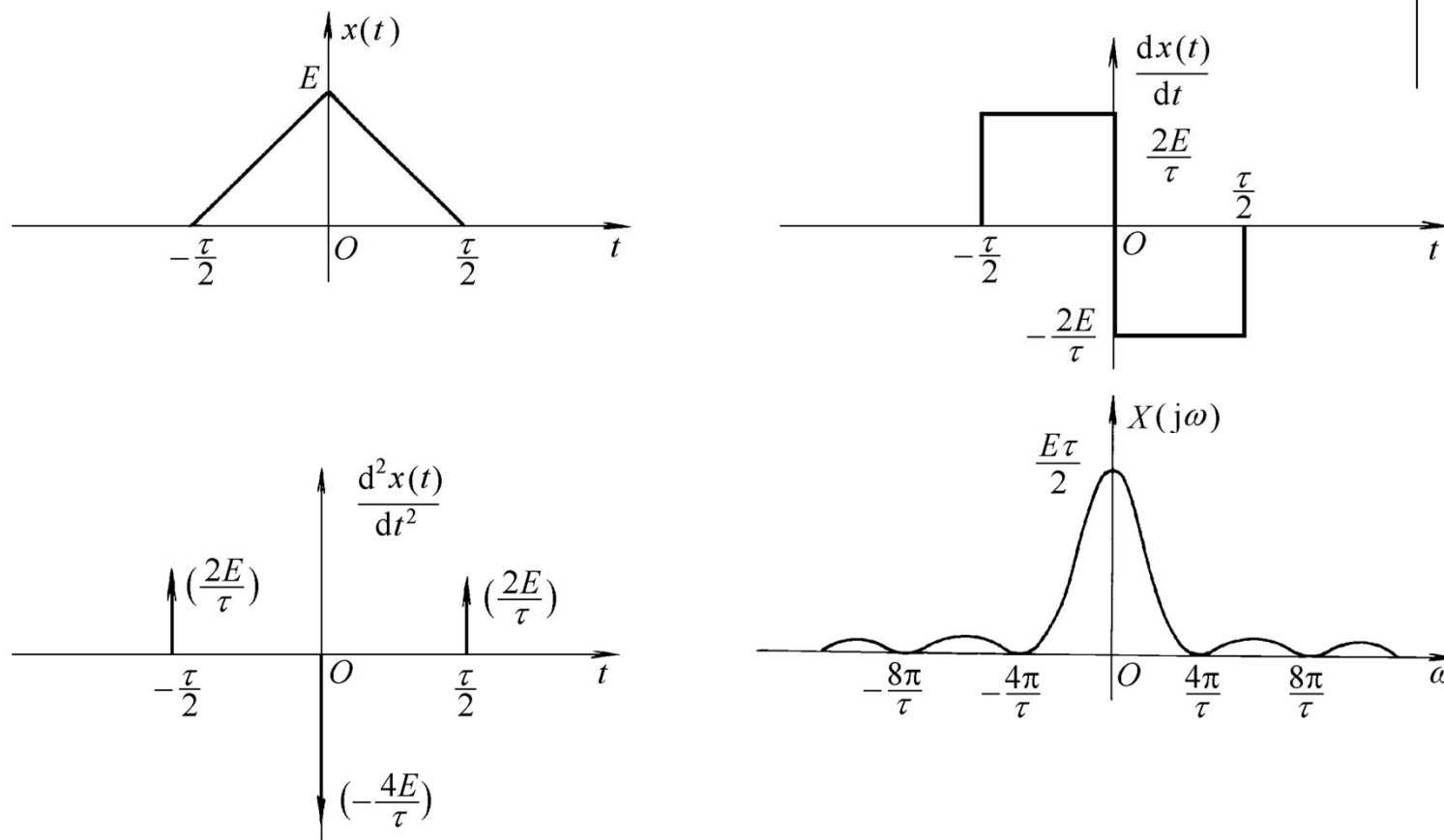
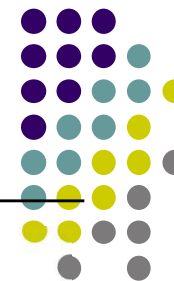
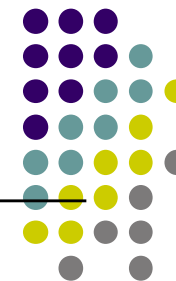


图3-21 三角脉冲信号的波形和频谱



例3.8



【例3.8】 求符号函数 $\text{sgn}(t)$ 的傅里叶变换

$$x(t) = \text{sgn}(t) = u(t) - u(-t)$$

单位阶跃信号可以表示为 $u(t) = \varepsilon_v\{u(t)\} + O_d\{u(t)\}$

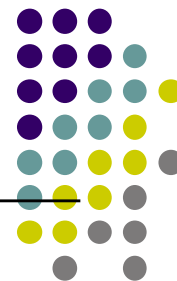
其中 $\varepsilon_v\{u(t)\} = \frac{u(t) + u(-t)}{2} = \frac{1}{2}$

$$O_d\{u(t)\} = \frac{u(t) - u(-t)}{2}$$

即 $O_d\{u(t)\} = \frac{1}{2} \text{sgn}(t)$



例3.8



已知

$$u(t) \xleftrightarrow{F} \frac{1}{j\omega} + \pi\delta(\omega)$$

根据实信号的共轭对称性， $u(t)$ 奇部的傅里叶变换应为其频谱的虚部，即

$$O_d\{u(t)\} \xleftrightarrow{F} \frac{1}{j\omega}$$

因此有

$$\text{sgn}(t) \xleftrightarrow{F} \frac{2}{j\omega}$$



例3.8

将符号函数的频谱表示为极坐标形式，有

$$X(j\omega) = |X(j\omega)| e^{j\theta(\omega)}$$

$$X(j\omega) = \frac{2}{|\omega|}$$

$$\theta(\omega) = \begin{cases} -\frac{\pi}{2}, & \omega > 0 \\ \frac{\pi}{2}, & \omega < 0 \end{cases}$$

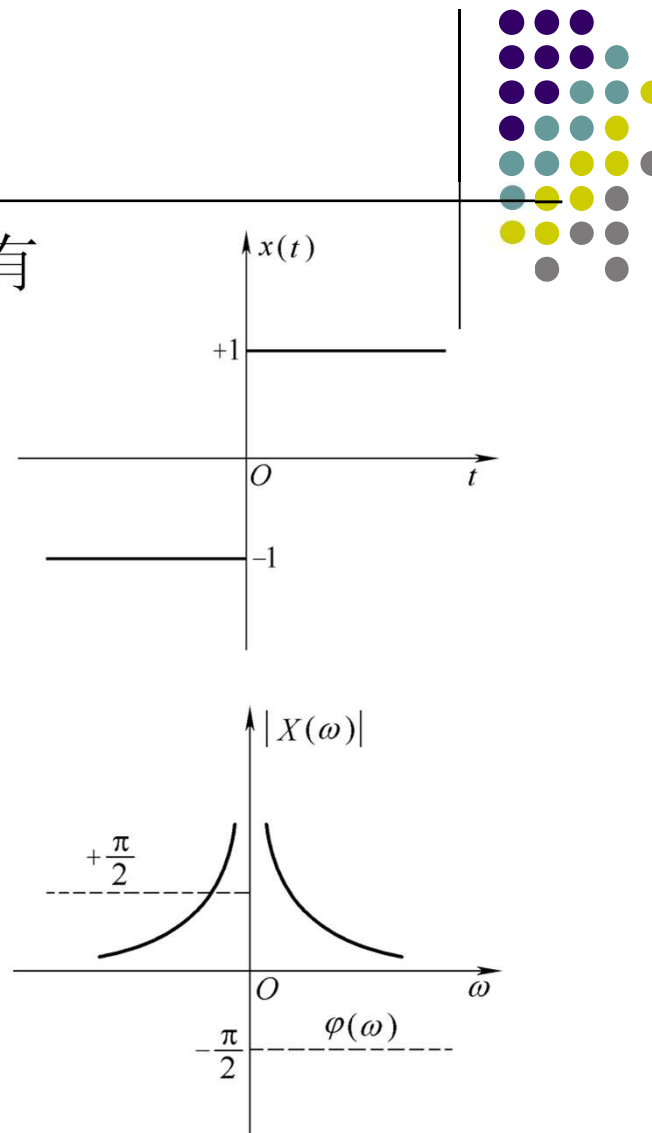


图3-22 符号函数波形和频谱



3.5.6 时间与频率的尺度变换



若 $x(t) \xleftrightarrow{F} X(j\omega)$

则 $x(at) \xleftrightarrow{F} \frac{1}{|a|} X\left(\frac{j\omega}{a}\right)$, 或 $\frac{1}{|a|} x\left(\frac{t}{a}\right) \xleftrightarrow{F} X(ja\omega)$

式中 a 是一个实常数。

该性质可以直接利用傅里叶变换公式得到, 即

$$x(at) \xleftrightarrow{F} \int_{-\infty}^{\infty} x(at) e^{-j\omega t} \cdot dt$$

置换 $\tau = at$, 可得

$$x(at) \xleftrightarrow{F} F \{x(at)\} = \begin{cases} \frac{1}{a} \int_{-\infty}^{+\infty} x(\tau) e^{-j(\omega/a)} \cdot d\tau, & a > 0 \\ -\frac{1}{a} \int_{-\infty}^{\infty} x(\tau) e^{-j(\omega/a)} d\tau, & a < 0 \end{cases}$$



3.5.6 时间与频率的尺度变换



上式中，由于 $a < 0$ 时， $-\frac{1}{a} > 0$ ，因此，上式可化简为

$$x(at) \xleftrightarrow{F} \frac{1}{|a|} \int_{-\infty}^{\infty} x(\tau) e^{-j\left(\frac{\omega}{a}\right)} \cdot d\tau = \frac{1}{|a|} X\left(j\frac{\omega}{a}\right)$$

一个特例：如 $a = -1$ ，则有

$$x(-t) \xleftrightarrow{F} X(-j\omega)$$



例3.9



【例3.9】 证明 $\delta(at) = \frac{1}{|a|} \delta(t)$, a 为实数

证明：因为 $\delta(t) \xleftrightarrow{F} 1$

所以，根据尺寸变换性质，有

$$\delta(at) \xleftrightarrow{F} \frac{1}{|a|} \quad |a| \delta(at) \xleftrightarrow{F} 1$$

因此，可得 $|a| \delta(at) = \delta(t)$

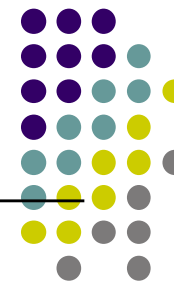
$$\text{即} \quad \delta(at) = \frac{1}{|a|} \delta(t)$$

当 $a = -1$ 时，根据以上所证明的结果，有 $\delta(-t) = \delta(t)$

也就是说 $\delta(t)$ 是偶函数。



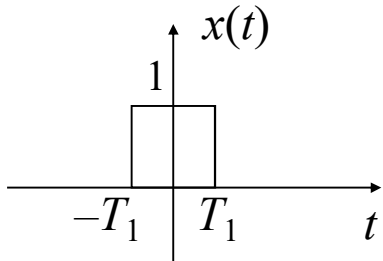
3.5.7 对偶性



比较傅里叶变换中的正变换和反变换关系

$$X(j\omega) = \int_{-\infty}^{\infty} x(t)e^{-j\omega t} dt \quad \text{和} \quad x(t) = \frac{1}{2\pi} \int_{-\infty}^{\infty} X(j\omega)e^{j\omega t} \cdot d\omega$$

1.


$$\xleftrightarrow{F} 2T_1 \frac{\sin \omega T_1}{\omega T_1} = 2T_1 \text{sa}(\omega T_1)$$

和

$$\frac{\sin \omega_c t}{\pi t} = \frac{\omega_c}{\pi} \text{sa}(\omega_c t) \xleftrightarrow{F} \text{Graph of a rectangular pulse } x(\omega) \text{ with height 1 and width } 2\omega_c, \text{ centered at } \omega=0.$$

2.

$$\delta(t) \xleftrightarrow{F} 1 \quad \text{和} \quad 1 \xleftrightarrow{F} 2\pi\delta(\omega)$$



3.5.7 对偶性



对偶性:

如果 $x(t) \xleftrightarrow{F} X(j\omega) = X(\omega)$

则 $X(t) \xleftrightarrow{F} 2\pi x(-\omega)$



3.5.7 对偶性



考查时域微分性质： $\frac{dx(t)}{dt} \xleftrightarrow{F} j\omega X(j\omega) = j\omega X(\omega)$

我们可以证明它存在着对偶性质，即频域微分性质

$$-jtx(t) \xleftrightarrow{F} \frac{dX(j\omega)}{d\omega}$$

证明：

因为 $x(t) \xleftrightarrow{F} X(j\omega) = X(\omega)$

根据对偶性，则有 $X(t) \xleftrightarrow{F} 2\pi x(-\omega)$

根据微分性质，有 $\frac{dX(t)}{dt} \xleftrightarrow{F} 2\pi \cdot j\omega \cdot x(-\omega)$



3.5.7 对偶性



再次运用对偶性，有 $2\pi jtx(-t) \xleftrightarrow{F} 2\pi \left. \frac{dX(\omega)}{d\omega} \right|_{\omega=-\omega}$

上式改写为 $-j(-t)x(-t) \xleftrightarrow{F} \left. \frac{dX(\omega)}{d\omega} \right|_{\omega=-\omega}$

利用尺度变换性质（取 $a = -1$ ，对左边时域信号进行反转操作），则有

$$-jtx(t) \xleftrightarrow{F} \left. \frac{dX(\omega)}{d\omega} \right|_{\omega=-(-\omega)} = \frac{dX(\omega)}{d\omega} = \frac{dX(j\omega)}{d\omega}$$

用同样方法，可以从时域积分性质推出频域积分性质

$$-\frac{1}{jt}x(t) + \pi x(0)\delta(t) \xleftrightarrow{F} \int_{-\infty}^{\omega} X(j\tau)d\tau$$



例3.10

【例3.10】求下面信号的傅里叶变换

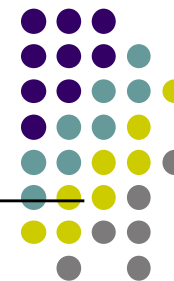
$$x(t) = \frac{2}{t^2 + 1}$$

我们已知双边指数信号的傅里叶变换为

$$e^{-a|t|} \xleftrightarrow{F} \frac{2a}{a^2 + \omega^2}$$

取 $a=1$ ，则有

$$\frac{2}{1+t^2} \xleftrightarrow{F} 2\pi e^{-|\omega|} = 2\pi e^{-|\omega|}$$





例3.11



【例3.11】求所给频谱的反变换 $X(j\omega) = \frac{1}{(a + j\omega)^2}$

已知指数信号傅里叶变换对 $e^{-at} \cdot u(t) \xleftrightarrow{F} \frac{1}{a + j\omega}$

利用频域微分性质，则有

$$-jte^{-at} \cdot u(t) \xleftrightarrow{F} \frac{d}{d\omega} \frac{1}{a + j\omega} = \frac{-j}{(a + j\omega)^2}$$

所以得： $te^{-at}u(t) \xleftrightarrow{F} \frac{1}{(a + j\omega)^2}$

因此， $X(j\omega)$ 的反变换为 $te^{-at} \cdot u(t)$ 。



例3.11

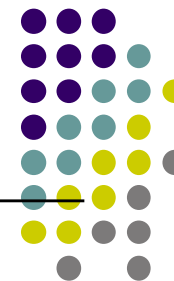


作为例3.11的推广，可得下面更一般关系

$$\frac{t^{n-1}}{(n-1)!} e^{-at} u(t) \xleftrightarrow{\text{F}} \frac{1}{(a + j\omega)^n}$$



3.5.8 帕斯瓦尔定理



帕斯瓦尔定理：

$$x(t) \xleftrightarrow{F} X(j\omega)$$

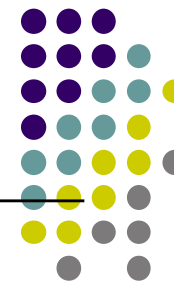
$$\int_{-\infty}^{\infty} |x(t)|^2 \cdot dt = \frac{1}{2\pi} \int_{-\infty}^{\infty} |X(j\omega)|^2 d\omega$$

证明如下：

$$\begin{aligned} \int_{-\infty}^{\infty} |x(t)|^2 dt &= \int_{-\infty}^{\infty} x(t)x^*(t)dt \\ &= \frac{1}{2\pi} \int_{-\infty}^{\infty} x(t) \left[\int_{-\infty}^{\infty} X^*(j\omega)e^{-j\omega t} d\omega \right] \cdot dt \end{aligned}$$



3.5.8 帕斯瓦尔定理



变换右边的积分次序有

$$\begin{aligned}\int_{-\infty}^{\infty} |x(t)|^2 \cdot dt &= \frac{1}{2\pi} \int_{-\infty}^{\infty} X^*(j\omega) \left[\int_{-\infty}^{\infty} x(t) e^{-j\omega t} \cdot dt \right] \cdot d\omega \\ &= \frac{1}{2\pi} \int_{-\infty}^{\infty} X^*(j\omega) X(j\omega) d\omega \\ &= \frac{1}{2\pi} \int_{-\infty}^{\infty} |X(j\omega)|^2 \cdot d\omega\end{aligned}$$

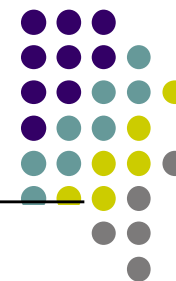
周期信号的帕斯瓦尔定理为

$$\frac{1}{T_0} \int_{T_0} |x(t)|^2 dt = \sum_{k=-\infty}^{\infty} |a_k|^2$$

式中， T_0 是信号的基波周期， a_k 是其傅里叶级数系数。



MATLAB: 指数信号的能量密度谱



% 利用 Matlab 符号处理功能，求指数信号的能量密度谱

```
x=sym('(exp(-1*t)-2*exp(-2*t))*Heaviside(t)'); % 定义指数信号
```

```
X=fourier(x); % 求傅立叶变换
```

```
X_conj=subs(X,'i',' -i'); % 取傅立叶变换共轭
```

```
G=X*X_conj; % 计算能量密度谱
```

```
ezplot(G);
```

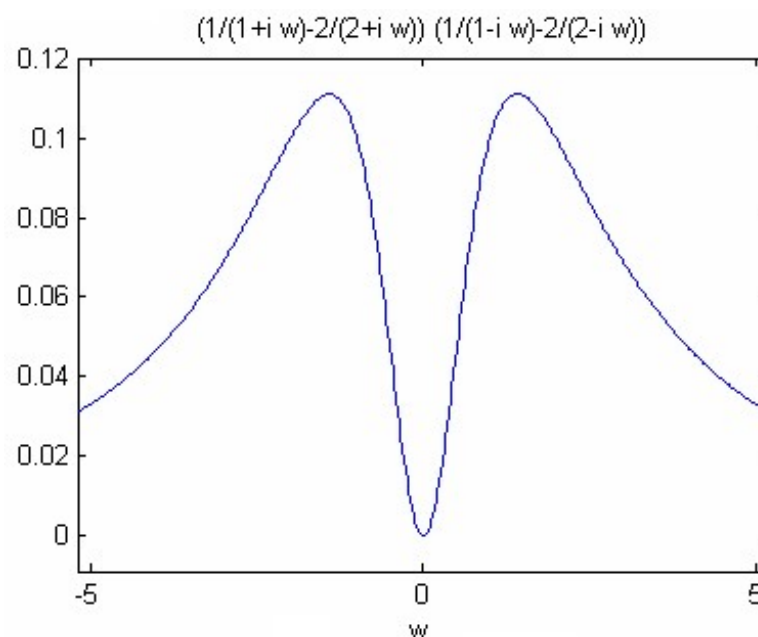


图3-23 两相加指数信号的能量密度谱



3.5.9 时域卷积性质



时域卷积性质：

若 $x(t) \xleftrightarrow{F} X(j\omega)$ 和 $h(t) \xleftrightarrow{F} H(j\omega)$

则 $x(t) * h(t) \xleftrightarrow{F} X(j\omega)H(j\omega)$

证明：

$$x(t) = \frac{1}{2\pi} \int_{-\infty}^{\infty} X(j\omega) e^{j\omega t} \cdot d\omega = \lim_{\omega_0 \rightarrow 0} \frac{1}{2\pi} \sum_{k=-\infty}^{\infty} X(jk\omega_0) e^{jk\omega_0 t} \cdot \omega_0$$

$$H(j\omega) = \int_{-\infty}^{\infty} h(t) e^{-j\omega t} \cdot dt$$



3.5.9 时域卷积性质



利用LTI系统的叠加性，系统对 $x(t)$ 的响应可表示为

$$x(t) = \lim_{\omega_0 \rightarrow 0} \frac{1}{2\pi} \sum_{k=-\infty}^{\infty} X(jk\omega_0) e^{jk\omega_0 t} \omega_0 \rightarrow \lim_{\omega_0 \rightarrow 0} \frac{1}{2\pi} \sum_{k=-\infty}^{\infty} X(jk\omega_0) H(jk\omega_0) e^{jk\omega_0 t} \omega_0$$

因此，该系统对 $x(t)$ 的响应就可表示为

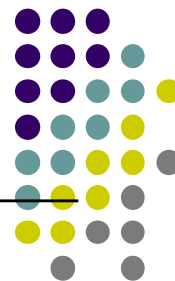
$$\begin{aligned} y(t) &= \lim_{\omega_0 \rightarrow 0} \frac{1}{2\pi} \sum_{k=-\infty}^{\infty} X(jk\omega_0) H(jk\omega_0) e^{jk\omega_0 t} \cdot \omega_0 \\ &= \frac{1}{2\pi} \int_{-\infty}^{\infty} X(j\omega) H(j\omega) e^{j\omega t} \cdot d\omega \end{aligned}$$

该式为 $y(t)$ 的傅里叶反变换，因此有

$$y(t) = x(t) * h(t) \xleftrightarrow{F} X(j\omega) H(j\omega)$$



3.5.9 时域卷积性质



由于两周期信号的卷积是无穷大的，因此，傅里叶级数的卷积性质在形式上稍有不同。

设两周期都 T 的周期信号 $x(t)$ 和 $y(t)$ ，有：

$$\text{若 } x(t) \xleftrightarrow{\text{FS}} a_k \quad \text{和} \quad y(t) \xleftrightarrow{\text{FS}} b_k$$

$$\text{则 } \int_T x(\tau)y(t-\tau) \cdot d\tau \xleftrightarrow{\text{FS}} Ta_k b_k$$



3.5.10 调制性质（频域卷积）



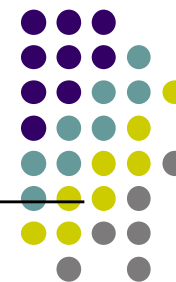
调制性质：

$$\text{若} \quad x_1(t) \xleftrightarrow{F} X_1(j\omega) \quad x_2(t) \xleftrightarrow{F} X_2(j\omega)$$

$$\text{则} \quad x_1(t)x_2(t) \xleftrightarrow{F} \frac{1}{2\pi} X_1(j\omega) * X_2(j\omega)$$



3.5.10 调制性质（频域卷积）



调制性质表明：时域上的相乘对应于频域上的卷积。

可以利用傅里叶变换的对偶性，直接从卷积性质推出调制性质。

根据对偶性，有 $X_1(jt) \xleftrightarrow{F} 2\pi x_1(-\omega)$ $X_2(jt) \xleftrightarrow{F} 2\pi x_2(-\omega)$

利用卷积性质，可得到 $X_1(jt) * X_2(jt) \xleftrightarrow{F} 4\pi^2 x_1(-\omega) x_2(-\omega)$

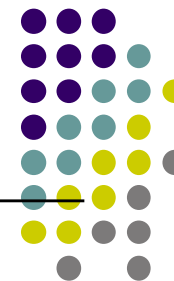
再次利用对偶性，有 $4\pi^2 x_1(-t) x_2(-t) \xleftrightarrow{F} 2\pi X_1(-j\omega) * X_2(-j\omega)$

由于 $x(-t) \xleftrightarrow{F} X(-j\omega)$ ，从上式我们可得到

$$x_1(t)x_2(t) \xleftrightarrow{F} \frac{1}{2\pi} X_1(j\omega) * X_2(j\omega)$$



3.5.10 调制性质（频域卷积）



将该性质直接用于周期信号的傅里叶变换，可得傅里叶级数的调制特性。

$$\text{若 } x(t) \xleftrightarrow{\text{FS}} a_k \quad \text{和} \quad y(t) \xleftrightarrow{\text{FS}} b_k$$

$$\text{则 } x(t) \cdot y(t) \xleftrightarrow{\text{FS}} \sum_{l=-\infty}^{\infty} a_l b_{k-l}$$

式中 $x(t)$ 和 $y(t)$ 为同一周期。如将它们的系数 a_k 和 b_k 看作是离

散信号，则 $\sum_{l=-\infty}^{\infty} a_l b_{k-l}$ 就是 a_k 和 b_k 的卷积和。



§ 3.0 引言

§ 3.1 连续时间LTI系统的特征函数

§ 3.2 连续时间傅里叶级数

§ 3.3 连续时间傅里叶变换

§ 3.4 连续时间周期信号的傅里叶变换

§ 3.5 连续时间傅里叶变换的性质

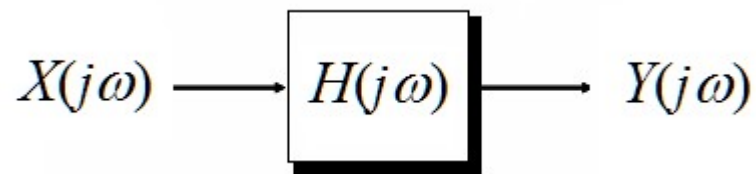
§ 3.6 连续时间LTI系统的频域分析



3.6.1 连续时间LTI系统的频率响应



根据卷积性质，一个冲激响应为 $h(t)$ 的LTI系统可表示为



其中 $H(j\omega)$:

$$h(t) \xleftrightarrow{\text{F}} H(j\omega)$$

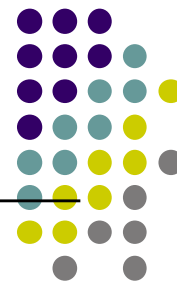
称为LTI系统频率响应，显然它也是特征函数 $e^{j\omega t}$ 的特征值。

根据卷积性质，输出信号的频谱 $Y(j\omega)$ 满足以下关系

$$Y(j\omega) = X(j\omega) \cdot H(j\omega)$$



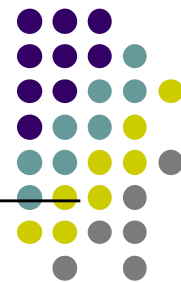
3.6.1 连续时间LTI系统的频率响应



LTI系统的频率响应另一种定义可表示为

$$H(j\omega) = \frac{Y(j\omega)}{X(j\omega)}$$

在LTI系统分析中，与 $h(t)$ 一样，频率响应 $H(j\omega)$ 可以完全表征它所对应的LTI系统，LTI系统的很多性质也能够很方便地借助于 $H(j\omega)$ 来反映。



3.6.1 连续时间LTI系统的频率响应

级联系统总的频率响应为各单个子系统频率响应的乘积，总的频率响应与各子系统的级联顺序无关。

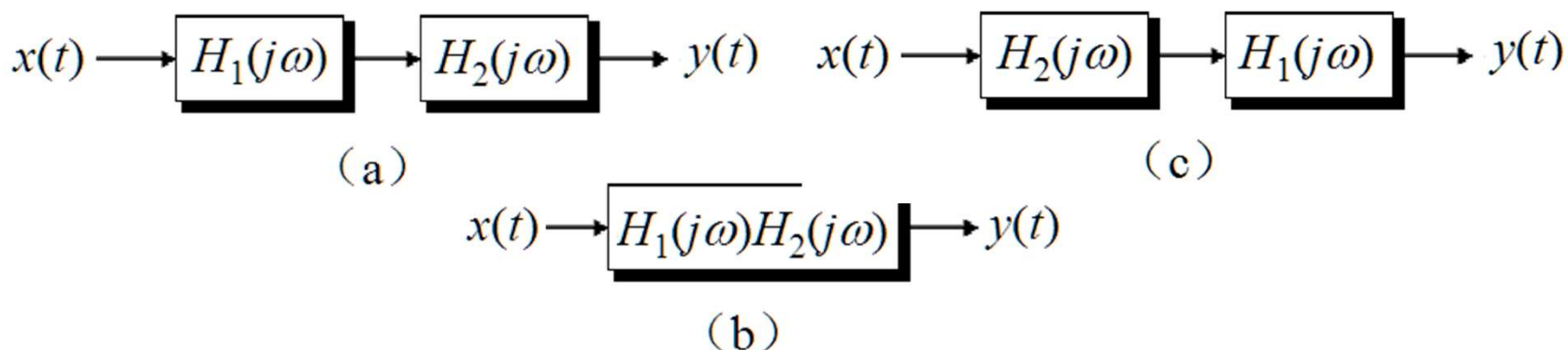


图3-21 三种相等的系统

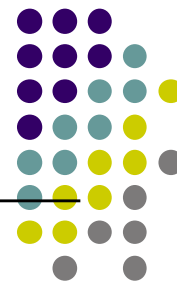
$$W(j\omega) = X(j\omega)H_1(j\omega)$$

$$Y(j\omega) = W(j\omega)H_2(j\omega)$$

$$= X(j\omega)(H_1(j\omega)H_2(j\omega)) = (X(j\omega)H_2(j\omega))H_1(j\omega)$$



3.6.1 连续时间LTI系统的频率响应



- 通常将系统频率响应表示为极坐标形式:

$$H(j\omega) = |H(j\omega)| e^{j\theta(\omega)}$$

其中 $|H(j\omega)|$ 称为系统的幅频特性, 它表征了系统对输入信号的放大特性; $\theta(\omega)$ 称为系统的相频特性, 它表征了系统对输入信号的延时特性。

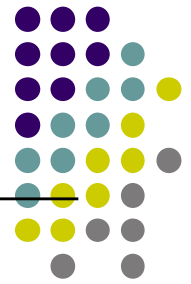
- 利用傅里叶变换方法分析LTI系统时, 仅局限于系统的冲激响应存在傅里叶变换的情况:

$$\int_{-\infty}^{\infty} |h(t)| dt < \infty$$

一般说来, LTI系统的频域分析法适用于稳定系统。已知LTI系统的频率响应, 可以借助卷积性质, 在频域上求解对任何输入信号的零状态响应。



例3.12



【例3.12】 试求微分器的频率响应 $H(j\omega)$

描述微分器的方程为 $y(t) = \frac{dx(t)}{dt}$

根据微分性质，有 $Y(j\omega) = j\omega X(j\omega)$

微分器的频率响应： $H(j\omega) = \frac{Y(j\omega)}{X(j\omega)} = j\omega$

微分器的冲激响应是 $h(t) = \delta'(t)$



例3.13



【例3.13】 试求积分器的频率响应 $H(j\omega)$

积分器由下列方程给出

$$y(t) = \int_{-\infty}^t x(\tau) \cdot d\tau$$

$$y(t) = x(t) * u(t)$$

积分器的冲激响应 $h(t) = u(t)$

因此，积分器的频率响应就是

$$H(j\omega) = \frac{1}{j\omega} + \pi\delta(\omega)$$



例3.14



【例3.14】考查一延时系统：

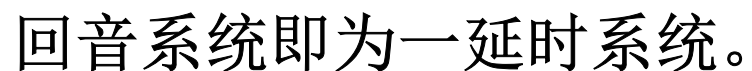
$$y(t) = x(t - t_0), \quad t_0 \text{ 为实常数}$$

若 $x(t) \xleftrightarrow{F} X(j\omega)$

则 $y(t) \xleftrightarrow{F} e^{-j\omega t_0} X(j\omega)$

因此，延时器的频率响应：
$$H(j\omega) = \frac{Y(j\omega)}{X(j\omega)} = e^{-j\omega t_0}$$

延时器的冲激响应为 $h(t) = \delta(t - t_0)$

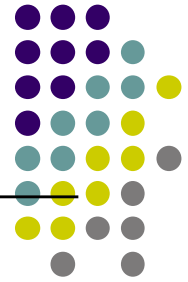


发送信号: $x(t)$

接受到的回波信号： $y(t) = x(t) + \underset{\substack{\nearrow \\ \text{回音}}}{a \cdot x(t - t_0)}$



MATLAB: 系统的频率响应



```
% 有理函数频率响应的计算  $H(j\omega) = \frac{j\omega+2}{(j\omega)^2+4j\omega+3}$   
w=linspace(-10,10,256);  
b=[1 2];a=[1 4 3];  
H=freqs(b,a,w);    % freqs()用于计算系统的频率响应  
subplot(2,1,1);plot(w,abs(H));  
ylabel('幅频|H(j\omega)|');  
subplot(2,1,2);plot(w,angle(H));  
xlabel('\omega(rad/s)');ylabel('相频 phi(j\omega)');
```



MATLAB: 系统的频率响应

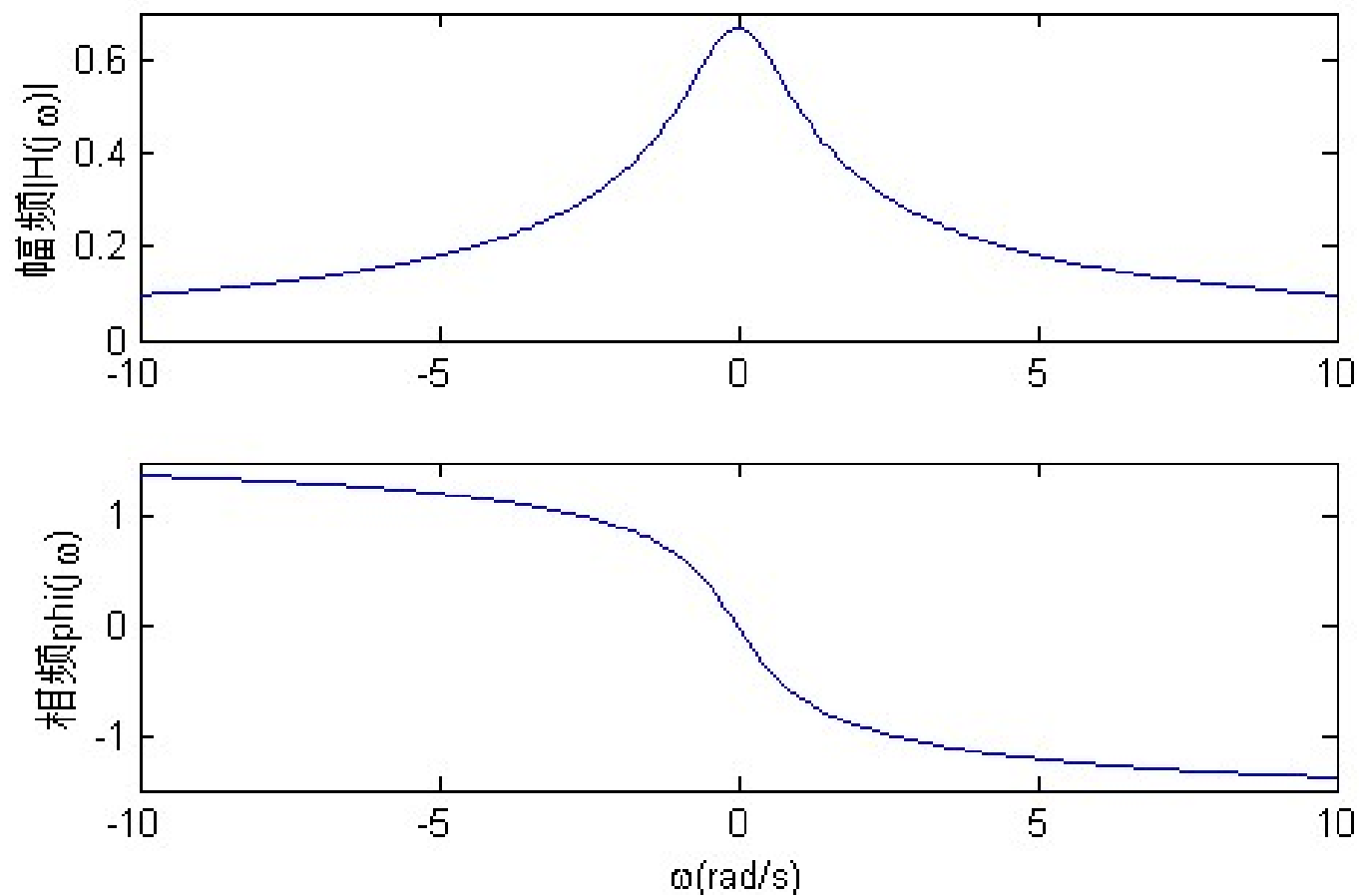
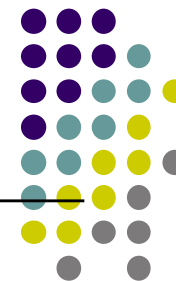
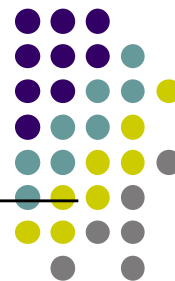


图3-25 系统频率响应的幅频特性和相频特性



3.6.2 零状态响应的频域求解

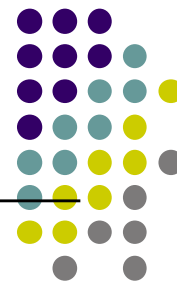


可以利用傅里叶变换的卷积性质求解LTI系统的零状态响应。

- 一般思路：通过卷积性质求得输出信号的频谱，然后对该频谱作反变换求得其时域表达式。



例3.15



【例3.15】 某一因果LTI系统的冲激响应为

$$h(t) = e^{-at}u(t) \quad a > 0$$

该系统的输入为 $x(t) = e^{-bt}u(t) \quad b > 0$

可求得系统的频率响应为 $H(j\omega) = \frac{1}{a + j\omega}$

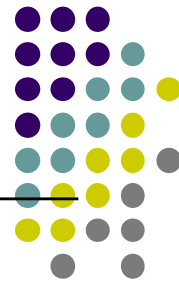
和输入信号的傅里叶变换 $X(j\omega) = \frac{1}{b + j\omega}$

由卷积性质可得输出信号 $y(t)$ (零状态响应) 的傅里叶变换为

$$Y(j\omega) = X(j\omega)H(j\omega) = \frac{1}{(a + j\omega)(b + j\omega)}$$



例3.15



(1) $a \neq b$ 时, $Y(j\omega)$ 的部分分式展开为 (将 $j\omega$ 看作为一变量)

$$Y(j\omega) = \frac{A}{a + j\omega} + \frac{B}{b + j\omega}$$

$$A = Y(j\omega)(a + j\omega) \Big|_{j\omega = -a} = \frac{1}{b - a}$$

$$B = Y(j\omega)(b + j\omega) \Big|_{j\omega = -b} = \frac{-1}{b - a}$$

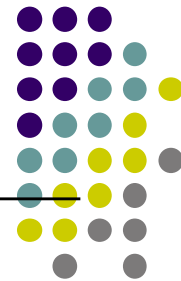
因此

$$Y(j\omega) = \frac{1}{b - a} \left[\frac{1}{a + j\omega} - \frac{1}{b + j\omega} \right]$$

$$y(t) = \frac{1}{b - a} [e^{-at} - e^{-bt}] u(t)$$



例3.15



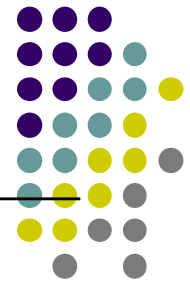
(2) $a = b$ 时

$$Y(j\omega) = \frac{1}{(a + j\omega)^2}$$

可得 $y(t)$ 为 $y(t) = te^{-at} \cdot u(t)$



例3.16



【例3.16】已知某一因果LTI系统对输入信号 $x(t) = e^{-2t}u(t)$ 的零状响应为

$$y(t) = \frac{1}{2}(e^{-t} - e^{-3t})u(t)$$

问该系统的频率响应 $H(j\omega)$ 和 $h(t)$ 。

$$X(j\omega) = \frac{1}{2 + j\omega}$$

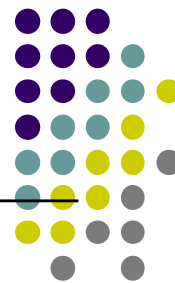
$$Y(j\omega) = \frac{1}{2} \left(\frac{1}{1 + j\omega} - \frac{1}{3 + j\omega} \right) = \frac{1}{(1 + j\omega)(3 + j\omega)}$$

频率响应 $H(j\omega)$ 为

$$H(j\omega) = \frac{Y(j\omega)}{X(j\omega)} = \frac{2 + j\omega}{(1 + j\omega)(3 + j\omega)}$$



例3.16



将上式展开为部分分式

$$H(j\omega) = \frac{A}{1+j\omega} + \frac{B}{3+j\omega}$$

$$A = H(j\omega)(1+j\omega)\big|_{j\omega=-1} = \frac{1}{2}$$

$$B = H(j\omega)(3+j\omega)\big|_{j\omega=-3} = \frac{1}{2}$$

因此，系统的冲激响应为 $h(t) = \frac{1}{2}(e^{-t} + e^{-3t})u(t)$



3.6.3 用线性常系数微分方程表征的LTI系统



线性常系数微分方程

$$\sum_{k=0}^N a_k \frac{d^k y(t)}{dt^k} = \sum_{k=0}^M b_k \frac{d^k x(t)}{dt^k}$$

两边求傅里叶变换

$$F\left\{\sum_{k=0}^N a_k \frac{d^k y(t)}{dt^k}\right\} = F\left\{\sum_{k=0}^M b_k \frac{d^k x(t)}{dt^k}\right\}$$

根据傅里叶变换线性性质，上式变为

$$\sum_{k=0}^N a_k F\left\{\frac{d^k y(t)}{dt^k}\right\} = \sum_{k=0}^M b_k F\left\{\frac{d^k x(t)}{dt^k}\right\}$$



3.6.3 用线性常系数微分方程表征的LTI系统



由微分性质 $\frac{d^k x(t)}{dt^k} \xleftrightarrow{F} (j\omega)^k X(j\omega)$

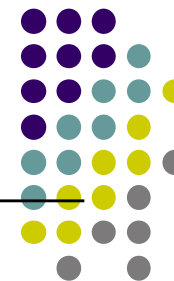
可得 $\sum_{k=0}^N a_k (j\omega)^k Y(j\omega) = \sum_{k=0}^M b_k (j\omega)^k X(j\omega)$

即 $Y(j\omega) \left[\sum_{k=0}^N a_k (j\omega)^k \right] = X(j\omega) \left[\sum_{k=0}^M b_k (j\omega)^k \right]$

因此，系统的频率响应为 $H(j\omega) = \frac{Y(j\omega)}{X(j\omega)} = \frac{\sum_{k=0}^M b_k (j\omega)^k}{\sum_{k=0}^N a_k (j\omega)^k}$



例3.17



【例3.17】 某一因果LTI系统

$$\frac{d^2 y(t)}{dt^2} + 3 \frac{dy(t)}{dt} + 2y(t) = 2 \frac{dx(t)}{dt} + x(t)$$

可直接写出该系统的频率响应

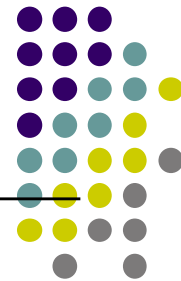
$$H(j\omega) = \frac{2j\omega + 1}{(j\omega)^2 + 3j\omega + 2}$$

将 $H(j\omega)$ 展开为部分分式:

$$H(j\omega) = \frac{2j\omega + 1}{(j\omega)^2 + 3j\omega + 2} = \frac{A}{1 + j\omega} + \frac{B}{2 + j\omega}$$



例3.17



解得

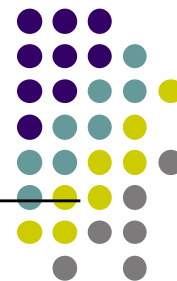
$$A = H(j\omega) \cdot (1 + j\omega) \Big|_{j\omega=-1} = -1$$

$$B = H(j\omega)(2 + j\omega) \Big|_{j\omega=-2} = 3$$

求得冲激响应为 $h(t) = (e^{-t} + 3e^{-2t})u(t)$



例3.18



【例3.18】 已知某一因果LTI系统

$$\frac{d^2 y(t)}{dt^2} + 4 \frac{dy(t)}{dt} + 3y(t) = \frac{dx(t)}{dt} + 2x(t)$$

和输入信号 $x(t) = e^{-t}u(t)$ ，且系统初始静止。

$$H(j\omega) = \frac{j\omega + 2}{(j\omega)^2 + 4j\omega + 3} \quad X(j\omega) = \frac{1}{1 + j\omega}$$

输出信号 $y(t)$ 的频谱为

$$\begin{aligned} Y(j\omega) &= X(j\omega)H(j\omega) = \left[\frac{j\omega + 2}{(j\omega)^2 + 4j\omega + 3} \right] \left[\frac{1}{j\omega + 1} \right] \\ &= \frac{j\omega + 2}{(j\omega + 1)^2 (j\omega + 3)} \end{aligned}$$



例3.18



其部分分式展开式为

$$Y(j\omega) = \frac{A_{11}}{j\omega + 1} + \frac{A_{12}}{(j\omega + 1)^2} + \frac{A_{21}}{j\omega + 3}$$

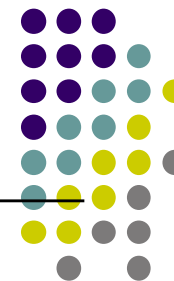
$$A_{11} = \frac{d}{d(j\omega)} \left(Y(j\omega)(j\omega + 1)^2 \right) \Big|_{j\omega = -1} = \frac{1}{4}$$

$$A_{12} = Y(j\omega)(j\omega + 1)^2 \Big|_{j\omega = -1} = \frac{1}{2}$$

$$A_{21} = Y(j\omega)(j\omega + 3) \Big|_{j\omega = -3} = -\frac{1}{4}$$



例3.18



于是

$$Y(j\omega) = \frac{\frac{1}{4}}{j\omega + 1} + \frac{\frac{1}{2}}{(j\omega + 1)^2} - \frac{\frac{1}{4}}{j\omega + 3}$$

上式的反变换为

$$y(t) = \left[\frac{1}{4}e^{-t} + \frac{1}{2}te^{-t} - \frac{1}{4}e^{-3t} \right] u(t)$$



3.6.4 周期信号激励下的系统响应

假设某稳定的LTI系统的频率响应为 $H(j\omega)$ 。
输入信号 $x(t)$ 为一周期信号，其傅里叶级数展开式为

$$x(t) = \sum_{k=-\infty}^{\infty} a_k e^{jk\omega_0 t} \quad \omega_0 = \frac{2\pi}{T_0}$$

系统对该周期信号的响应为

$$y(t) = \sum_{k=-\infty}^{\infty} a_k H(jk\omega_0) e^{jk\omega_0 t}$$

输出 $y(t)$ 也为相同的基波周期的周期信号，其傅里叶级数系数

$$b_k = a_k H(jk\omega_0)$$



3.6.4 周期信号激励下的系统响应



在工程中应用较多的是三角函数形式的傅里叶级数形式

$$x(t) = B_0 + \sum_{k=1}^{\infty} (B_k \cos k\omega_0 t + C_k \sin k\omega_0 t)$$

只要求得系统对 $\sin \omega t$ 和 $\cos \omega t$ 的响应特性，就可求得系统对一般周期信号的响应。



3.6.4 周期信号激励下的系统响应



- LTI系统对 $\cos \omega_0 t$ 的响应

假设LTI系统的冲激响应 $h(t)$ 是实函数。根据共轭对称性，有

$$H(j\omega) = |H(j\omega)| e^{j\theta(\omega)} \quad |H(-j\omega)| = |H(j\omega)| \quad \theta(\omega) = -\theta(-\omega)$$

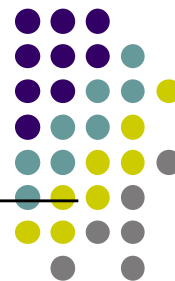
因为 $x(t) = \cos \omega_0 t \xrightarrow{F} \pi(\delta(\omega - \omega_0) + \delta(\omega + \omega_0))$

因此，输出 $y(t)$ 的傅里叶变换

$$\begin{aligned} Y(j\omega) &= H(j\omega) \cdot \pi(\delta(\omega - \omega_0) + \delta(\omega + \omega_0)) \\ &= \pi(H(j\omega_0)\delta(\omega - \omega_0) + H(-j\omega_0)\delta(\omega + \omega_0)) \\ &= \pi(|H(j\omega_0)| e^{j\theta(\omega_0)} \cdot \delta(\omega - \omega_0) + |H(-j\omega_0)| e^{j\theta(-\omega_0)} \cdot \delta(\omega + \omega_0)) \\ &= \pi |H(j\omega_0)| (e^{j\theta(\omega_0)} \cdot \delta(\omega - \omega_0) + e^{-j\theta(\omega_0)} \cdot \delta(\omega + \omega_0)) \end{aligned}$$



3.6.4 周期信号激励下的系统响应



上式的反变换为

$$y(t) = |H(j\omega_0)| \cos(\omega_0 t + \theta(\omega_0))$$

同理，对 $x(t) = \sin \omega_0 t$ 的响应是

$$y(t) = |H(j\omega_0)| \sin(\omega_0 t + \theta(\omega_0))$$

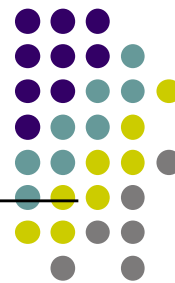
上述结果进一步推广为

$$A \cos(\omega_0 t + \theta_0) \rightarrow A |H(j\omega_0)| \cos(\omega_0 t + \theta_0 + \theta(\omega_0))$$

$$A \sin(\omega_0 t + \theta_0) \rightarrow A |H(j\omega_0)| \sin(\omega_0 t + \theta_0 + \theta(\omega_0))$$



3.6.4 周期信号激励下的系统响应



我们可求得，LTI系统对

$$x(t) = B_0 + \sum_{k=1}^{\infty} (B_k \cos k\omega_0 t + C_k \sin k\omega_0 t)$$

的响应为

$$\begin{aligned} y(t) &= B_0 |H(0)| + \sum_{k=1}^{\infty} [B_k |H(jk\omega_0)| \cos(k\omega_0 t + \theta(k\omega_0)) \\ &\quad + C_k |H(jk\omega_0)| \sin(k\omega_0 t + \theta(k\omega_0))] \\ &= B_0 |H(0)| + \sum_{k=1}^{\infty} D_k |H(jk\omega_0)| \cos(k\omega_0 t + \theta_k + \theta(k\omega_0)) \end{aligned}$$



3.6.5 电路系统的频域求解



在频域上定义复阻抗 $R(j\omega) = \frac{U(j\omega)}{I(j\omega)}$

电阻 $u_R(t) = Ri_R(t) \longleftrightarrow U_R(j\omega) = RI_R(j\omega)$

电容 $u_C(t) = \frac{1}{C} \int_{-\infty}^t i_C(t) dt \longleftrightarrow U_C(j\omega) = \frac{1}{C} [\frac{1}{j\omega} + \pi\delta(\omega)] I_C(j\omega) = \frac{1}{j\omega C} I_C(j\omega)$

电感 $u_L(t) = L \frac{di_L(t)}{dt} \longleftrightarrow U_L(j\omega) = j\omega LI_L(j\omega)$

复阻抗分别为:

电阻 $R(j\omega) = R$ 电容 $R(j\omega) = \frac{1}{j\omega C}$ 电感 $R(j\omega) = j\omega L$



例3.19



【例3.19】 如图所示的RC低通网络， $\frac{1}{RC} = 2$ ，其输入端的信号为单位阶跃信号， $x(t) = u(t)$ 。用傅里叶分析法求该电路的输出信号 $v_c(t)$ 。

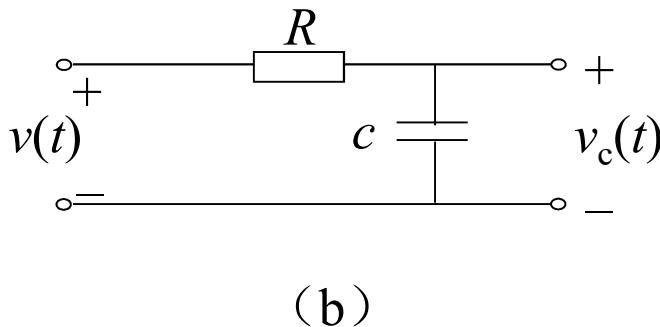
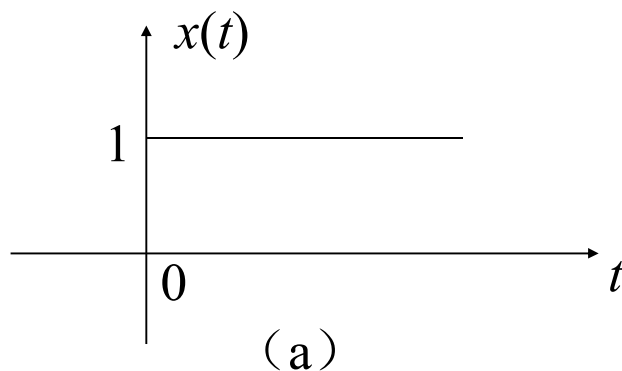
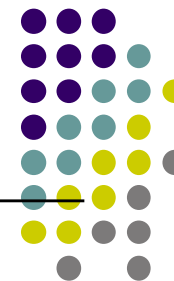


图3-26 例3-19的图



例3.19



如图所示，输出 $v_C(t)$ 的傅里叶变换为

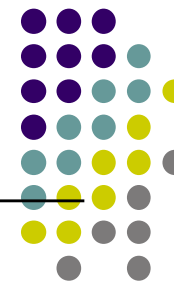
$$V_C(j\omega) = \frac{1}{\frac{j\omega C}{1} + R} X(j\omega)$$

所以，系统的频率响应 $H(j\omega)$ 为

$$H(j\omega) = \frac{V_C(j\omega)}{X(j\omega)} = \frac{\frac{1}{j\omega C}}{\frac{1}{j\omega C} + R} = \frac{1}{1 + j\omega CR} = \frac{\frac{1}{RC}}{\frac{1}{RC} + j\omega} = \frac{2}{2 + j\omega}, \quad \frac{1}{RC} = 2$$



例3.19



输入信号 $x(t)$ 的傅里叶变换为

$$x(t) = u(t) \xleftrightarrow{F} \frac{1}{j\omega} + \pi\delta(\omega)$$

因此，可得

$$\begin{aligned} V_C(j\omega) &= \frac{2}{2+j\omega} \left[\frac{1}{j\omega} + \pi\delta(\omega) \right] = \frac{2}{(2+j\omega)j\omega} + \frac{2}{2+j\omega} \pi\delta(\omega) \\ &= \frac{2}{(2+j\omega)j\omega} + \pi\delta(\omega) = \frac{1}{j\omega} - \frac{1}{2+j\omega} + \pi\delta(\omega) \\ &= \left[\frac{1}{j\omega} + \pi\delta(\omega) \right] - \frac{1}{2+j\omega} \end{aligned}$$



例3.19



求上式的傅里叶反变换，可得

$$v_C(t) = (1 - e^{-2t})u(t)$$

当输入信号 $x(t)$ 为矩形脉冲时，由于输入信号可以表示为移位阶跃信号的线性组合，即

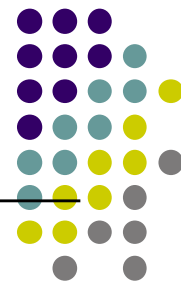
$$x(t) = E[u(t) - u(t - T)]$$

因此，根据LTI系统的叠加性和时不变性原理，可求得输出信号 $y(t)$ 为：

$$y(t) = E(1 - e^{-2t})u(t) - E[1 - e^{-2(t-T)}]u(t - T)$$



MATLAB: 计算对矩形脉冲的响应



```
% 按式 (3.143) 计算 RC 低通网络对矩形脉冲响应的程序
T=3;                                %设置信号时宽
E=1.0;                              %设置信号幅度
t=linspace(-2,3*T,512);             %设置时域变量取值范围
x=E*0.5*((sign(t+eps)+1.)-(sign(t+eps-T)+1.0)); % [0,T] 矩形脉冲
y1=E*(1.0-exp(-2*t)).*(0.5*(sign(t+eps)+1.0));
y2=E*(1.0-exp(-2*(t-T))).*(0.5*(sign(t-T+eps)+1.0));
y=y1-y2;                            %按式 (3.143) 计算输出信号
subplot(1,2,1);plot(t,x);ylabel('x(t)');axis([-2 3*T -0.25 1.25]); xlabel('t');
subplot(1,2,2);plot(t,y);ylabel('y(t)');axis([-2 3*T -0.25 1.25]); xlabel('t');
```



MATLAB: 计算对矩形脉冲的响应

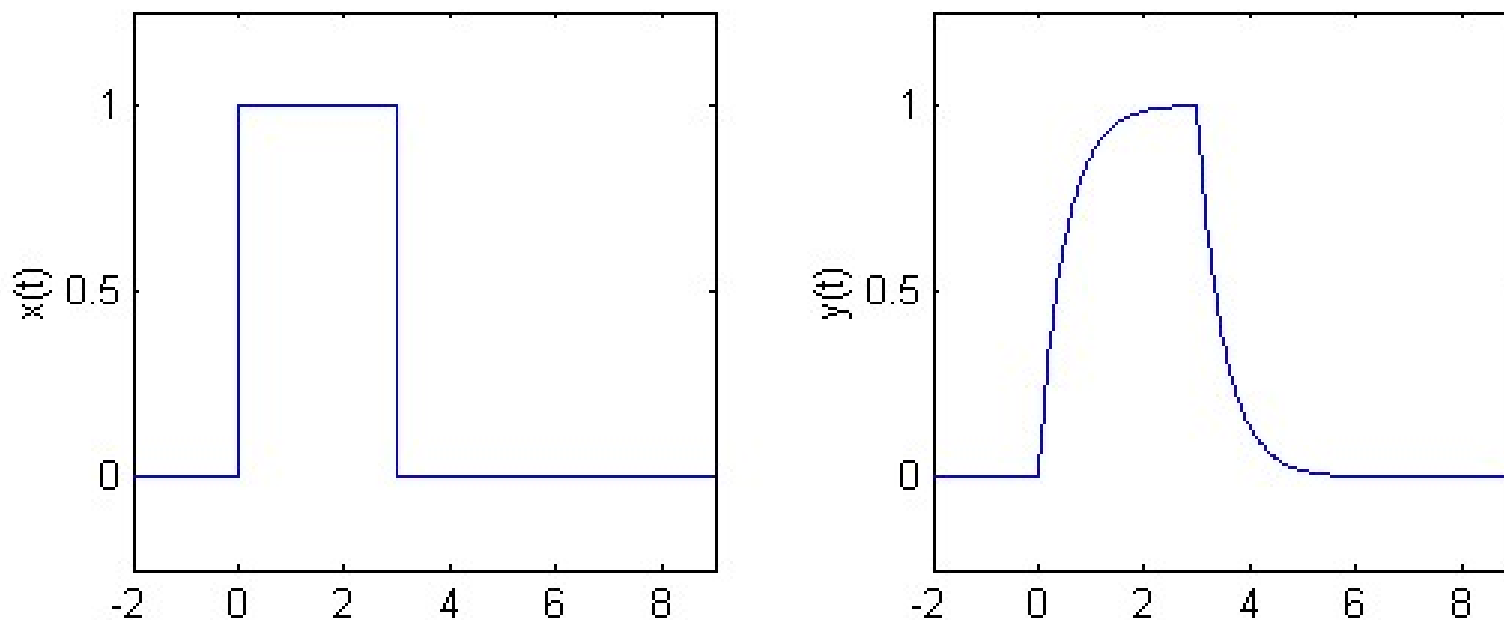
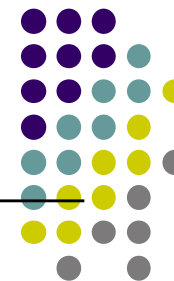
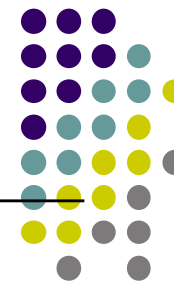


图3-27 RC低通网络对矩形脉冲的响应, $E=1.0$, $T=3.0$



3.6.6 信号的不失真传输



- 无失真传输：输出信号与输入信号相比，只是大小与相对时间轴的位置不同，而无波形上的变化。
- 无失真传输条件

$$y(t) = Kx(t - t_0)$$

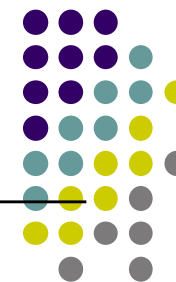
式中 K 为增益常数， t_0 为滞后时间。

傅里叶变换为：

$$Y(j\omega) = Ke^{-j\omega t_0} X(j\omega)$$



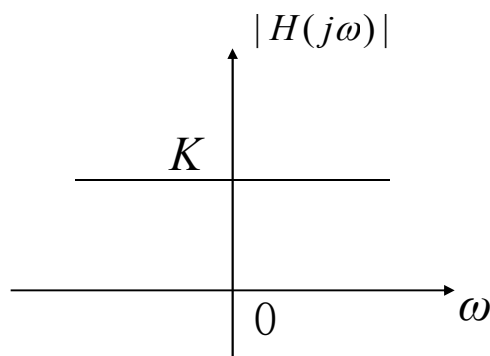
3.6.6 信号的不失真传输



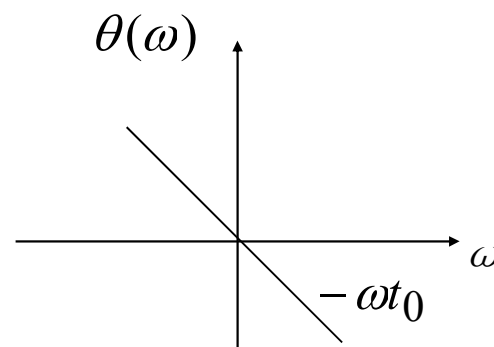
无失真系统的频率响应

$$H(j\omega) = \frac{Y(j\omega)}{X(j\omega)} = Ke^{-j\omega t_0} = |H(j\omega)| e^{j\theta(\omega)}$$

系统的幅频特性和相频特性分别为 $\begin{cases} |H(j\omega)| = K \\ \theta(\omega) = -\omega t_0 \end{cases}$



(a) 幅频特性



(b) 相频特性

图3-28 无失真传输系统的频率响应特性



例3.20

【例3.20】 电路如图所示，为得到无失真传输，元件参数 R_1 、 R_2 、 C_1 、 C_2 应满足什么关系。

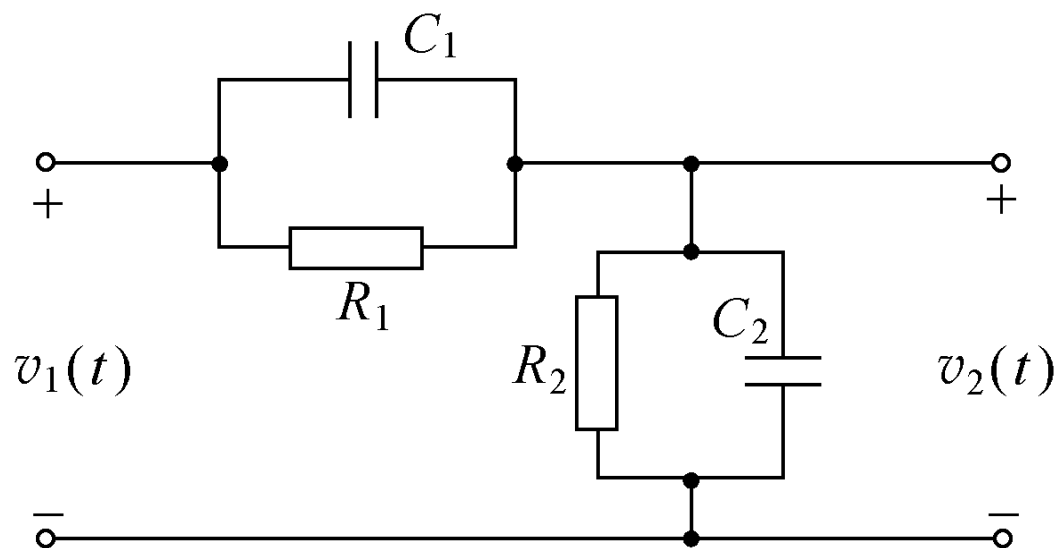


图3-29 无失真传输系统电路图（当 $R_1C_1=R_2C_2$ ）



例3.20

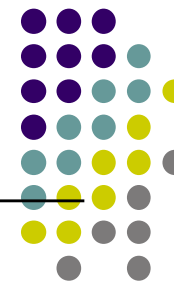
可以求出该电路的频率响应 $H(j\omega)$

$$H(j\omega) = \frac{V_2(j\omega)}{V_1(j\omega)} = \frac{Z_{12}(\omega)}{Z_{12}(\omega) + Z_{13}(\omega)} = \frac{\frac{R_2 \frac{1}{j\omega C_2}}{\frac{1}{j\omega C_2} + R_2}}{\frac{R_2 \frac{1}{j\omega C_2}}{\frac{1}{j\omega C_2} + R_2} + \frac{R_1 \frac{1}{j\omega C_1}}{\frac{1}{j\omega C_1} + R_1}}$$

$$\text{化简为 } H(j\omega) = \frac{C_1}{C_1 + C_2} \frac{j\omega + \frac{1}{R_1 C_1}}{j\omega + \frac{R_1 + R_2}{R_1 R_2 (C_1 + C_2)}}$$



例3.20



从上式可以看出，为使电路成为无失真传输系统，必须满足下列条件

$$\frac{1}{R_1 C_1} = \frac{R_1 + R_2}{R_1 R_2 (C_1 + C_2)}$$

化简可得 $R_1 C_1 = R_2 C_2$

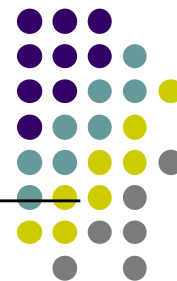
此时， $H(j\omega)$ 可重新写成

$$H(j\omega) = \frac{C_1}{C_1 + C_2} = \frac{R_2}{R_1 + R_2}$$

该 $H(j\omega)$ 为一常数，满足无失真的幅频特性和相频特性。



3.6.7 信号的滤波与理想滤波器



- 滤波：改变信号中各频率分量的大小。
- 滤波器：完成滤波功能的系统。
- 频率选择性滤波器：无失真地通过某些频率范围的信号，而衰减掉另一些频率范围内的信号。
- 理想滤波器：将滤波器的某些特性理想化而定义的滤波器系统。



3.6.7 信号的滤波与理想滤波器

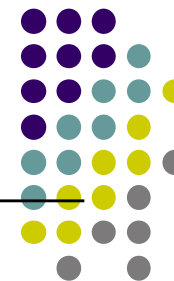


理想滤波器是指将滤波器的某些特性理想化而定义的滤波器系统。

最常用的是具有矩形幅度特性和线性相移特性的理想低通滤波器。



3.6.7 信号的滤波与理想滤波器



1. 理想低通的频域特性和冲激响应

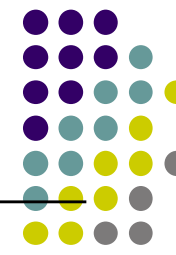
理想低通滤波器的频域特性可以表示为

$$H(j\omega) = \begin{cases} e^{-j\omega t_0}, & |\omega| < \omega_c \\ 0, & \text{其它} \end{cases}$$

对 $H(j\omega)$ 作傅里叶反变换, 可得低通滤波器的单位冲激响应:

$$h(t) = \frac{1}{2\pi} \int_{-\infty}^{\infty} H(j\omega) e^{j\omega t} d\omega = \frac{1}{2\pi} \int_{-\omega_c}^{\omega_c} e^{-j\omega t_0} e^{j\omega t} d\omega = \frac{\omega_c}{\pi} \frac{\sin[\omega_c(t-t_0)]}{\omega_c(t-t_0)}$$

注意到, 当 $t < 0$ 时, $h(t) \neq 0$, 因此理想低通滤波器是个非因果系统, 因而在时域上它是物理不可实现的。



3.6.7 信号的滤波与理想滤波器

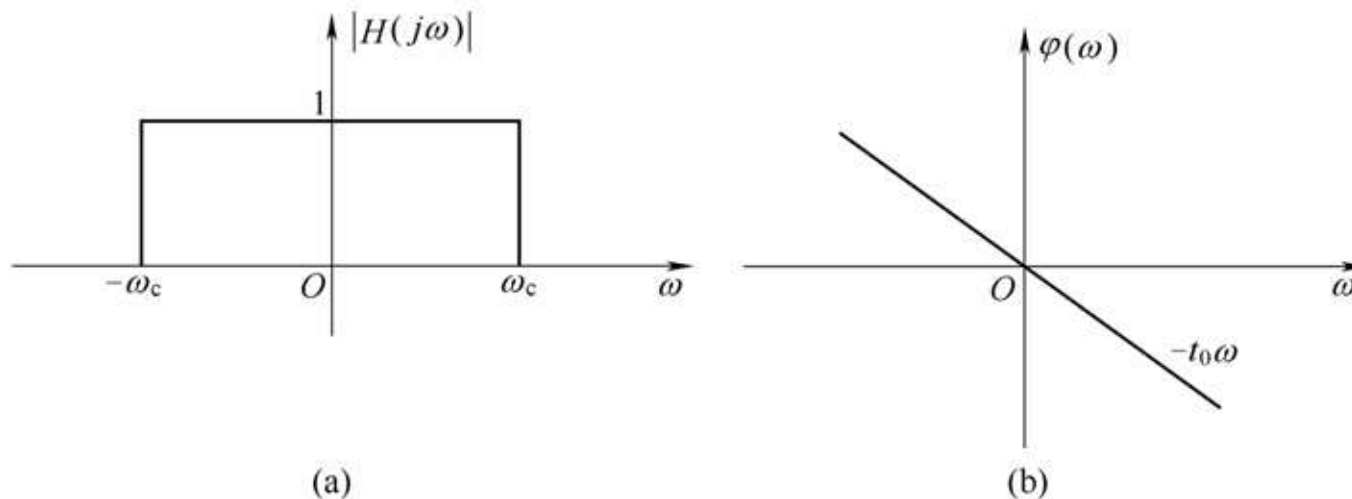


图 3-30 理想低通滤波器特性

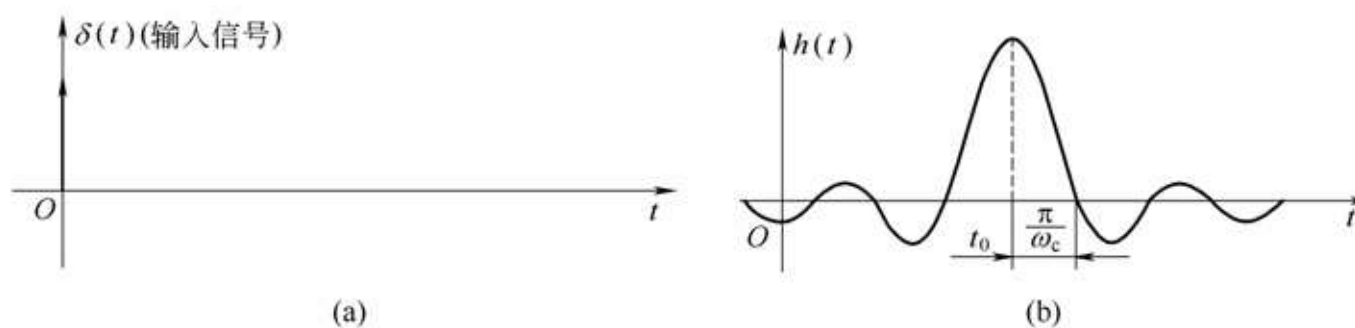


图 3-31 理想低通滤波器的冲激响应



3.6.7 信号的滤波与理想滤波器



2. 理想低通滤波器的阶跃响应



阶跃信号的傅里叶变换为

$$u(t) \xleftrightarrow{F} \frac{1}{j\omega} + \pi\delta(\omega)$$

于是

$$s(t) \xleftrightarrow{F} \begin{cases} (\frac{1}{j\omega} + \pi\delta(\omega))e^{-j\omega t_0}, & |\omega| < \omega_c \\ 0, & \text{其它} \end{cases}$$



3.6.7 信号的滤波与理想滤波器

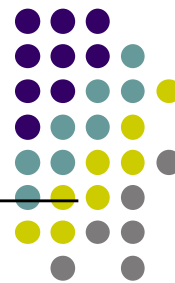


求上式的傅里叶反变换可得阶跃响应 $s(t)$

$$\begin{aligned} s(t) &= \frac{1}{2\pi} \int_{-\omega_c}^{\omega_c} \left[\frac{1}{j\omega} + \pi\delta(\omega) \right] e^{-j\omega t_0} \cdot d\omega \\ &= \frac{1}{2} + \frac{1}{2\pi} \int_{-\omega_c}^{\omega_c} \frac{e^{j\omega(t-t_0)}}{j\omega} \cdot d\omega \\ &= \frac{1}{2} + \frac{1}{2\pi} \int_{-\omega_c}^{\omega_c} \frac{\cos[\omega(t-t_0)]}{j\omega} + \frac{1}{2\pi} \int_{-\omega_c}^{\omega_c} \frac{\sin[\omega(t-t_0)]}{\omega} \cdot d\omega \\ &= \frac{1}{2} + \frac{1}{\pi} \int_0^{\omega_c} \frac{\sin[\omega(t-t_0)]}{\omega} \cdot d\omega \end{aligned}$$



3.6.7 信号的滤波与理想滤波器



上式作变量替换 $x = \omega(t - t_0)$, 于是有

$$s(t) = \frac{1}{2} + \frac{1}{\pi} \int_0^{\omega_c(t-t_0)} \frac{\sin x}{x} \cdot dx$$

对函数 $\frac{\sin x}{x}$ 的积分称为“正弦积分”。以符号 $Si(y)$ 表示。

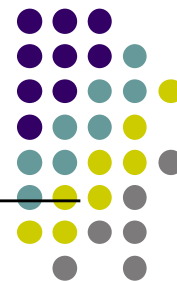
$$Si(y) = \int_0^y \frac{\sin x}{x} dx$$

阶跃响应可写成

$$s(t) = \frac{1}{2} + \frac{1}{\pi} Si[\omega_c(t - t_0)]$$



3.6.7 信号的滤波与理想滤波器



定义输出由最小值到最大值所需时间为上升时间 t_r ,
其值为

$$t_r = 2 \cdot \frac{\pi}{\omega_c} = \frac{1}{f_c}$$

阶跃响应的上升时间与系统的截止频率（带宽）成反比。该结论具有普遍意义，适用于各种实际滤波器。



3.6.7 信号的滤波与理想滤波器

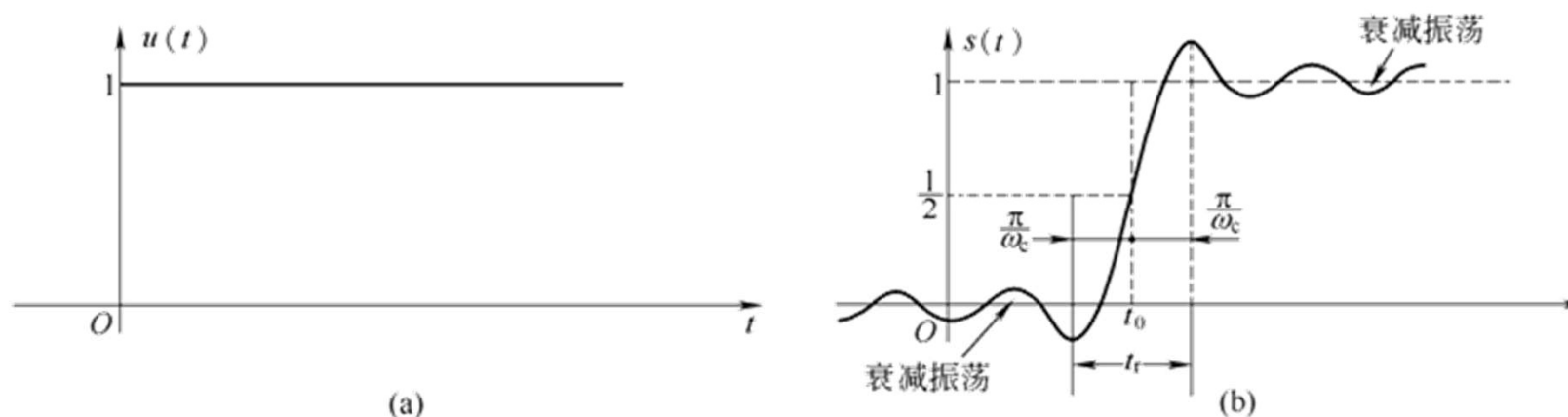
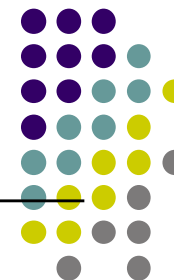


图 3-32 理想低通滤波器的阶跃响应



3.6.7 信号的滤波与理想滤波器



吉布斯现象:

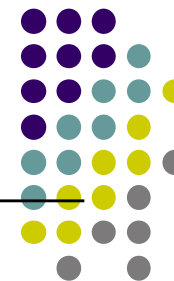
一个信号通过理想低通滤波器, 其实质是用信号的有限频率分量近似原信号:

$$y(t) = \frac{1}{2\pi} \int_{-\omega_c}^{\omega_c} X(j\omega) e^{-j\omega t_0} \cdot e^{j\omega t} \cdot d\omega$$

根据傅里叶变换的物理意义, 在 $u(t)$ 的断点处, 其输出必存在吉布斯现象。



3.6.7 信号的滤波与理想滤波器



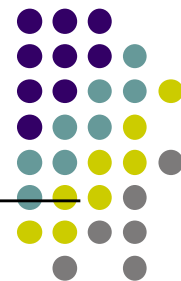
实际情况：

第一个峰值在 $t = t_0 + \frac{\pi}{\omega_c}$ 处，有 $s(t)|_{\max} = \frac{1}{2} + \frac{1}{\pi} Si(\pi)$

利用函数 $Si(\pi) = 1.8514$ ，可计算出该峰值（上冲）

$$s(t)|_{\max} = \frac{1}{2} + \frac{1.8514}{\pi} \doteq 1.0895$$

即，第一个峰值的上冲为跳变值的8.95%，近似为9%，该值与 ω_c 无关。



3.6.7 信号的滤波与理想滤波器

3. 理想低通对矩形脉冲的响应

矩形脉冲的表示式为 $x(t) = u(t) - u(t - \tau)$

理想低通对矩形脉冲 $y(t)$ 响应为

$$y(t) = \frac{1}{\pi} \{ \text{Si}[\omega_c(t - t_0)] - \text{Si}[\omega_c(t - t_0 - \tau)] \}$$

- $\frac{2\pi}{\omega_c} \ll \tau$ 时，脉冲的宽度远远大于系统的上升时间， $y(t)$ 波形接近矩形脉冲信号。
- τ 接近或小于 $\frac{2\pi}{\omega_c}$ ， $y(t)$ 波形将严重失真于矩形脉冲信号。



MATLAB: 理想低通对矩形脉冲的响应



```
% 程序 XHforRect: 产生用于计算傅立叶反变换的被积函数:  $y=(XH(w)/(2\pi))\cdot\exp(j\cdot w\cdot t)$ 
function y=XHforRect(w,t,T,W) % w 为频域变量,t 为信号时间变量, W 为理想低通滤波器截止频率
    % T 为对称方波的时宽
    XH=(abs(w)<=W).*(T*sinc(w*T/(2.0*pi))); %[-T/2,T/2]方波频谱与理想低通滤波器频率响应相乘:X*H
    %方波频谱为  $T\cdot\text{sinc}(w\cdot T/(2.0\pi))$ 
    y=(XH/(2.0*pi)).*exp(j*w*t);
```



MATLAB: 理想低通对矩形脉冲的响应

```
%程序 RectResponse: 计算理想低通对矩形脉冲的响应。  
W=2.*pi; %设置理想低通滤波器截止频率。  
T=1.*(2*pi/W); %设置信号时宽。  
w1=linspace(-1.5*W,1.5*W,512); %设置频域变量取值范围。  
H=0.5*((sign(w1+eps+W)+1.)-(sign(w1+eps-W)+1.)); %理想低通滤波器频率响应, 仅用于显示。  
t=linspace(-10*T/2,10*T/2,512); %设置时域变量取值范围。  
x=0.5*((sign(t+eps+T/2.0)+1.)-(sign(t+eps-T/2.0)+1.)); %[-T/2,T/2]矩形脉冲, 仅用于显示。  
N=length(t);y=zeros(1,N);  
for k=1:N  
    y(k)=quadl(@XHforRect,-W,W,[],[],t(k),T,W); % 计算傅立叶反变换。  
end  
subplot(3,1,1);plot(w1,H);xlabel('omega');ylabel('H(j\omega)'); axis([-1.5*W 1.5*W -0.1 1.1]);title('截止频率  
=2\pi');  
subplot(3,1,2);plot(t,x);ylabel('x(t)');axis([-5 5 -0.25 1.25]);title('T=1.0');  
subplot(3,1,3);plot(t,y);ylabel('y(t)');axis([-5 5 -0.25 1.25]);xlabel('t');
```



MATLAB: 理想低通对矩形脉冲的响应

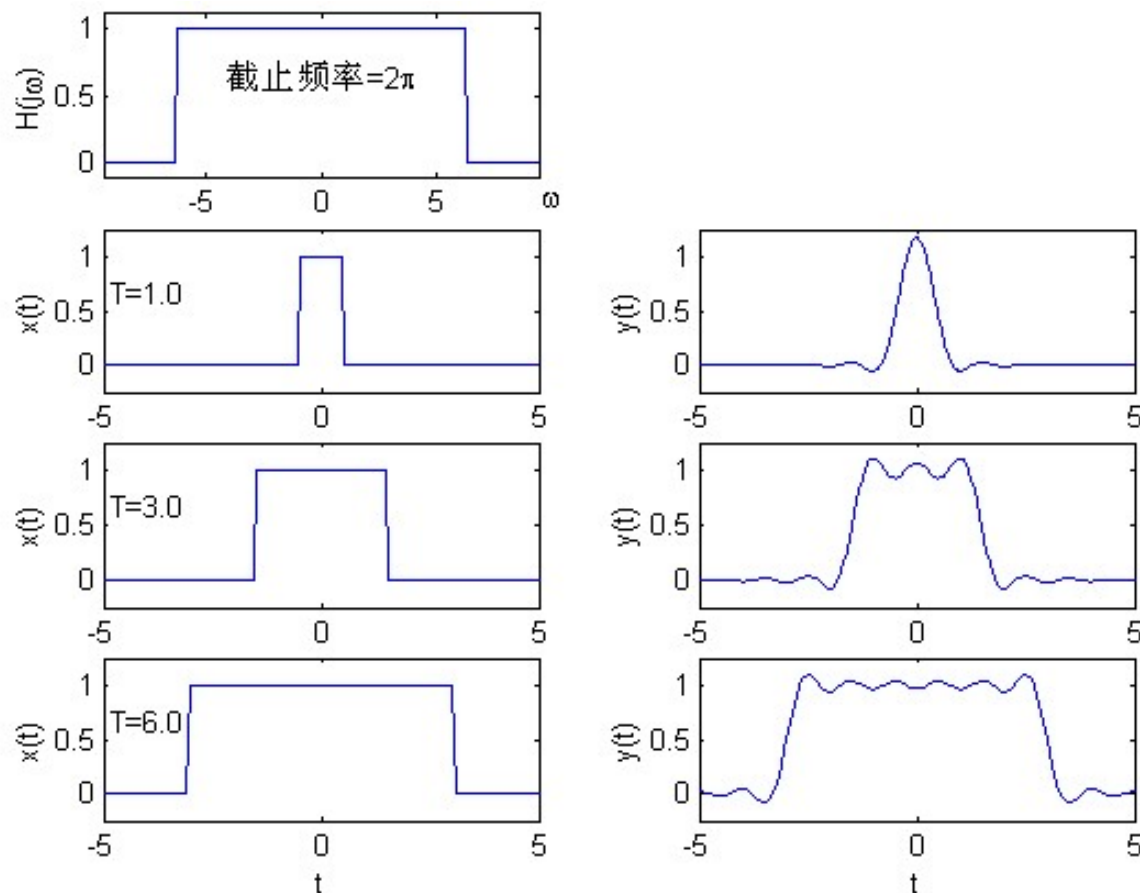
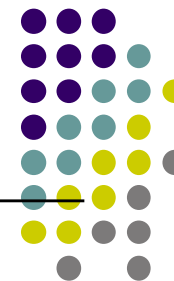
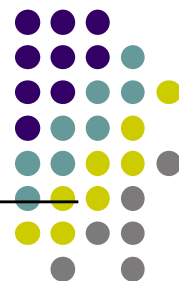


图3-33 理想低通对矩形脉冲的响应



MATLAB: RC低通网络对矩形脉冲的响应



% 程序 RCforRect: RC 低通网络对矩形脉冲的响应----产生用于计算傅立叶反变换的被积函数。

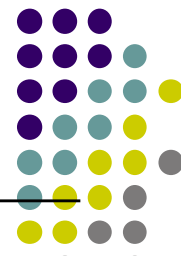
function y=RCforRect(w,t,T,RC) % t 为信号时间变量, w 为频域变量, RC 低通网络时间常数, T 为方
 %波宽。

H=1.0./(1+j*w*RC); %RC 低通网络频率响应---确定 LTI 系统的频率响应。

X=T*sinc(w*T/(2.0*pi)).*exp(-j*w*T/2); % [0,T] 方波频谱----确定输入信号的频谱。

XH=X.*H; % [0,T] 方波频谱与频率响应相乘: X*H---利用卷积定理计算输出
 %信号的频谱。

y=(XH/(2.0*pi)).*exp(j*w*t); %计算输出信号傅立叶反变换的被积函数



MATLAB: RC低通网络对矩形脉冲的响应

```
%程序 RectResponseofRC : RC 低通网络对矩形脉冲的响应
T=.2;                                %设置信号时宽。
RC=.5;                               %设置 RC 低通网络时间常数。
W=100.0/RC;                          %设置傅立叶反变换积分上下限。
t=linspace(-2,10,128);               %设置时域变量取值范围。
x=0.5*((sign(t+eps)+1.)-(sign(t+eps-T)+1.)); % [0,T]矩形脉冲, 仅用于显示。
N=length(t);y=zeros(1,N);
for k=1:N
    y(k)=quadl(@RCforRect,-W,W,[],[],t(k),T,RC); % 计算傅立叶反变换。
end
subplot(1,2,1);plot(t,x);ylabel('x(t)');axis([-2 10 -0.25 1.25]);xlabel('t');title('T=0.2');
subplot(1,2,2);plot(t,abs(y));ylabel('y(t)');axis([-2 10 -0.25 1.25]);xlabel('t');title('RC=0.5');
```



MATLAB: RC低通网络对矩形脉冲的响应

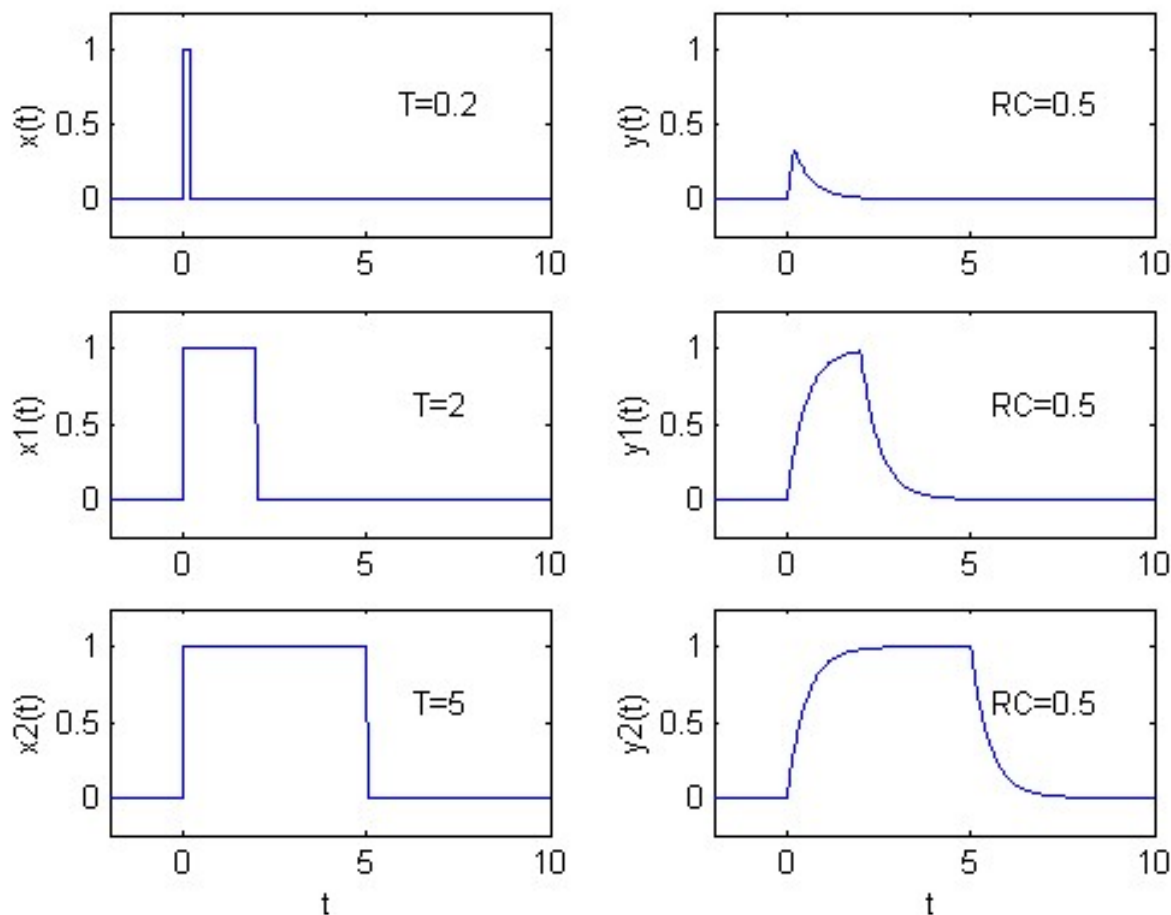


图3-35 RC低通网络对矩形脉冲的响应